

АЗЭРБАЙЧАН ССР ЕЛМЛЭР АКАДЕМИЈАСЫ  
АКАДЕМИЯ НАУК АЗЕРБАЙДЖАНСКОЙ ССР

---

# МЭРҮЗЭЛЭР ДОКЛАДЫ

ТОМ XXIV ЧИЛД

11

---

АЗЭРБАЙЧАН ССР ЕЛМЛЭР АКАДЕМИЈАСЫ НЭШРИЈЛТЫ  
ИЗДАТЕЛЬСТВО АКАДЕМИИ НАУК АЗЕРБАЙДЖАНСКОЙ ССР  
Бакы — 1968 — Баку

АЗЭРБАЙЧАН ССР ЕЛМЛЭР АКАДЕМИЈАСЫ  
АКАДЕМИЯ НАУК АЗЕРБАЙДЖАНСКОЙ ССР

# МЭ'РУЗЭЛЭР ДОКЛАДЫ

ТОМ XXIV ЧИЛД

№ 11

Ч 64 82 11

АЗЭРБАЙЧАН ССР ЕЛМЛЭР АКАДЕМИЈАСЫ НЭШРИЈАТЫ  
ИЗДАТЕЛЬСТВО АКАДЕМИИ НАУК АЗЕРБАЙДЖАНСКОЙ ССР  
БАКЫ—1968—БАКУ

Р. А. БАЙРАМОВ

## ОБ ЭНДОМОРФИЗМАХ НЕКОТОРЫХ АЛГЕБРАИЧЕСКИХ СИСТЕМ

(Представлено академиком АН Азербайджанской ССР З. И. Халиловым)

Пусть  $A = \langle A; F \rangle$  произвольная алгебра сигнатуры  $F = \{f_i^{n_i}; i \in I\}$ , где  $n_i = n(f_i)$  — местность (арность) операции  $f_i$ . Через  $\text{End}(A)$  обозначаем мультиплективную полугруппу всех эндоморфизмов алгебры  $A$ , через  $\Omega_A$  симметрическую полугруппу множества  $A$  (мультипликативную полугруппу всех отображений  $A$  в себя); очевидно,  $\text{End}(A) \leq \Omega_A$  (для подмножества  $X$  алгебры  $B$  запись  $X \leq B$  означает не только  $X \subseteq B$ , но и то, что  $X$  подалгебра в  $B$ ). Одним из направлений современной алгебры является изучение связей между свойствами алгебр и свойствами их полугрупп эндоморфизмов (или групп автоморфизмов). Следует различать следующие две основные задачи этого направления. Задача синтеза: построить (описать)  $\text{End}(A)$  для заданной алгебры  $A$ . Задача анализа: для данного множества  $A$  ( $|A| \geq 2$ ), данной подполугруппы  $M \leq \Omega_A$  определить класс  $\Phi$  всех сигнатур  $F$  таких, что существуют алгебры  $A = \langle A; F \rangle$  со свойством  $\text{End}(A) = M$  (а priori мы должны допустить возможность пустоты класса  $\Phi$ ); если  $\Phi$  непуст и  $F \in \Phi$ , то описать свойства (хотя бы формально выражимые) алгебр  $A = \langle A; F \rangle$ , для которых  $\text{End}(A) = M$ . Интересны следующие два частных случая задачи анализа:

- 1) какими должны быть  $A, F$ , чтобы  $\text{End}(A = \langle A; F \rangle) = \Omega_A$ ?
- 2) какими должны быть  $A, F$ , чтобы  $\text{End}(A) = E$  (через  $E$  обозначена единичная подполугруппа, состоящая лишь из тождественного эндоморфизма  $e$ )?

Первая частная задача анализа исчерпывающе решена в работе E. Marczewski (см. [1]).

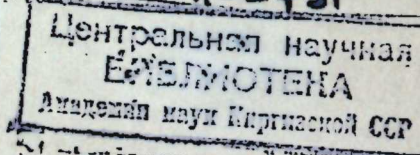
**Определение.** Операция  $f_i$  алгебры  $A = \langle A; F \rangle$  называется селекторной, если  $\exists j \in \{1, \dots, n_i\} \forall (x_1, \dots, x_{n_i}) \in A^{n_i} (f_i(x_1, \dots, x_{n_i}) = x_j)$  (см. [2]). Алгебра  $A$  называется селекторной, если  $F$  содержит лишь селекторные операции.

**Замечание.** Любая в узком смысле производная операция селекторной алгебры  $A = \langle A; F \rangle$  (то есть операция, являющаяся результатом суперпозиции некоторых  $f_i \in F$  и свободных переменных) сама

РЕДАКЦИОННАЯ КОЛЛЕГИЯ: Р. Г. Исмайлов (главный редактор), Ш. А. Азизбеков, В. Р. Волобуев, Д. М. Гусейнов, И. А. Гусейнов, М. А. Дадашзаде (зам. главного редактора), М. А. Далин, Ч. М. Джуварлы, А. И. Каравеев, М. А. Кацкай (зам. главного редактора), С. М. Кулиев, М. Ф. Нагиев, М. А. Топчибашев, З. И. Халилов, Г. Г. Зейналов (ответственный секретарь).

Адрес: г. Баку, Коммунистическая, 10. Редакция «Докладов Академии наук Азербайджанской ССР».

n 52734



селекторна. В широком смысле производная операция селекторной алгебры  $A = \langle A; F \rangle$  (то есть результат суперпозиции, в которой допускается кроме того подстановка констант из  $A$  на месте аргументов) может уже не быть селекторной.

**Теорема (E. Marczewski).** Если  $A$  селекторная алгебра, то  $\text{End}(A) = \Omega_A$ . Если для некоторой алгебры  $A = \langle A; F \rangle$  имеет место  $\text{End}(A) = \Omega_A$ , то либо  $A$  селекторна, либо  $(|A| = 2) \wedge (\exists f_i \in F ((n_i \geq 3) \wedge (f_i(x, \dots, x) = x) \wedge (f_i(\bar{x}_1, \dots, \bar{x}_{n_i}) = \bar{f}_i(x_1, \dots, x_{n_i}))))$ .

Примером неселекторной алгебры со свойством  $\text{End}(A) = \Omega_A$  может служить  $\langle \{0, 1\}; f(x, y, z) \rangle$ , где  $f(x, x, x) = x$ ,  $f(\bar{x}, \bar{y}, \bar{z}) = \bar{f}(x, y, z)$  и хотя бы два из значений  $f(0, 0, 1)$ ,  $f(0, 1, 0)$ ,  $f(1, 0, 0)$  равны 1.

Абстрактный класс  $K$  назовем селекторным, если все алгебры из  $K$  селекторны. Для аксиоматизируемого класса  $K$  интересен вопрос, обеспечивают ли его аксиомы эквивалентность истинности формулы  $\forall A \in K (\text{End}(A) = \Omega_A)$  и селекторности  $\wedge$ .

Операцию  $f_i$  алгебры  $A = \langle A; F \rangle$  назовем квазиселекторной, если  $\forall (x_1, \dots, x_{n_i}) \in A^{n_i} (f_i(x_1, \dots, x_{n_i}) \in (x_1, \dots, x_{n_i}))$ ; здесь запись  $y \in (x_1, \dots, x_t)$  эквивалентна  $\bigvee_{i=1}^t (y = x_i)$ . Алгебру назовем квазиселекторной, если

все ее сигнатурыные операции квазиселекторны. Очевидно, если  $\text{End}(A) = \Omega_A$ , то  $A$  квазиселекторна (лемма Марчевского).

**Теорема 1.** Многообразие (примитивный класс (см. [3]) алгебр  $M$  селекторно тогда и только тогда, когда  $\forall A \in M (\text{End}(A) = \Omega_A)$ .

**Доказательство.** Необходимость следует из первой части теоремы Марчевского. Докажем теперь достаточность. Пусть  $A_{n_i}$  свободная в  $M$  алгебра со свободными образующими  $y_1, \dots, y_{n_i}$ . В силу леммы Марчевского  $A_{n_i}^{n_i}$  квазиселекторна; в частности, для

операции  $f_i$  имеем  $\bigvee_{k_i=1}^{n_i} (f_i(y_1, \dots, y_{n_i}) = y_{k_i})$  и пусть для конкретности  $f_i(y_1, \dots, y_{n_i}) = y_{k_i}$ . Так как  $A_{n_i}$  свободна в  $M$  и  $y_1, \dots, y_{n_i}$  ее свободные образующие, то соотношение  $f_i(x_1, \dots, x_{n_i}) = x_{k_i}$  является тождеством в  $M$ . Точно также, сопоставляя каждой операции  $f_j$  из сигнатуры многообразия  $M$  свободную в  $M$  алгебру  $A_{n_j}^{n_j}$  с  $n_j$  свободными образующими, получаем селекторность всех сигнатурных операций.

Теорема доказана.

Для бинарных алгебр (алгебр, сигнатуры которых не содержат операций арности  $\geq 3$ ) можно доказать следующее дополнение к теореме, Марчевского. Подполугруппа  $M \leq \Omega_A$  называется  $t$ -кратно транзитивной если для любого  $(a_1, \dots, a_t) \in A^t$  такого, что  $\forall i \neq j \in \{1, \dots, t\} (a_i \neq a_j)$  и любого  $(b_1, \dots, b_t) \in A^t$  в  $M$  существует отображение  $\tau$  такое, что  $\forall i \in \{1, \dots, t\} (\tau(a_i) = b_i)$ .

Введем также обозначение  $\Omega_{A,t} = \{\tau: \tau \in \Omega_A, |\tau(A)| \leq t\}$ .

**Теорема 2.** Для того, чтобы бинарная алгебра  $A$  удовлетворяла условию  $\text{End}(A) = \Omega_A$ , достаточно выполнения включения  $\text{End}(A) \supseteq M \cap \Omega_{A,2}$ , где  $M$  любая 2-кратно транзитивная подполугруппа в  $\Omega_A$ .

**Замечание.** Достаточным условием квазиселекторности алгебры  $A$  (не только бинарной, но и произвольной) является выполнение

включения  $\text{End}(A) \supseteq H \cap \Omega_{A,N(A)}$ , где  $H$  любая 1-кратно транзитивная подполугруппа в  $\Omega_A$  и  $N(A) = \max_{f_i \in F} n_i$ . Однако выполнения этого включения, вообще говоря, недостаточно для селекторности  $A$ .

Перейдем теперь ко второй частной задаче анализа. Обозначим через  $\sigma_A^\circ$  совокупность всех подстановок из симметрической группы  $\sigma_A$ , не имеющих неподвижных точек.

**Определение.** Назовем операцию  $f_i$  алгебры  $A = \langle A; F \rangle$   $\sigma_A^\circ$ -неидемпотентной, если  $f_i(x, \dots, x) = \varphi_i(x) \in \sigma_A^\circ$  и назовем ее квазиконстантной, если  $n_i \geq 2$  и  $f_i(x_1, \dots, x_{n_i}) = f_i(y_1, \dots, y_{n_i})$  для любых кортежей  $(x_1, \dots, x_{n_i}), (y_1, \dots, y_{n_i}) \in A^{n_i}$  таких, что  $\exists k, l, m, s \in \{1, \dots, n_i\} ((x_k \neq x_l) \wedge (y_m \neq y_s))$ .

**Теорема 3.** Если сигнатура алгебры  $A = \langle A; F \rangle$  содержит хотя бы одну  $\sigma_A^\circ$ -неидемпотентную квазиконстантную операцию, то  $\text{End}(A) = E$ .

**Доказательство.** Пусть  $f(x_1, \dots, x_n) \in F$  удовлетворяет условию теоремы и  $\varphi(x) = f(x, \dots, x)$ . Неэндоморфность степеней  $\varphi(x)$  следует из квазиконстантности  $f(x_1, \dots, x_n)$ , а отображений из  $\Omega_A$ , не являющихся степенями  $\varphi(x)$  — из  $\sigma_A^\circ$ -неидемпотентности ее.

**Следствие.** Для любой сигнатуры  $F$ , содержащей хотя бы одну операцию арности  $\geq 2$ , и любого кардинального числа  $a \geq 2$  существует алгебра  $A = \langle A; F \rangle$  мощности  $|A| = a$  со свойством  $\text{End}(A) = E$ .

Если  $|A| = 1$ , то  $\text{End}(A) = E$  выполняется автоматически; таким образом мы обнаруживаем, что спектр мощностей класса всех алгебр сигнатуры, содержащей хотя бы одну операцию арности  $\geq 2$ , совпадает со спектром мощностей его подкласса, выделяемого ограничением  $\text{End}(A) = E$ .

Всякую алгебру можно рассматривать как алгебраическую систему, заменяя часть операций (возможно, все) соответствующими предикатами (см. [4]), однако произвольную алгебраическую систему, вообще говоря, можно рассматривать лишь иногда как частичную алгебру (множество с частично определенными операциями). Вводя естественным образом понятия эндоморфизма частичной алгебры,  $\sigma_A$  — неидемпотентности и квазиконстантности частичной операции, убеждаемся в справедливости аналога теоремы 3 для частичных алгебр. Предикат, соответствующий  $\sigma_A^\circ$  — неидемпотентной квазиконстантной частичной операции, назовем строго недиагональным слаживающим предикатом. Совершая обратную замену частичных операций на предикаты (там, где имела место прямая замена), получаем следующее утверждение.

**Теорема 4.** Если сигнатура алгебраической системы  $I = \langle A; F, P \rangle$  содержит хотя бы одну  $\sigma_A^\circ$ -неидемпотентную квазиконстантную операцию или хотя бы один строго недиагональный слаживающий предикат, то  $\text{End}(A) = E$ .

**Следствие.** Для любой сигнатуры  $(F, P)$ , содержащей хотя бы одну операцию арности  $\geq 2$ , или хотя бы один предикат арности  $\geq 3$ , и любого кардинального числа  $a$  существует алгебраическая система  $A = \langle A; F, P \rangle$  мощности  $|A| = a$  со свойством  $\text{End}(A) = E$ .

В работе [5] приводится достаточное условие для более слабого свойства „алгебра не имеет нетождественных автоморфизмов“. В заключение рассмотрим эндоморфизмы некоторых конкретных алгебр:

Через  $G$  обозначим класс всех группоидов, через  $SG^*$  — класс всех полугрупп с кручением (полугрупп, имеющих элементы конечного порядка).

**Теорема 5.**  $\forall M \in SG^*((|M| > 1) \rightarrow (\text{End}(M) = E))$ .

**Следствие 1.** В классе  $G$  свойство  $\text{End}(M) = E$  может иметь место лишь в  $(G \setminus SG^*)USG^\circ$ , где  $SG^\circ$  класс всех 1-элементных полугрупп.

**Следствие 2.** В полугруппе  $\Omega_k$  нет подполугрупп со свойством  $(|M| > 1) \wedge (\text{End}(M) = E)$ .

Можно показать, что в  $\Omega_A$  имеется  $\mu(A)$  подполугрупп со свойством  $\text{End}(M) = \Omega_M$ , где  $2^{|\Lambda|} < \mu(A) < 2^{|\Lambda|+1}$ .

Эндоморфизм  $\tau$  полугруппы  $\Omega_A$  назовем внутренне-индукцированным, если  $\exists \varphi_0 \in \Omega_A ((\forall \psi \in \Omega_A (\tau(\psi) = \psi \cdot \varphi_0)) \vee (\forall \psi \in \Omega_A (\tau(\psi) = \varphi_0 \cdot \psi)))$  и назовем его внутренне-термальным, если  $\exists \varphi_0^1, \dots, \varphi_0^m \in \Omega_A (\bigcup_{i=1}^m (\forall \psi \in \Omega_A (\tau(\psi) = \varphi_0^1 \dots \varphi_0^{i-1} \psi \varphi_0^{i+1} \dots \varphi_0^m)))$ , где  $m \geq 2$ . Известно (см. [6]), что все автоморфизмы  $\Omega_A$  внутренне-термальны.

**Теорема 6.** Единственным внутренне-индукцированным эндоморфизмом полугруппы  $\Omega_A$  является  $\epsilon$ .

Пусть  $P_A = \langle P_A, \eta, \tau, \Delta, \nabla, * \rangle$  алгебра Поста на множестве  $A$ ; очевидно, рассматривая  $\varphi(x_i), \varphi(x_j) \in P_A^{(1)}$  как одну и ту же функцию  $\varphi(x)$ , мы превращаем  $P_A^{(1)}$  в  $\Omega_A$  (здесь мы придерживаемся терминологии и обозначений из [7]). Эндоморфизм  $\tau$  полугруппы  $\Omega_A$  назовем внешне-индукцированным, если  $\exists f_0 \in P_A \setminus P_A^{(1)} \forall \psi \in \Omega_A (\tau(\psi(x)) = f_0(\psi(x), \dots, \psi(x)))$ , и назовем его внешне-термальным, если  $\exists f_0^1, \dots, f_0^m \in P_A \setminus P_A^{(1)} \forall \psi \in \Omega_A (\tau(\psi(x)) = T(\psi; f_0^1, \dots, f_0^m; x, \dots, x))$ , где  $T(\psi; f_0^1, \dots, f_0^m; x_1, \dots, x_n)$  некоторый терм.

**Теорема 7.** Все эндоморфизмы полугруппы  $\Omega_k$  ( $k$  — натуральное число) внешне-термальны. При любом  $A \Omega_A$  имеет  $\geq |A|$  внешне-индукцированных эндоморфизмов, отличных от  $\epsilon$ .

**Замечание.** Переносить первую часть теоремы 7 на случай  $|A| \geq \omega$ , мы не умеем, так как в нашем доказательстве существенно используется конечная порождаемость  $P_k$ , тогда как  $P_A$  при  $|A| \geq \omega$  не является конечно порождаемой.

Напомним, что  $\alpha \in \Omega_A$  называется продолжением для  $\beta \in \Omega_B$  (где  $B \subset A$ ), если  $\forall x \in B (\alpha(x) = \beta(x))$ .

**Теорема 8.** Всякий автоморфизм алгебры  $P_k$  является продолжением некоторого автоморфизма полугруппы  $\Omega_k$ .

Доказательство следует из трех утверждений:

- все автоморфизмы  $P_k$  являются внутренними (см. [2]);
- отношение „ $f, g \in P_k$  имеют одинаковую арность“, является конгруэнцией алгебры  $P_k$  (см. [2]);
- $\forall i > 2 (P_k^i \setminus P_k^{(1)} \neq |P_k^{(1)}|)$ .

**Замечание.** Хотя утверждения а), б) справедливы для  $P_A$  при  $|A| \geq \omega$ , переносить теорему 8 на случай  $|A| \geq \omega$  мы не умеем, так как при  $|A| \geq \omega$  может нарушаться утверждение в).

Автор пользуется возможностью выразить благодарность Б. М. Шайну за обсуждение результатов и ряд полезных замечаний. Им было сообщено автору, что теоремы 3, 4 настоящей статьи усиливают работу [8].

## ЛИТЕРАТУРА

1. Marczewski E. Homogeneous operations and homogeneous algebras. Fund. Math., 1964, vol. LVI, № 1. 2. Мальцев А. И. Итеративные алгебры и многообразия Поста. Алгебра и логика. Семинар, 5, вып. 2, 1966. 3. Курош А. Г. Лекции по общей алгебре. Физматгиз, 1962. 4. Плоткин Б. И. Группы автоморфизмов алгебраических систем. Наука, 1966. 5. Foster L. A., Pixley A. Semi-categorical algebras I. Semiprime algebras. Math. Zeit., 1964, 83, 2 Heft. 6. Мальцев А. И. Симметрические группоиды. Мат. сб., 31(73), 1952, 136–151. 7. Байрамов Р. А. К вопросу о функциональной полноте в многозначной логике. Дискретный анализ, вып. 11. Новосибирск, 1967. 8. Voronka P., Pultr A., Hedrlin Z. A rigid relation exists on any set, Comment. math. Univ. Carolinae, 1965, 6, № 2, 149–155.

Поступило 20. III 1968

Институт кибернетики

Р. А. Бајрамов

Мүәјжән чәбри системләрин ендоморфизмләри тағызыда

## ХҮЛАСӘ

Мәгаләдә мүәјжән чәбри системләрин ендоморфизмләри чохлугларының хассәләриндән бәһс едилмишdir.

Тәдгигатын иәтичәләри 8 теорем шәклиндә ifадә олунур.

ТЕХНИКА

И. П. КУЛИЕВ, В. Г. САРКИСОВ

К ВОПРОСУ РАСЧЕТА ВОДООТДЕЛЯЮЩЕЙ КОЛОННЫ

(Представлено академиком АН Азербайджанской ССР З. И. Халиловым)

Водоотделяющая колонна применяется при бурении скважин со специальных судов, оснащенных буровым оборудованием. Колонна, закрепленная на судне, связывает его с устьем скважины, расположенным на дне акватории, выполняя на этом участке некоторые функции обсадной колонны: служит направлением при спуске бурильной колонны, обеспечивает циркуляцию глинистого раствора и т. д. Кроме того, водоотделяющая колонна изолирует скважину от воды и предохраняет бурильную колонну от непосредственного воздействия на нее давления от ветровых волн и морского течения.

На водоотделяющей колонне устанавливаются компенсатор вертикальных перемещений, предохраняющий колонну от дополнительных растягивающих усилий, вызванных изменением ее длины, и несколько промежуточных поплавков, частично компенсирующих вес колонны. Количество промежуточных поплавков определяется глубиной акватории.

Расчетная схема водоотделяющей колонны приведена на рисунке. Верхняя опора колонны смещена относительно нижней на величину  $\Delta_0$ , равную величине максимально возможного смещения судна от оси скважины под воздействием внешних сил. В случае, если колонна жестко связана с судном, ее верхнее концевое сечение может быть повернуто на угол  $\pm\theta_0$ , равный углу крена судна. Расчет производится для наиболее тяжелых гидрометеорологических условий, когда бурильная колонна поднята на борт судна.

На водоотделяющую колонну и установленные на ней промежуточные поплавки действуют следующие основные нагрузки, вызывающие ее растяжение и изгиб.

а. Распределенное давление на колонну от ветровых волн. Давление задано степенным рядом  $q_v = \sum_{k=0}^n a_k z^k$ .

б. Распределенное давление на колонну от морского течения. Давление задано степенным рядом  $q_t = \sum_{k=0}^n b_k z^k$ .

в. Собственный вес колонны  $q$ .

Изгибающие моменты от указанных выше нагрузок в сечении  $z$  водоотделяющей колонны определяются уравнениями:

$$M_v = \sum_{k=0}^n \frac{a_k}{(k+1)(k+2)} z^{k+2}, \quad M_t = \sum_{k=0}^n \frac{b_k}{(k+1)(k+2)} z^{k+2};$$

$$M_q = \int_0^z q(\eta - x) d\xi. \quad (1)$$

г. Равнодействующие волнового давления и давления от морского течения на промежуточные поплавки. Равнодействующие  $N_1; N_2 \dots N_j \dots N_m$  определяются как разность между нагрузкой на поплавок и на прикрываемый им участок колонны.

д. Силы избыточной плавучести поплавков  $-T_1; T_2, \dots, T_j \dots T_m$ .

Смещение судна от оси скважины и его качка вызывают дополнительный изгиб колонны. Кроме указанных выше активных нагрузок, на колонну действуют еще соответствующие опорные реакции.

Суммарные уравнения изгибающих моментов составляются для каждого из  $m+1$  участков колонны, на которые делят ее  $m$  промежуточных поплавков. Однако эти уравнения однотипны и вводя обозначения  $M'_j; N'_j; T'_j$ , получаем общее уравнение изгибающих моментов для  $j$  участка колонны.

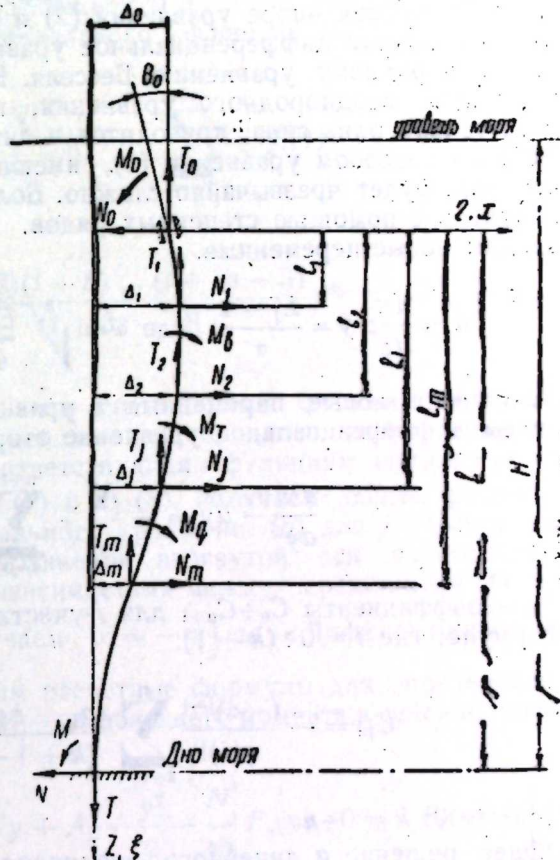
$$M_j = -M'_j - N'_j z + T'_j x + \sum_{k=0}^n \frac{a_k + b_k}{(k+1)(k+2)} z^{k+2} + \int_0^z q(\eta - x) d\xi \quad (2)$$

где

$$M'_j = M_0 + T_0 \Delta_0 + T_1 \Delta_1 + \dots + T_{j-1} \Delta_{j-1} + N_1 l_1 + \dots + N_{j-1} l_{j-1}$$

$$N'_j = N_0 - N_1 - \dots - N_{j-1}; \quad T'_j = T_0 + T_1 + \dots + T_{j-1}.$$

Продифференцировав уравнение (?), чтобы избавиться от знака интеграла, получаем общее расчетное дифференциальное уравнение третьего порядка для  $j$  участка колонны, где  $j = 1 \div (m+1)$ .



Расчетная схема водоотделяющей колонны.

$$EJ \frac{d^3x}{dz^3} - (T_j - qz) \frac{dx}{dz} = -N'_j + \sum_{k=0}^n \frac{a_k + b_k}{k+1} \cdot z^{k+1} \quad (3)$$

$EJ$ —жесткость водоотделяющей колонны.

Хотя исходное уравнение (2) составлено для случая жесткого крепления колонны к судну, полученное после дифференцирования расчетное дифференциальное уравнение (3) не зависит от опорного момента  $M_0$ . Следовательно, оно справедливо как при жестком, так и при шарнирном креплении колонны к судну. От условий закрепления колонны на нижней опоре уравнения (2) и (3) не зависят.

Преобразовывая дифференциальное уравнение (3), можно привести его к неоднородному уравнению Бесселя. Весьма сложное решение аналогичного неоднородного уравнения, в правой части которого имеется только одна сила, приводится в литературе [4]. Однако решение этим способом уравнения (3), имеющего в правой части степенной ряд, будет чрезвычайно сложно. Более простое решение можно получить с помощью степенных рядов.

Вводим новые переменные.

$$u = \frac{dx}{dz}; \quad y = \frac{L_j - z}{\alpha}; \quad \text{где } \alpha = \sqrt[3]{\frac{EJ}{q}}; \quad L_j = \frac{T_j}{q}. \quad (4)$$

Подставляя новые переменные в уравнение (3) и упрощая его, получаем дифференциальное уравнение второго порядка.

$$\frac{d^2u}{dy^2} - uy = -\frac{N'_j}{\alpha q} + \sum_{i=0}^{n+1} C_{j;i} y^i \quad (5)$$

$C_{j;i}$ —коэффициенты  $C_0 \div C_{n+1}$  для  $j$ -участка колонны определяются по формуле; где  $i = 0 \div (n+1)$ .

$$C_{j;i} = -\frac{(-\alpha)^{i-1}}{q(i)!} \sum_{k=i-1}^n \frac{(a_k + b_k)(k)!}{(k+1-i)!} L_j^{k+1-i} \quad (6)$$

При  $i = 0; k = 0 \div n$ .

Общее решение  $u$  линейного неоднородного дифференциального уравнения (5) равно сумме общего решения  $U$  соответствующего однородного уравнения и какого-либо частного решения  $u_0$  неоднородного уравнения. Общее решение  $U$  однородного дифференциального уравнения  $\frac{d^2u}{dy^2} - uy = 0$  приводится в литературе [2]

$$U = A_{j;1}[1 + f_1(y)] + A_{j;2}[y + f_2(y)] \quad (7)$$

где:

$$f_1(y) = \sum_{s=1}^{\infty} \frac{1 \cdot 4 \cdot 7 \cdots (3s-2)}{(3s)!} y^{3s}; \quad f_2(y) = \sum_{s=1}^{\infty} \frac{2 \cdot 5 \cdot 8 \cdots (3s-1)}{(3s+1)!} y^{3s+1}$$

$A_{j;1}, A_{j;2}$ —постоянные интегрирования для  $j$  участка колонны.

Частное решение  $u_0$  неоднородного дифференциального уравнения находится с помощью степенного ряда  $u_0 = \sum_{i=0}^{\infty} b_i y^i$ . Подставив значение  $u_0$  и  $\frac{d^2u_0}{dy^2}$  в дифференциальное уравнение (5) и приравняв нулю

суммы коэффициентов при одинаковых степенях  $y$ , получаем систему уравнений для определения коэффициентов  $b_i$ . Решив эту систему уравнений и определив коэффициенты  $b_i$ , после упрощений, получаем частное решение дифференциального уравнения (5).

$$u_0 = -\frac{N'_j}{\alpha q} f_0(y) + \sum_{i=0}^{n+1} C_{j;i} f_i(y) \quad (8)$$

где:

$$f_i(y) = (i)! y^i \sum_{s=1}^{\infty} \frac{1 \cdot (i+3)(i+6) \cdots (i+3s-3)}{(i+3s-1)!} y^{3s-1}; \quad s=1, 2, 3 \dots$$

Необходимо отметить, что специальные функции  $f_1(y)$  и  $f_2(y)$  используемые в общем решении однородного дифференциального уравнения, аналогичны соответствующим функциям частного решения.

Суммируя значения  $U$  (7) и  $u_0$  (8), получаем общее решение неоднородного дифференциального уравнения (5) для  $j$  участка колонны. Для нахождения уравнения изогнутой оси водоотделяющей колонны воспользуемся зависимостями между переменными (4), преобразовывая которые, получаем  $x = -\alpha \int u dy$ . Дифференцируя полученнное уравнение, находим расчетные формулы для определения:  $\theta$ —угла поворота колонны и  $M_j$ —изгибающего момента в сечении колонны.

$$x = -\alpha \left[ A_{j;0} + A_{j;1} \cdot y + A_{j;2} \cdot \frac{y^2}{2} - \frac{N'_j}{\alpha q} F_0(y) + A_{j;1} \cdot F_1(y) + A_{j;2} \cdot F_2(y) + \sum_{i=0}^{n+1} C_{j;i} F_i(y) \right] \quad (9)$$

$$\theta = A_{j;1} + A_{j;2} \cdot y - \frac{N'_j}{\alpha q_1} F'_0(y) + A_{j;1} \cdot F'_1(y) + A_{j;2} \cdot F'_2(y) + \sum_{i=0}^{n+1} C_{j;i} \cdot F'_i(y)$$

$$M = -\frac{FJ}{\alpha} \left[ A_{j;2} - \frac{N'_j}{\alpha q} F'_0(y) + A_{j;1} \cdot F'_1(y) + A_{j;2} \cdot F'_2(y) + \sum_{i=0}^{n+1} C_{j;i} \cdot F'_i(y) \right]$$

$A_{j;0}; A_{j;1}; A_{j;2}$ —постоянные интегрирования для  $j$  участка колонны. Функция  $F_1(y)$  и ее производные определяются по формулам:

$$\left. \begin{aligned} F_1(y) &= (i)!y^i \sum_{s=1}^{\infty} \frac{1 \cdot (i+3)(i+6) \dots (i+3s-3)}{(i+3s)!} y^{3s} \\ F'_1(y) &= (i)!y^i \sum_{s=1}^{\infty} \frac{1 \cdot (i+3)(i+6) \dots (i+3s-3)}{(i+3s-1)!} y^{3s-1} \\ F''_1(y) &= (i)!y^i \sum_{s=1}^{\infty} \frac{1 \cdot (i+3)(i+6) \dots (i+3s-3)}{(i+3s-2)!} y^{3s-2} \end{aligned} \right\} (10)$$

Степенные ряды (10) сходящиеся. Для нахождения значений функции  $F_1(y)$  и ее производных с точностью до  $(0,5 \div 1,0)\%$  достаточно учесть 2–3 первых члена ряда.

При расчете водоотделяющей колонны, имеющей  $m$  промежуточных поплавков, составляются дифференциальные уравнения для  $m+1$  участка изогнутой оси колонны. При интегрировании этих уравнений получаем  $3(m+1)$  неизвестных постоянных интегрирования—величины  $A_{j;0}; A_{j;1}; A_{j;2}$ . Еще одно неизвестное, опорная реакция  $N_0$ , входит в выражение для  $N'_j$  (2). Для определения указанных неизвестных необходимо составить и решить систему  $3m+4$  уравнений.

Для сечений колонны, расположенных на стыке между двумя смежными участками, величины прогибов, углов поворота и изгибающих моментов могут быть определены из уравнений обоих примыкающих к сечению участков. Следовательно, определив величины  $\Delta_j; \theta_j; M_j$  из уравнений  $j$ -участка и величины  $\Delta_{j+1}; \theta_{j+1}; M_{j+1}$  из уравнений  $j+1$ -участка, в сечении с координатой  $l_j$ , можно составить уравнения

$$\Delta_j = \Delta_{j+1}; \quad \theta_j = \theta_{j+1}; \quad M_j = M_{j+1}. \quad (11)$$

Для колонны с  $m$  промежуточными поплавками необходимо составить  $3m$  уравнений такого типа. Используя граничные условия, составляем еще 4 уравнения. В зависимости от условий закрепления водоотделяющей колонны на опорах возможны следующие 4 варианта граничных условий.

a) Нижняя и верхняя опоры—шарниры.

Границные условия. При  $z=0: x=\Delta_0; \frac{d^2x}{dz^2}=0$ .

При  $z=l: x=0; \frac{d^2x}{dz^2}=0$ .

b) Нижняя опора—зашемление, верхняя опора—шарнир.

Границные условия. При  $z=0: x=\Delta_0; \frac{d^2x}{dz^2}=0$ .

При  $z=l: x=0; \frac{dx}{dz}=0$ .

v) Нижняя опора—шарнир, верхняя опора—зашемление.

Границные условия. При  $z=0: x=\Delta_0; \frac{dx}{dz}=\pm\theta_0$ .

При  $z=l: x=0; \frac{d^2x}{dz^2}=0$ .

г) Нижняя и верхняя опоры—зашемление.

Границные условия. При  $z=0: x=\Delta_0; \frac{dx}{dz}=\pm\theta_0$ .

При  $z=l: x=0; \frac{dx}{dz}=0$ .

Решая полученную систему уравнений, находим все неизвестные входящие в расчет водоотделяющей колонны.

#### ЛИТЕРАТУРА

1. Станишевский А. С. Исследование работы низа бурильного инструмента. «Нефть и газ», № 12, 1950.
2. Смирнов В. И. Курс высшей математики. Физматгиз, 1961.
3. Watson G. N. Теория бесселевых функций ИИП, 1949.
4. Дииник А. Н. Избранные труды, т. 2. Изд-во АН УССР, 1955.

Поступило 11. III 1968

И. П. Гулиев, В. К. Саркисов

#### Суајырычы борунун һесабланмасы мәсәләси һагында

#### ХУЛАСӘ

Буруг кәмиләриндә газыма ишләри апарыларкэн, кәмини дәнис дибиндәки гүјүнүн ағзы илә бирләшdirән хүсуси суајырычы борудан истифадә олуунур. Суајырычы бору гүјүнү судан тәчрид едир, газыма боруларынын ендирилмәсindә јөнәлдиши вәзиғесини көрүр, һәм дә онлары далға тәэзиги вә суалты ахынтыларын тәэзиги тә'сириндән мұнағизә едир. Суајырычы борунун көвдәсіндә шагули јердәишимәләр компенсатору вә бир нечә үзкәч јерләшdirилir.

Суајырычы боруја вә онун көвдәсіндә бәркидилмиш үзкәчләре тә'сир едән әсас јүк далғаларын вә дәнис ахынтыларының тәэзигин дән ибарәтдир. Енни заманда, борунун һесабланмасында онун өз чекисини вә орта үзкәчләрин әлавә галдырычы гүүввәсии нәзәрә алмаг лазымдыр. Суајырычы борунун әжилмиш охунун тәнлиji хүсуси функциаларын көмәji илә алынмышдыр. Бу тәнликләри дифференциаллама васитәсилә борунун дәнмә бучагының дүстүрүнен вә онун ен кәсијиндәки әjичи моменти тапмаг мүмкүндүр.

ФИЗИКА

В. Б. АНТОНОВ, И. М. КЕРИМОВ, Р. Х. НАНИ

**УСТАНОВКА ДЛЯ АВТОМАТИЧЕСКОЙ РЕГИСТРАЦИИ  
СПЕКТРАЛЬНОГО РАСПРЕДЕЛЕНИЯ ФОТОПРОВОДИМОСТИ  
ВЫСОКООМНЫХ ПОЛУПРОВОДНИКОВ**

(Представлено академиком АН Азербайджанской ССР Г. Б. Абдуллаевым)

Исследования спектрального распределения фотопроводимости играют существенную роль при изучении полупроводниковых материалов, позволяя определить ряд важных параметров.

Сущность измерения спектрального распределения фотопроводимости заключается в последовательном измерении величины фототока, протекающего через образец при облучении его светом различных длин волн. В качестве источника излучения используются монохроматоры различных типов, а измерение фототока осуществляется потенциометрическим методом по компенсационной схеме или каким-нибудь другим способом.

В случае высокоомных материалов возникают трудности, связанные с необходимостью измерять очень слабые токи порядка  $10^{-8}$ — $10^{-10}$  а, кроме того, измерительные приборы должны обладать очень высоким входным сопротивлением. Использование для этих целей электрометрических усилителей делает эти измерения достаточно трудоемкими ввиду высокой требовательности измерительной аппаратуры к внешним воздействиям, дрейфа нуля усилительных устройств и т. д. и занимающими много времени.

Ниже описывается автоматическая установка для регистрации спектрального распределения фотопроводимости высокоомных материалов (с удельным сопротивлением  $10^6$ — $10^{12}$  ом см), созданная на базе монохроматора спектрографа СФ-4 и электронного самопищущего прибора для измерения и записи малых токов позволяющего регистрировать малые значения силы постоянного тока. Монохроматор спектрографа СФ-4 позволяет производить измерения в интервале длин волн 220—1100 нм. Использованный в установке криостат обеспечивает температурный интервал измерений 80—600°К.

Блок-схема установки приведена на рис. 1. На образец (1), установленный в криостате Кр., через кварцевое окно криостата фокусируется кварцевой линзой Л излучение, выходящее из монохроматора. Цепь питания образца включает батарею Б, напряжение на которой может изменяться ступенчато при помощи переключателя  $K_1$ , потенциометры  $P_1$  и  $P_2$  для грубой и плавной установки тока и кнопку  $K_2$  для нанесения, в случае необходимости, меток на записываемую кривую ручным способом. Автоматически метки наносятся через каждые 10 нм (25 нм в области длин волн 800—1100 нм) при помощи программного устройства ПУ, связанного с механизмом поворота призмы монохроматора.

Последовательно с образцом в цепь включен электронный самопищий измеритель малых токов, который может работать на одной из четырех шкал:  $0-5 \cdot 10^{-10}$ ,  $0-5 \cdot 10^{-9}$ ,  $0-5 \cdot 10^{-8}$  и  $0-10^{-7}$  а. Входное сопротивление прибора от одного до  $10^9$  ом. Самописец регистрирует на диаграммной ленте шириной 275 м.м. кривую спектрального распределения фототока с метками длин волн (рис. 2).

Программное устройство показано на рис. 3. На оси рукоятки механизма поворота призмы монохроматора СФ-4 закреплены металлическая шестерня и пластмассовый диск (2). При помощи шестерёнчатой передачи ось механизма поворота призмы соединена с валом редуктора электродвигателя Д-221, вращающегося со скоростью 0,7 об/мин. За счет зубчатой передачи скорость вращения оси механизма поворота призмы снижается до 0,05 об/мин, что обеспечивает плавное медленное изменение длины волны выходящего из монохроматора света, составляющее несколько нм в 1 мин.

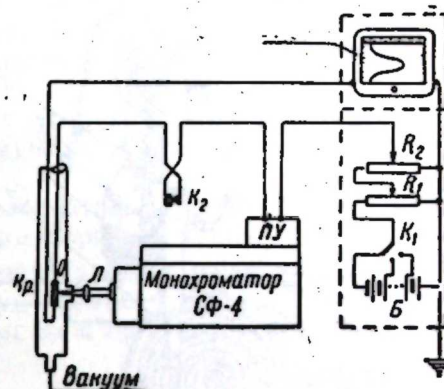


Рис. 1. Блок-схема установки для автоматической регистрации спектрального распределения фотопроводимости высокоомных полупроводников.

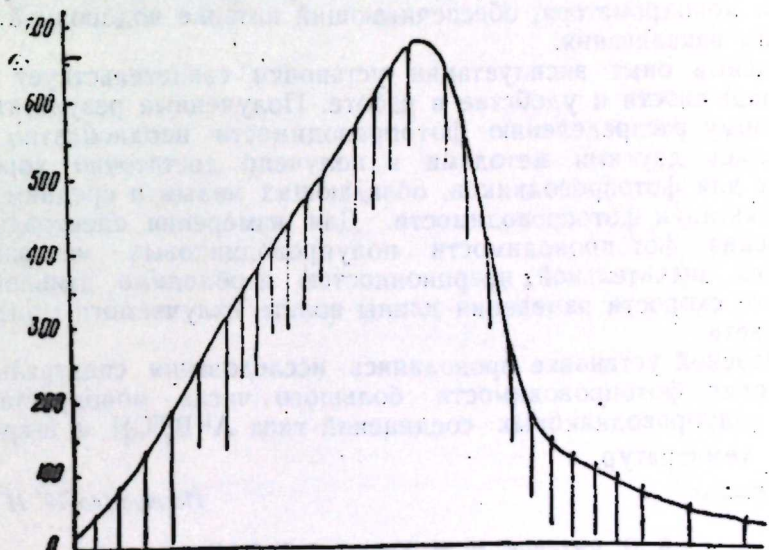


Рис. 2. Диаграммная лента шириной 275 мм с кривой спектрального распределения фототока с метками.

На передней стороне плексигласового диска (2) имеется спиральная канавка, внутри которой нанесена перфорация. Положение каждого отверстия перфорации соответствует делениям шкалы длин волн монохроматора СФ-4 с интервалом 10 нм (25 нм в области 800—1100 нм).

По спиральной канавке диска (2), при вращении последнего, движется штифт считающего рычага (7), который в момент попадания штифта в отверстие перфорации при помощи контактов на короткое мгновение разрывает цепь питания образца, в результате чего на регистрируемую кривую наносится метка, соответствующая определенной длине волны. Продолжительность импульса размыкания регулируется винтом (3) и масляным демпфирующим устройством (6), которое также предотвращает вибрацию контактов и обеспечивает четкость нанесения метки. Концевой выключатель (5) служит для автоматического выключения программного устройства после прохождения всей шкалы длин волн.

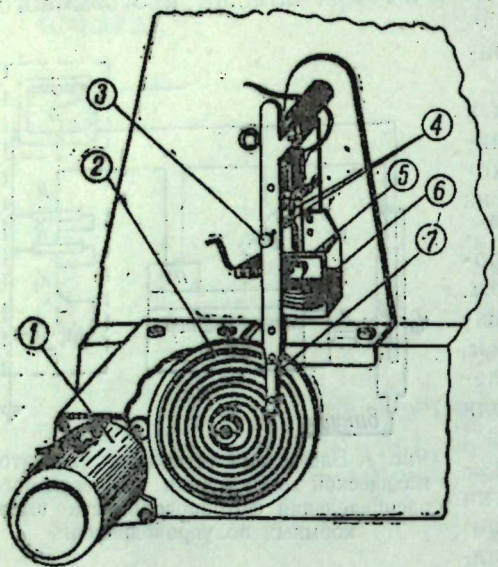


Рис. 3. Программное устройство.

щего в себя блок питания измерительной схемы с самопищащим прибором и столик для размещения монохроматора СФ-4 и криостата. На передней стороне столика расположена наклонная панель с органами управления программным устройством и цепи нагревателя криостата. Под столиком на специальном кронштейне расположен блок питания осветителя монохроматора, обеспечивающий питание водородной лампы и лампы накаливания.

Длительный опыт эксплуатации установки свидетельствует о ее высокой надежности и удобстве в работе. Полученные результаты по спектральному распределению фотопроводимости неоднократно контролировались другими методами и получено достаточно хорошее совпадение для фотопроводников, обладающих малым и средним временем релаксации фотопроводимости. Для измерения спектрального распределения фотопроводимости полупроводниковых материалов, обладающих значительной инерционностью необходимо дальнейшее уменьшение скорости изменения длины волны, излучаемого монохроматором света.

На описанной установке проводились исследования спектрального распределения фотопроводимости большого числа монокристаллов тройных полупроводниковых соединений типа  $A^{\text{II}}B^{\text{III}}C^{\text{VI}}$  в широком интервале температур.

Институт физики

Поступило 19. II 1968

В. Б. Антонов, Н. М. Кәримов, Р. Х. Нани

Жүксәк мұғавимәтли жарымкечиричиләрдә фотокечиричилигин спектрал пајланмасыны автоматик гејд едән гурғу

ХУЛАСӘ

Мәгәләдә СФ-4 типли монохроматор вә чох зәиф электрик чәрәжанларыны ( $10^{-8} \div 10^{-10}$ ) жазан электрон чиһазы әсасында жүксәк мұғавимәтли жарымкечиричи материалларын (хұсуси мұғавимәти  $10^6 \div 10^{10}$ )

спектрал пајланмасыны арасықәсилмәдән гејд едән гурғунун жарадылмасындан бәһс едилір.

Автоматик гејдемтә гурғусундакы програм диски үзәринде ачылмыш спектралшәкилли ышырыда мүәлжін далгалара үйғун ( $220+800$  нм интервалында һәр 10 нм-дән бир, 800—1100 нм интервалында исә һәр 25 нм-дән бир) дешикләр ачылмышдыр. Програм диски билаваситә СФ-4 монохроматорунун ишыг далгаларыны дәжишән охуна беркинилмишидір.

Електрон чиһазынын диаграм ленти үзәринде далға узунлугларыны гејд етмәк үчүн програм диски үзәри илә контакт механизм һәрәкәт едир.

Жуахыда һағында бәһс едилән автоматик гејдемтә гурғусу илә  $A^{\text{II}}B^{\text{III}}C^{\text{IV}}$  типли монокристал бирләшмәләринин кениш температур интервалларындакы фотокечиричилигин спектрал пајланмасы тәдгиге олунмуш, нәтичәләр даһа әvvәл мөвчуд тәдгигат үсуллары илә алынан нәтичәләрә үйғун кәлмиш, раһатлыг вә е'тибарлылыг нәгтеји-нәзәриндән өзүнү доғрултмушшур.

п 58734

Центра́льная научная  
библиотека

МЕХАНИКА

Н. А. МАМЕДОВ

К РАСЧЕТУ НЕПРЯМОУГОЛЬНЫХ ПЛАСТИН  
СО СВОБОДНЫМИ И ПОДПЕРТЫМИ УГЛОВЫМИ ТОЧКАМИ

(Представлено академиком АН Азербайджанской ССР Р. Г. Исмайловым)

Рассмотрим изгиб консольной треугольной пластинки из упругого материала, имеющей ось симметрии (ось  $x$ ) и защемленной по стороне перпендикулярной оси симметрии (рис. 1).

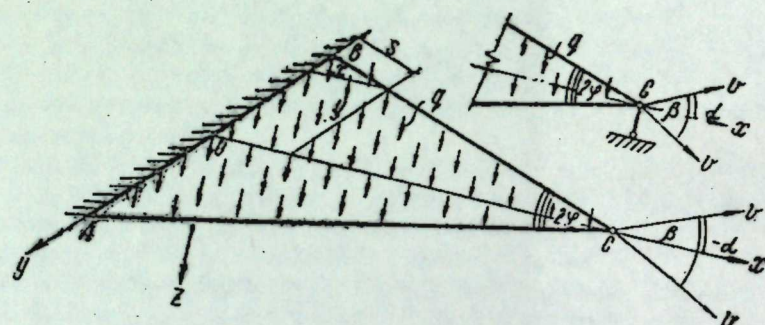


Рис. 1.

Вылет консоли пластинки обозначим через  $l$ . Угол на свободной вершине для удобства при преобразованиях обозначим через  $2\varphi$ ;  $\beta$ ,  $\alpha$  — углы между направлениями внешних нормалей  $v$  к контуру и осью  $x$ ;  $s$  — координата, отсчитанная от начальной точки контура в направлении, обратном движению часовой стрелки, если смотреть с конца оси  $z$ , определяющее положение точки на контуре.

На пластинку действует распределенная по поверхности поперечная равномерная нагрузка интенсивностью  $q$ .

Вариация потенциальной энергии пластинки:

$$\delta V = D \iint \nabla^2 w \delta w dx dy - \int M_v \frac{\partial \delta w}{\partial v} ds + \int V_v \delta w ds$$

$w(x, y)$  — прогиб пластинки;

$V_v = Q_v - \frac{\partial M_{vt}}{\partial s}$  — приведенное поперечное усилие на контуре пластинки;

МСФ 82

$M_v$  — изгибающий момент на контуре пластинки;  
 $M_{vt}$  — крутящий момент на контуре пластинки.

$$\delta V = D \iint \nabla^2 w \delta w dx dy - \int M_v \frac{\partial \delta w}{\partial v} ds + \int V_v \delta w ds + \sum_j \delta w_j [M_{vt}(s_j - 0) - M_{vt}(s_j + 0)]$$

Вариация потенциальной энергии пластинки Кирхгоффа, дополненная внеинтегральными членами М. Я. Кушулем [1].

Из уравнения Лагранжа

$$\delta V = \iint q \delta w dx dy - \int G_v \frac{\partial \delta w}{\partial v} ds + \int \left( N_v - \frac{\partial G_{vt}}{\partial s} \right) \delta w ds + \sum_i P_i \delta w_i$$

После подстановки выражения вариации потенциальной энергии пластинки, дополненной внеинтегральным членом, и после уточнения имеющихся нагрузок, получим необходимое вариационное уравнение для функции  $w(x, y)$  в виде:

$$\iint (D \nabla^2 \nabla^2 w - q) \delta w dx dy - \int M_v \frac{\partial \delta w}{\partial v} ds + \int V_v \delta w ds + [M_{vt}(s_c - 0) - M_{vt}(s_c + 0)] \delta w_c = 0,$$

где

$$M_v = -D\mu \nabla^2 w - D(1-\mu) \left( \cos^2 \alpha \frac{\partial^2 w}{\partial x^2} + \sin^2 \alpha \frac{\partial^2 w}{\partial y^2} + \sin 2\alpha \frac{\partial^2 w}{\partial x \partial y} \right)$$

$$V_v = -D \left\{ \cos \alpha \frac{\partial}{\partial x} \nabla^2 w + \sin \alpha \frac{\partial}{\partial y} \nabla^2 w + (1-\mu) \frac{\partial}{\partial s} \left[ \cos 2\alpha \frac{\partial^2 w}{\partial x \partial y} + \frac{1}{2} \sin 2\alpha \left( \frac{\partial^2 w}{\partial y^2} - \frac{\partial^2 w}{\partial x^2} \right) \right] \right\}$$

$$M_{vt}(s_c - 0) - M_{vt}(s_c + 0) = D(1-\mu) \sin \beta \left[ 2 \sin(2\alpha + \beta) \frac{\partial^2 w}{\partial x \partial y} - \cos(2\alpha + \beta) \left( \frac{\partial^2 w}{\partial y^2} - \frac{\partial^2 w}{\partial x^2} \right) \right],$$

где  $\mu$  — коэффициент Пуассона;

$D$  — жесткость пластинки при изгибе.

Из последнего уравнения имеем  $\nabla^2 \nabla^2 w = \frac{q}{D}$ , и вдоль защемленной

стороны при  $x = 0$   $w = \frac{\partial w}{\partial x} = 0$ .

Частное решение уравнения, удовлетворяющее геометрическим условиям, обозначим через  $w_0$  и определим  $w$  в виде  $w = w_0 + w_1$ , где

$$w_0 = \frac{q}{24D} (x^4 - 4x^3 l + 6x^2 l^2)$$

Вариационное уравнение для функции  $w_1(x, y)$  преобразуется в

$$\iint D \nabla^2 \nabla^2 w_1 dx dy - \int (M'_v + M_v^0) \frac{\partial \delta w_1}{\partial v} ds + \int (V'_v + V_v^0) \delta w_1 ds + [M'_{vt}(s_c - 0) + M_v^0(s_c - 0) - M'_{vt}(s_c + 0) - M_v^0(s_c + 0)] \delta w_c = 0, \quad (1)$$

где  $\delta w_c$  — значение вариации  $w_1(x, y)$  в угловой точке „С“.  $M'_v, V'_v, M'_{vt}, M_v^0, M_{vt}^0, V_v^0$  выражаются аналогично  $M_v, M_{vt}, V_v$  только через функции  $w_1(x, y)$  и  $w_0(x, 0)$ .

Из полученного уравнения следует, что функция  $w_1(x, y)$  удовлетворяет бигармоническому уравнению  $\nabla^2 \nabla^2 w_1(x, y) = 0$ . С учетом последнего уравнение (1) преобразуем в виде:

$$\begin{aligned} & \int \left( -M'_v \frac{\partial \delta w_1}{\partial v} + V'_v \delta w_1 \right) ds + [M'_{vt}(s_c - 0) - M'_{vt}(s_c + 0)] \delta w_c + \\ & + \int \left( -M_v^0 \frac{\partial \delta w_1}{\partial v} + V_v^0 \delta w_1 \right) ds + [M_{vt}^0(s_c - 0) - M_{vt}^0(s_c + 0)] \delta w_c = 0 \quad (2) \end{aligned}$$

Решая задачу методом Ритца, приближенное выражение для функции прогибов берем в виде  $w_1 = \sum_{i=1}^{i=n} (a_i L_i + b_i T_i)$ , где  $L_i$  и  $T_i$  — полиномы, введенные М. Я. Кушулем.

Как показано М. Я. Кушулем, в случае пластин, очерченных контуром, симметричным относительно оси  $x$  (коэффициенты  $b_i = 0$ )  $w_1 = \sum_{i=1}^{i=n} a_i L_i$  достаточную точность решения обеспечивает  $n=6$

$$\begin{aligned} L_1 &= x^2 & L_3 &= x^2 y^2 - \frac{1}{3} x^4 & L_5 &= x^2 y^4 - 2x^4 y^2 + \frac{1}{5} x^6 \\ L_2 &= x^3 & L_4 &= x^3 y^2 - \frac{1}{5} x^5 & L_6 &= x^3 y^4 - \frac{6}{5} x^5 y^2 + \frac{3}{35} x^7 \end{aligned}$$

Произведя некоторые преобразования в уравнении (2) получим систему уравнений

$$\begin{aligned} & \sum_{i=1}^6 a_i \left\{ \frac{1}{\cos \varphi} \int_0^l \left( -M'_{vt} \frac{\partial L_k}{\partial v} + V'_{vt} L_k \right) dx + \right. \\ & + \frac{1}{2} [M'_{vt}(s_c - 0) - M'_{vt}(s_c + 0)] L_k \Big|_{\substack{x=l \\ y=0}} \Big\} + \frac{1}{\cos \varphi} \int_0^l \left( -M_v^0 \frac{\partial L_k}{\partial v} + V_v^0 L_k \right) dx + \\ & \left. + \frac{1}{2} [M_{vt}^0(s_c - 0) - M_{vt}^0(s_c + 0)] L_k \Big|_{\substack{x=l \\ y=0}} = 0 \right. \quad (3) \end{aligned}$$

$M'_{vt}, M_{vt}^0, V'_{vt}$  — изгибающие, крутящие моменты и приведенные попечные усилия вдоль стороны контура BC, соответствующие полиномам  $L_i$ .

Подставляя в систему уравнений (3) значения  $M'_{vi}, M_{vi}^0, V'_{vi}, M_v^0, M_{vt}^0, V_v^0$  и  $L_k$ , при  $i = 1, 2, 3, 4, 5, 6$ , и произведя соответствующие действия получим систему из 6 неоднородных линейных уравнений относительно неизвестных  $a_1, a_2, a_3, a_4, a_5, a_6$ .

(Вследствие полиграфических трудностей система не приводится). Полученная система имеет общий вид для задач данного типа. Придавая значения параметрам  $\mu, \varphi, l, D$ , можно получить в каждом конкретном случае значения  $a_1, a_2, a_3, a_4, a_5, a_6$  и составить функцию прогиба  $w_1$ . Учитывая, что  $w = w_0 + w_1$ , получим:

$$\begin{aligned} w(x, y) = & a_1 x^2 + a_2 x^3 + a_3 \left( x^2 y^2 - \frac{1}{3} x^4 \right) + a_4 \left( x^3 y^2 - \frac{1}{5} x^5 \right) + \\ & + a_5 \left( x^2 y^4 - 2x^4 y^2 + \frac{1}{5} x^6 \right) + a_6 \left( x^3 y^4 - \frac{6}{5} x^5 y^2 + \frac{3}{35} x^7 \right) + \\ & + \frac{q}{24D} (x^4 - 4x^3 l + 6x^2 l^2) \end{aligned}$$

Определив  $w(x, y)$ , можно вычислить изгибающие моменты  $M_x, M_y$ , крутящие моменты  $M_{xy}$  и попечные силы  $Q_x, Q_y$  в произвольной точке пластиинки.

Для пластиинки данного вида, но когда вместо равномерно распределенной нагрузки к пластиинке приложена сосредоточенная сила  $P$ , на свободной вершине, в системе уравнений для определения  $a_1, a_2, \dots, a_6$  будут иметь место следующие изменения.

Свободные члены в уравнениях системы

$$\begin{aligned} & -\frac{1}{6} q l^2 \operatorname{tg} \varphi; \quad -\frac{1}{10} q l^2 \operatorname{tg} \varphi; \quad -\frac{1}{180} q l^2 \operatorname{tg} \varphi (3\mu - 4 + 9 \operatorname{tg}^2 \varphi); \\ & -\frac{1}{420} q l^2 \operatorname{tg} \varphi (3\mu - 4 + 9 \operatorname{tg}^2 \varphi); \\ & -\frac{1}{420} q l^2 \operatorname{tg} \varphi (3 - 3\mu - 9 \operatorname{tg}^2 \varphi + 5\mu \operatorname{tg}^2 \varphi + 10 \operatorname{tg}^4 \varphi); \\ & -\frac{1}{1260} q l^2 \operatorname{tg} \varphi (3 - 3\mu - 9 \operatorname{tg}^2 \varphi + 5\mu \operatorname{tg}^2 \varphi + 10 \operatorname{tg}^4 \varphi) \end{aligned}$$

будут заменены соответственно  $\frac{P}{2}; \frac{P}{2}; -\frac{P}{6}; -\frac{P}{10}; \frac{P}{10}; \frac{3P}{70}$ .

В качестве примера рассмотрим изгиб пластиинки, имеющей форму равнобедренного прямоугольного треугольника, защемленного вдоль гипотенузы и имеющей шарнирную опору на вершине прямого угла. Пластиинка нагружена равномерно распределенной нагрузкой  $q$ . Расстояние шарнирной опоры от защемления (вылет консоли)  $-l$ ,  $\mu = 0,3$ . Разобьем решение на следующие части.

1. Определим перемещение вершины прямого угла пластиинки, если бы пластиинка не имела шарнирной опоры (пластиинка консольна) при той же нагрузке. Обозначим прогиб такой пластиинки через  $w^a = w_0 + w_1$ , где  $w_1 = \sum_{i=1}^6 a_i L_i$ ,  $w_0 = \frac{q}{24D} (x^4 - 4x^3 l + 6x^2 l^2)$ , подставляя значения  $\mu = 0,3, \varphi = 45^\circ$  в систему линейных неоднородных уравнений,

выведенную выше и решив ее относительно неизвестных  $a_1, a_2, \dots, a_6$ , получим:

$$a_1 = -0,1237 \frac{q l^2}{D}; a_2 = 0,0348 \frac{q l}{D}; a_3 = -0,1158 \frac{q}{D};$$

$$a_4 = 0,1023 \frac{q}{D l}; a_5 = -0,0171 \frac{q}{D l^2}; a_6 = 0,237 \frac{q}{D l^3};$$

при  $x = l, y = 0$

$$L_1 = l^2; L_2 = l^3; L_3 = -\frac{1}{3}l^4; L_4 = -\frac{1}{5}l^5; L_5 = \frac{1}{5}l^6; L_6 = \frac{3}{35}l^7$$

$$w_1 = -0,0735 \frac{q l^4}{D}; w_0 = 0,125 \frac{q l^4}{D}; w^q(l, 0) = 0,0515 \frac{q l^4}{D}$$

2. Определим перемещение вершины свободного угла пластинки, если к этой вершине была бы приложена сосредоточенная сила  $-P$  (пластинка консольна,  $q$  — отсутствует,  $\mu = 0,3$ ,  $\varphi = 45^\circ$ , вылет консоли  $l$ ).

Как было сказано выше, при условии замены равномерно распределенной нагрузки сосредоточенной силой  $P$  на вершине свободного угла, достаточно в системе неоднородных линейных уравнений произвести замену свободных членов (т. к.  $P$  имеет знак «—», то и знаки свободных членов изменятся на противоположные). После решения системы получим

$$a'_1 = -0,4175 \frac{P}{L}; a'_2 = 0,2155 \frac{P}{D l}; a'_3 = 0,5693 \frac{P}{D l^2};$$

$$a'_4 = -0,4051 \frac{P}{D l^3}; a'_5 = -0,1068 \frac{P}{D l^4}; a'_6 = 0,0434 \frac{P}{D l^5};$$

$$\text{при } x = l, y = 0, w^{-P} = -0,3285 \frac{P l^2}{D}.$$

3. Перейдем к начальному условию задачи, при котором перемещение вершины прямого угла пластинки равно 0.

Используя идею известного в строительной механике метода сил, можем записать

$$w^q + X_1 w_c^{-P} = 0 \quad X_1 = -\frac{w_c^q}{w_c^{-P}} = 0,1608 q l^2$$

Отсюда следует, что

$$w = w^{-P} \cdot X_1 + w^q \quad w = \sum_1^6 A_i L_i + w_0, \text{ где } A_1 = X_1 a'_1 + a_1$$

$$A_1 = -0,1908 \frac{q l^2}{D}; A_2 = 0,694 \frac{q l}{D}; A_3 = -0,0243 \frac{q}{D};$$

$$A_4 = 0,0372 \frac{q}{D l}; A_5 = -0,0343 \frac{q}{D l^2}; A_6 = 0,0307 \frac{q}{D l^3}.$$

Определим  $M_x, M_y, Q_x, Q_y$ , для 2-х сечений:  $x = 0; y = 0$  и  $M_x, M_y, Q_x, Q_y, V_v$  по контуру и построим соответствующие эпюры (рис. 2, 3).

$V_v$  и  $M_y$  по условию на контуре должны быть равными 0. Полученное отклонение (вследствие приближенности решения) составляет 2–3% от соответствующих расчетных величин, что следует признать приемлемым для задач подобного типа.

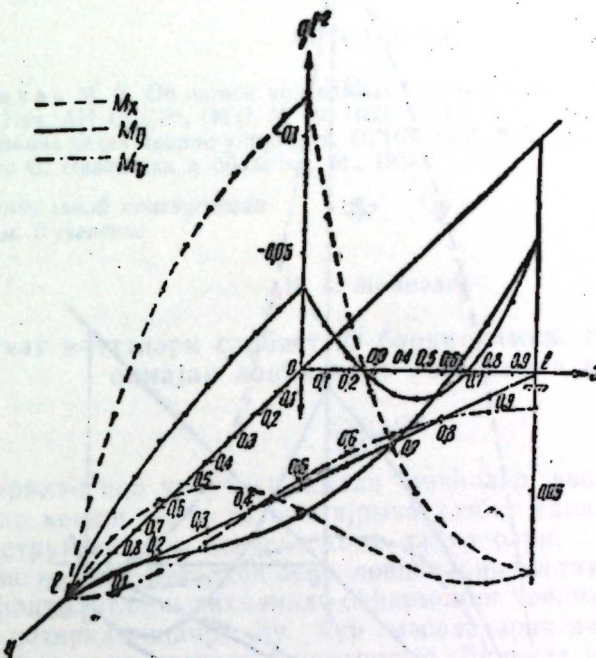


Рис. 2.

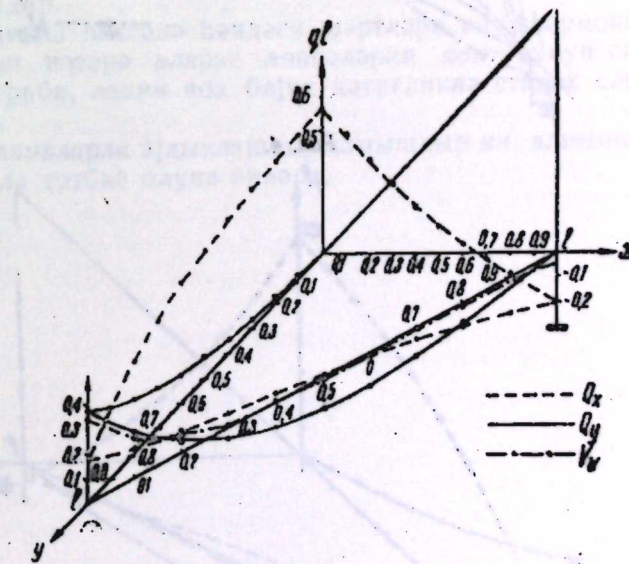


Рис. 3.

Первая часть решения задачи сама по себе является решением задачи о консольной пластинке, нагруженной равномерно распределенной нагрузкой. Определяем для этого случая  $M_x, M_y, Q_x, Q_y, M_v$  и  $M_v$  для 2-х сечений ( $x = 0; y = 0$ ) и контура (рис. 4, 5).

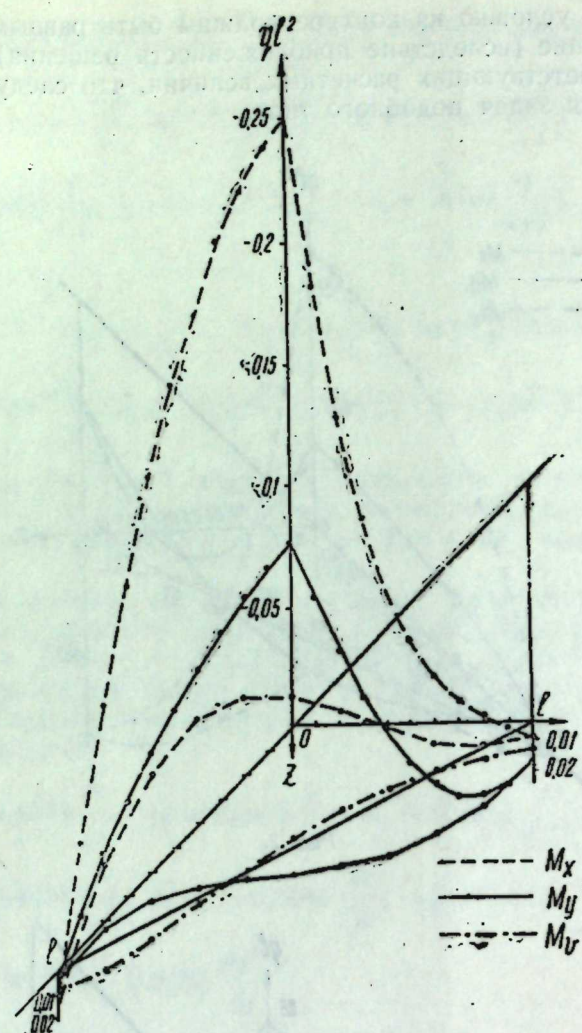


Рис. 4.

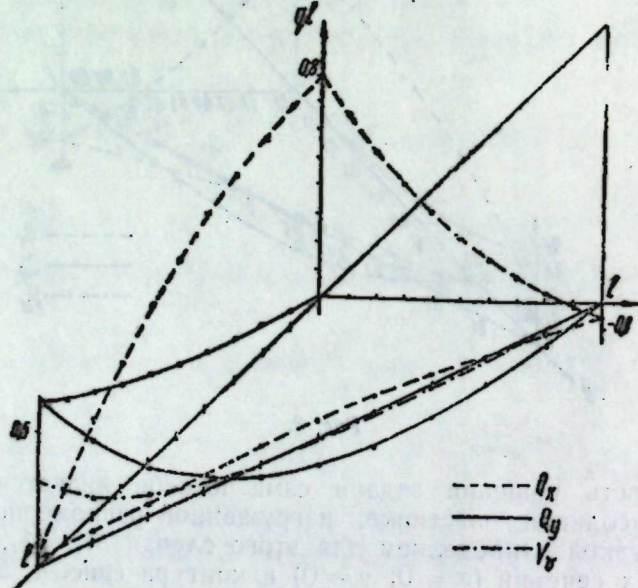


Рис. 5.

Отклонение  $V_v$  и  $M_v$  от 0 еще меньше, чем в предыдущей задаче (~2%).

Полученные системы линейных неоднородных уравнений позволяют решать задачи нескольких типов в зависимости от сочетаний нагрузок и наличия шарнирной опоры на вершине угла.

#### ЛИТЕРАТУРА

1. Кушуль М. Я. Об изгибе консольных пластин, очерченных кусочно-гладкими кривыми. «Изв. АН СССР», ОТН, № 10, 1958.
2. Лейбензон Л. С. Вариационные методы решения задач теории упругости. ОГИЗ, 1943.
3. Тимошенко С. Л. и Войновский-Кригер С. Пластиники и оболочки. М., 1963.

НИИ строительной конструкции  
им. Кучеренко

Поступило 9. IX 1968

Н. А. Маммадов

Бучаг нөгтәләри сәрбәст вә бәркидилмиш дүзбучаглы  
олмајан лөвһәләрин һесабатына даир

#### ХУЛАСӘ

Көстәрилән нөв үчбучагшәкилли лөвһәләр авиасија техникасы вә тикинтидә кениш мигјасда һәм ајрыча тәтбиг едилir, һәм дә мүрәккәб конструксијалара элемент кими дахил олур.

Ријази нөгтеји-нәзәрдән белә лөвһәләрин әјилмәси мәсәләси мүрәккәб сәрһәд шәртләри дахилиндә биһармоник тәнликләрин һәлли мәсәләсинә кәтирилмишdir. Бу чур мәсәләләрин дәгиг һәллини алмаг бир чох һалларда мүмкүн олмамышдыр. Бунунла әлагәдар, енеркетик принцип вә М. J. Кушул тәрәфиндән тәклиф олунмуш хүсуси чәбри гөвчәдилләрин тәтбиги әсасында тәгриби һәлләрин гурулмасы үсулу сечилмишdir.

Бағланмыш һиссәдә һәндәси шәртләри вә биһармоник тәнликләрин өдәндүини нәзәрә аларaq лөвһәләрин контурунун сәрбәст һиссәләрindә тәгриби, лакин чох бөյүк дәгигликлә станик сәрһәд шәртләри өдәнилir.

Несабламаларла айынлашдырылмышдыр ки, алымыш һәлл мүәјжән дәгигликлә тәтбиг олuna биләр.

ФИЗИКА

Г. Б. АБДУЛЛАЕВ, А. З. КУЛИЕВ,  
К. Ш. КАХРАМАНОВ, Э. М. ТУХТАСИНОВ

**ПОДВОДНЫЙ ТЕРМОЭЛЕКТРИЧЕСКИЙ ГЕНЕРАТОР  
НА ГАЗОВОМ ТОПЛИВЕ ДЛЯ КАТОДНОЙ ЗАЩИТЫ  
МОРСКИХ НЕФТИНЫХ ИНДИВИДУАЛЬНЫХ ОСНОВАНИЙ**

С развитием в Советском Союзе морской добычи нефти были сооружены многокилометровые стальные эстакады и большое количество индивидуальных оснований под буровые вышки.

В связи с этим возникла острая необходимость в защите этих сооружений от коррозии.

Последнее связано с тем, что через стальные сооружения, находящиеся в воде, протекают блуждающие токи, вызывающие электролиз. Вследствие этого на стальных сооружениях оседает кислород, который окисляет и разъедает металл.

Подсчитано, что ежегодные мировые потери металла из-за коррозии достигают 10—25 млн. т. Следует считать, что в среднем около 10% получаемого металла погибает вследствие коррозии.

Однако материальные потери от коррозии заключаются не только в стоимости разъеденного металла, но в стоимости оборудования и конструкций, выходящих из строя вследствие коррозии.

Во многих случаях стоимость изготовления оборудования или строительства металлических сооружений дороже металла, затраченного на них.

Существует ряд методов защиты морских металлических сооружений от коррозии.

Одним из эффективных методов является катодная защита. Участок подводного сооружения подключается к отрицательному полюсу источника постоянного тока, положительный полюс которого в виде металлических электродов опущен в воду. Тогда металл сооружения, по отношению к положительным электродам, приобретает отрицательный потенциал и не подвергается коррозии.

В связи с бурным развитием морской добычи нефти в открытом море сооружаются индивидуальные морские основания, которые, как правило, находятся вдали от линии электропровода. Последнее обстоятельство сильно затрудняет катодную защиту этих оснований. Поэтому необходим индивидуальный источник постоянного тока, который мог бы обеспечить катодную защиту таких оснований. Таким

источником мог бы служить аккумулятор. Однако условие стабильной электрической мощности, необходимой для осуществления длительной катодной защиты, исключает возможность использования аккумуляторов.

В этом случае целесообразно применение полупроводниковых термоэлектрогенераторов, которые по сравнению с другими видами источников постоянного тока обладают рядом серьезных преимуществ. В частности, они не боятся короткого замыкания. Имеют большой срок хранения и службы, не требуют особого ухода.

В данной работе рассматривается новый термоэлектрический генератор с естественным охлаждением холодных спаев термобатареи морской водой, т. е. предлагается подводный термоэлектрический генератор.

Полупроводниковый термоэлектрический генератор с естественным водяным охлаждением на газовом топливе, предназначенный для работы под водой, представляет собой комплекс газовой горелки инфракрасного излучения и термоэлектрической батареи.

Подводный термоэлектрический генератор в разрезе представлен на рисунке.

Основной узел генератора—термоэлектрическая батарея (2) состоит из 120 полупроводниковых элементов, размерами  $10 \times 10 \times 5$  каждый. Элементы изготовлены из сплавов  $\text{Bi} - \text{Te} - \text{Se}$  и  $\text{Te} - \text{Sb}$  методом горячего прессования.

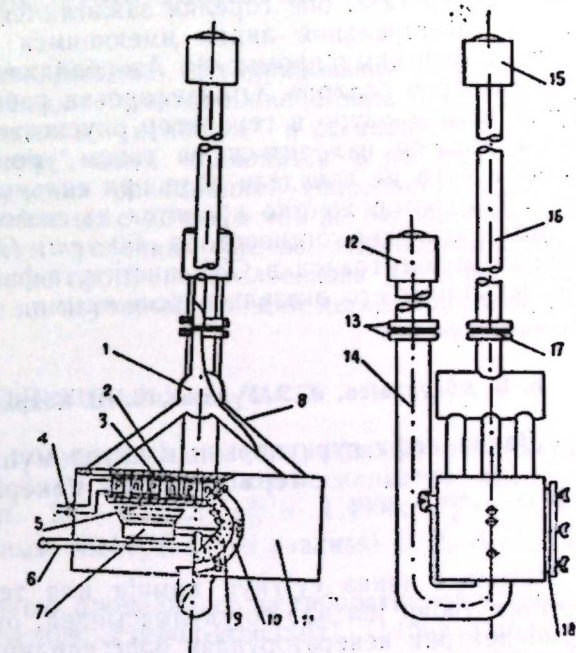
Термоэлектрическая износостойкость этих материалов  $2 \cdot 10^{-3} \text{ 1/град.}$

Ветви термоэлементов последовательно соединены медными коммутационными пластинами. Вся батарея состоит из 4 последовательно соединенных секций размерами  $130 \times 130 \text{ мм}$  каждая.

Термоэлектрическая батарея зажата между двумя медными плитами (3—“холодная” плита, 5—“горячая” плита) и электроизолирована от них. “Горячая” плита разогревается двумя беспламенными горелками (инфракрасного излучения) (7) и ввиду ее большой теплопроводимости обеспечивает равномерное распределение температуры по всей площади горячих спаев.

Для работы генератора под водой и обеспечения естественного водяного охлаждения, термобатарея и газовая горелка заключены в металлический кожух (11). “Холодная” плита одновременно является верхней крышкой генератора и при погружении в воду охлаждается ею.

Выход продуктов сгорания осуществляется через боковые трубы (8), объединительную камеру (1) и вытяжную трубу (16), которая заканчивается ветро-дождезащитным устройством (15).



Для поддержания горения в нижнюю часть камеры, естественно, поступает свежий воздух через входную трубу (14), имеющую на конце также ветро-дождезащитное устройство (12).

Входная (14) и вытяжная (16) трубы разборные и для соединений имеют фланцы (13), между которыми проложены резиновые прокладки (17). Тяга создается разностью высот вытяжной и входной труб.

Ввод газа осуществляется через боковую стенку камеры посредством отливки (6). На той же стенке имеется панель (4) для снятия тока с термоэлектрической батареи. Панель предусматривает герметический вывод токовых проводов на поверхность воды при работе генератора. На передней стенке имеется иллюминатор (10) с плоским стеклом (9) и резиновой прокладкой (18).

#### РАБОТА ПОДВОДНОГО ТЕРМОГЕНЕРАТОРА

Перед включением термогенератора, к панели (4) подсоединяется токовыводящий кабель, а к штуцеру (6) газовый шланг. Затем, открыв доступ газа, обе горелки зажигаются. Газ может быть подведен как от магистральной линии имеющейся в большом количестве на морских нефтяных промыслах Азербайджана, так и от индивидуального газового баллона. Отрегулировав работу горелок, плотно закрывается иллюминатор и генератор опускается в воду. Конец входной трубы должен находиться на таком уровне от поверхности воды, чтобы в него не попадала вода при сильных волнениях поверхности моря. Генератор жестко крепится на любое основание.

Мощность термогенератора 60 вт. Опытный экземпляр такого генератора изготовлен в СКБ института физики АН Азерб. ССР. Первые испытания его оказались успешными.

Институт физики

Поступило 24. V 1967

Н. Б. Абдуллаев, Э. З. Гулиев, К. Ш. Каҳраманов, Е. М. Тухтасинов

Дәниз нефт гурғуларынын катод мұнағизәси үчүн сұалты  
термоэлектрик кенератор

#### ХУЛАСӘ

Мәгаләдә дәниз сујунун көмәji илә термобатареянын сојуг учларынын тәбии јол илә сојудулмасындан, башга сөзлә десәк, сұалты термоэлектрик кенераторундан бәһс едилир.

Белә бир кенератордан хүсуси нефт әсасларынын катод мұдафиәсі кими истифадә етмәк мәсләнәтдир.

АЗЭРБАЙЧАН ССР ЕЛМЛӘР АКАДЕМИЈАСЫНЫН МӘРУЗӘЛӘРИ

ДОКЛАДЫ АКАДЕМИИ НАУК АЗЕРБАЙДЖАНСКОЙ ССР

ТОМ XXIV

№ 11

1968

#### ОРГАНИЧЕСКАЯ ХИМИЯ

Р. Г. ИСМАЙЛОВ, С. М. АЛИЕВ, Н. И. ГУСЕЙНОВ, Р. И. ГУСЕЙНОВ

#### ДЕГИДРИРОВАНИЕ ИЗОПРОПИЛЭТИЛТОЛУОЛА

Результаты исследования реакции дегидрирования этилбензола, изопропилбензола, диэтилбензола, дизопропилбензола и их метилированных в ядре производных в "кипящем" и стационарном слоях катализатора "стирол-констант" нами приводятся в работах [1-5]. В дальнейшем с целью изучения реакционной способности этильной и изопропильной групп, связанных с одним и тем же бензольным кольцом, а также для разработки условий синтеза изопропенилстирола было изучено дегидрирование изопропилэтилбензола [6]. В настоящей работе приводятся данные по изучению реакции дегидрирования изопропилэтилтолуолов.

#### ЭКСПЕРИМЕНТАЛЬНАЯ ЧАСТЬ

Изопропилэтилтолуол, полученный алкилированием этилтолуола пропиленом в присутствии синтетических алюмосиликатов имел следующие константы: т. кип. 209–213°C;  $n_D^{20}$  — 1,4998;  $d_4^{20}$  — 0,8678; изомерный состав (по данным спектрального анализа) 1, 2, 3–15; 1,2, 4–55; 1,3,5–30%.

Опыты по дегидрированию проводились на лабораторной установке в "кипящем" слое катализатора "стирол-констант". Сыре и полученные газообразные и жидкые продукты исследовались на хроматографе "Перкин-Элмер" с колонкой из нержавеющей стали (длина—2 м), заполненной хромосорб пропитанным апневозоном. Температура в колонке поддерживалась 180°C. Скорость газоносителя — гелия — 3,0–3,5 л в 1 ч, объем пробы — 0,01 мл.

Для идентификации содержащихся во фракциях примесей были определены относительно удерживаемые объемы ( $V_g$ ) 20 ароматических углеводородов. Расшифровка производилась путем сравнения температуры кипения (т. кип.), найденной с помощью графика зависимости  $\ln V_g$  от т. кип. /T, с литературными данными, а также введением эталонных углеводородов в исследуемый продукт последующим снятием хроматограммы.

Синтез изомеров винилизопропилтолуола осуществлялся алкилированием поливинилтолуола пропиленом в присутствии  $AlCl_3$  с последующим крекингом продукта алкилирования. Изомеры изопропенилэтилтолуола были синтезированы крекингом смеси несим-(2',-2"-диметил-, 4'-

4"-дизопропил-) дифенилэтана и несимм. -(4"-, 4"-диметил -2", 2"-дизопропил-) дифенилэтана. Последние были синтезированы нами взаимодействием смеси м- и п-изопропилтолуола и ацетальдегида в присутствии серной кислоты. Катализаты подвергались четкой ректификации в вакууме и анализировались на общую ненасыщенность по ацетатно-рутной методике [7]. Хроматограммы очищенного двукратной четкой ректификацией исходного изопропилэтилтолуола и дегидрогенизата, полученного при 625°C, приводятся на рис. 1, 2.

Судя по данным хроматографических исследований (количество пиков) и учитывая результаты спектрального анализа, можно предположить наличие в сырье главным образом следующих изомеров изопропилэтилтолуола:

1, 2, 3-1-этил-, 2-метил-3-изопропилбензол (образование 1-метил-, 2-этил-3-изопропил- и 1-этил-2-изопропил-3-метилбензолов в принятых условиях алкилирования стерически затруднено). 1, 2, 4-1-этил-, 3-метил-4-изопропил-, 1-этил-2-метил-4-изопропил-, 1-этил-, 2-метил-5-изопропил-, 1-этил-, 3-изопропил-4-метилбензолы (образование 1-этил-3-метил-6-изопропил-, и 1-этил-2-изопропил-4-метилбензолов также стерически затруднено), 1, 3, 5-1-этил-, 3-метил-5-изопропилбензол.

Рис. 1. Хроматограмма изопропилэтилтолуола: 1, 2, 3, 4, 5, 6 — изомеры изопропилэтилтолуола (99,7%); 7—нерасшифрованный продукт (0,3%).

ки затруднено). 1, 2, 4-1-этил-, 3-метил-4-изопропил-, 1-этил-2-метил-4-изопропил-, 1-этил-, 2-метил-5-изопропил-, 1-этил-, 3-изопропил-4-метилбензолы (образование 1-этил-3-метил-6-изопропил-, и 1-этил-2-изопропил-4-метилбензолов также стерически затруднено), 1, 3, 5-1-этил-, 3-метил-5-изопропилбензол.

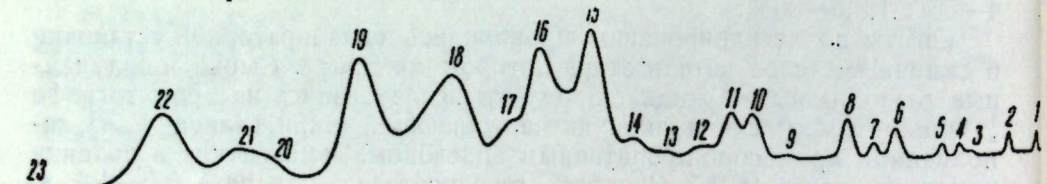


Рис. 2. Хроматограмма дегидрогенизата изопропилэтилтолуола: 1—бензол; 2—толуол; 3—этилбензол; 4—м-, п-ксилол; 5—о-ксилол+стирол; 6—м-, п-изопропилтолуол; 7—о-этилтолуол; 8—винилтолуол; 9—изопропилтолуол; 10 и 11—изопропенилтолуол; 13—18—изопропилэтилтолуол; 19—изопропенилэтилтолуол; 20 и 21—изопропилванилтолуол; 22—24—изопропенилванилтолуол; 12—нерасшифрованный продукт. (Количество смотрите в табл. 2).

Опыты по дегидрированию изопропилэтилтолуола проводились при постоянной скорости подачи сырья — 0,2  $\text{ч}^{-1}$ , молярном соотношении сырье : водяной пар — 1 : 18 и в интервале температур — 500—625°C.

Характеристика продуктов реакции дана в табл. 1.

Начало дегидрирования изопропилэтилтолуола соответствует температуре 500—510°C (ненасыщенность ~3—5%).

При температуре 525°C полученный дегидрогенизат характеризуется общей ненасыщенностью 18,2%. Газ состоит из 83,4% водорода и 6,6% углекислоты.

Таблица 1

Дегидрирование изопропилэтилтолуола в „кипящем“ слое катализатора „стирол-контакт“  
(скорость подачи сырья — 0,2  $\text{ч}^{-1}$ , молярное соотношение сырье : водяной пар — 1 : 18, продолжительность опыта — 1 ч)

Показатели	№ опыта				
	1	2	3	4	5
Температура, °C	525	550	575	600	625
Катализат:					
Выход на сырье, вес. %	95,40	93,20	92,40	83,60	69,00
$n_{\text{D}}^{20}$	1,5040	1,5075	1,5115	1,5210	1,290
$d_4^{20}$	0,8707	0,8722	0,8788	0,8810	0,9055
Ненасыщенность, %*	18,20	27,50	36,85	56,95	70,10
Газообразные продукты:					
Выход на сырье, вес. %	0,12	3,64	6,22	12,05	23,80
Состав в объемах %: $\text{CO}_2$	6,6	8,0	10,0	9,27	10,0
$\text{CO}$	0,0	0,0	0,0	0,0	Следы
$\text{C}_n\text{H}_{2n}$	11,0	12,25	8,5	0,24	2,10
$\text{C}_n\text{H}_{2n+2}$	83,4	79,75	81,5	13,39	12,8
$\text{H}_2$				77,0	75,1
Удельный вес газа	0,3320	0,3397	0,3405	0,3397	0,3399

\* Ненасыщенность дегидрогенизата, состоящего из винилизопропенилтолуола, принято 200 %.

По мере повышения температуры до 600°C ненасыщенность дегидрогенизата растет до 27,5% и полученный газ содержит до 12,3% олефинов. Увеличение температуры еще на 25°C усиливает реакции дегидрирования, в результате чего непредельность полученного продукта достигает 70,1%. Одновременно усиливается коксообразование и конверсия отложившихся на катализаторе кокса в углекислоту. Применение более высоких температур (650° и выше) не улучшает показатели процесса. Результаты хроматографического анализа некоторых дегидрогенизаторов представлены в табл. 2.

При температуре 550° и невысокой конверсии сырья (~28,5%) проходит главным образом дегидрирование изопропильной группы, по мере повышения температуры усиливается дегидрирование как изопропильной, так и этильной групп и при температуре 625°C полученный дегидрогенизат содержит 7,1% изопропилванилтолуола, 14,8% изопропенилэтилтолуола и ~16% изопропенилванилтолуола. Данные ректификации дегидрогенизаторов приводятся в табл. 3.

Как видно, однократной четкой ректификацией продуктов дегидрирования изопропилэтилтолуола в вакууме, можно выделить до 25% изопропенилванилтолуольные фракции 85—90°C ( $n_{\text{D}}^{20}$  — 1,5430) и 90—92°C ( $n_{\text{D}}^{20}$  — 1,5550). По данным хроматографического анализа фракция 90—92°C содержит 71,3% изопропенилванилтолуола, 18,3% изопропилванилтолуола, 9,3% изопропенилэтилтолуола и 1,1 изопропилэтилтолуола. Повторная четкая ректификация позволяет увеличить содержание изопропенилванилтолуола до 93%.

Для сравнения изучалось дегидрирование этилтолуола, изопропилтолуола, их эквимолярной смеси и изопропилэтилтолуола при 550 и

625°C. Полученные данные показали, что легкость дегидрирования изопропильной группы по сравнению с этильной сохраняется в смесях этилтолуола и изопропилтолуола, а также и в изопропилэтилтолуоле.

Таблица 2  
Углеводородный состав продуктов дегидрирования изопропилэтилтолуола

Показатели	# опыта		
	2	4	5
<b>Условия опыта:</b>			
Температура, °C	550	600	625
Скорость, $\text{ч}^{-1}$	0,2	0,2	0,2
Сыре: $\text{H}_2\text{O}$ , моль	1:18	1:18	1:18
Состав дегидрогенизата, %:			
Бензол	0,51	0,17	0,30
Толуол	0,31	0,21	0,43
Этилбензол	0,08	0,07	0,08
м-, п-ксилол	0,23	0,19	0,37
о-ксилол · стирол	0,18	0,19	0,42
м-, п-этилтолуол	1,95	0,89	1,17
о-этилтолуол	0,72	0,42	0,55
Винилтолуол	1,34	0,95	1,76
Изопропилтолуол	0,53	0,08	0,20
Изопропенилтолуол	1,54	4,14	5,8
Изопропилэтитолуол	76,73	61,71	50,73
Изопропенилэтитолуол	7,95	13,40	14,80
Изопропилвинилтолуол	2,94	6,61	7,10
Изопропенилвинилтолуол	3,24	10,72	15,73
Нерасшифрованные продукты	1,85	0,25	0,98

Таблица 3  
Ректификация продуктов дегидрирования изопропилэтилтолуола при остаточном давлении—5 мм рт. ст.

Пределы кипения фракции, °C	Опыт 1		Опыт 2		Опыт 3		Опыт 4		Опыт 5	
	Выход фракции, вес. %	$n_{\text{D}}^{20}$								
Н. К.	50	—	45	—	43	—	40	—	39	—
До—50	—	—	0,49	1,5050	0,64	1,5065	1,13	1,5115	1,48	1,5150
50—60	0,26	1,5030	1,24	1,5055	1,54	1,5055	1,41	1,5150	3,70	1,5195
60—65	0,79	1,5035	1,43	1,5055	1,80	1,5075	0,85	1,5150	2,20	1,5180
65—70	2,64	1,5030	1,97	1,5055	2,44	1,5070	1,9	1,5120	3,36	1,5160
70—75	87,18	1,5030	73,10	1,5060	62,15	1,5070	28,60	1,5135	20,0	1,5140
75—80	5,98	1,5170	9,90	1,5140	15,90	1,5160	37,00	1,5160	25,2	1,5185
80—85	—	—	7,42	1,5215	11,03	1,5265	16,40	1,5285	14,80	1,5290
85—90	—	—	—	—	—	—	8,06	1,5440	11,85	1,5430
90—К. О.	—	—	—	—	—	—	—	—	12,75	1,5550
К. О. °C	78	—	82	—	85	—	90	—	92	—
Общ. выход фракций	96,80	—	95,60	—	95,60	—	95,43	—	95,34	—
Остаток	2,04	Не видно	2,47	Не видно	2,60	Не видно	2,83	Тверд.	2,96	Тверд.
Потери	1,16	—	1,93	—	1,90	—	1,74	—	1,70	—

## Выводы

- Исследовано дегидрирование изопропилэтилтолуола в „кипящем“ слое катализатора „стирол-контакт“.
- Изучен углеводородный состав продуктов дегидрирования.
- Установлено, что двукратной четкой ректификацией дегидрогенизата изопропилэтилтолуола в вакууме можно получить продукт, состоящий из 93% изопропилвинилтолуола и ~ 7% изопропенилэтилтолуола и винилизопропилтолуола.
- Показано, что легкость дегидрирования изопропильной группы по сравнению с этильной сохраняется в смесях этилтолуола и изопропилтолуола, а также и в изопропилэтилтолуоле.

## ЛИТЕРАТУРА

- Мамедалиев Ю.Г., Мамедалиев Г.М., Алиев С.М., Гусейнов Н.И. „Азерб. хим. журн.“, № 3, 1962.
- Мамедалиев Ю. Г., Мамедалиев Г. М., Алиев С. М., Гусейнов Н. И., ДАН Азерб. ССР, т. XIX, № 1, 1963.
- Мамедалиев Ю. Г., Топчиев А. В., Мамедалиев Г. М., Алиев С. М., Гусейнов Н. И. „Нефтехимия“, Ашхабад, 1962. Труды Среднеазиатского Всесоюзного совещания по нефт. и перераб. угл-ых газов.
- Мамедалиев Ю. Г., Алиев С. М., Гусейнов Н. И., ДАН Азерб. ССР, т. XX, № 5, 1964.
- Мамедалиев Ю. Г., Мамедалиев Г. М., Алиев С. М., Гусейнов Н. И. International Chemical Engineering, V. 4, № 3, 1964.
- Исмаилов Р. Г., Алиев С. М., Гусейнов Н. И., Гусейнов Р. И. „Азерб. хим. журн.“, № 6, 1967.
- Под редакцией Г. Клайна. Аналитическая химия полимеров, т. 1, 282—284. ИЛ., 1963.

## ИНХП

Поступило II. XII 1967

Р. Г. Исмаилов, С. М. Элиев, Н. И. Гусейнов, Р. И. Гусейнов

## Изопропилэтилтолуолун деңидрокенләшдирилмәси

## ХУЛАСЭ

„Стирол-контакт“ катализаторунун иштиракы илә „гајнар“ лај системинде изопропилэтилтолуолун деңидрокенләшдирилмәси тәдгиг едилмиш вә деңидрокенләшдирилмиш маддәләрин карбонидрокен тәркиби өфрәнилмишdir.

Аждынлашдырылышдыр ки, изопропилэтилтолуолун деңидрокенләшмиш мәһсулуудан, вакуум алтында ики дәфә дәгиг ректификасија етдикдә, тәркибиндә 93% изопропенилвинилтолуол, 7% изопропенилэтилтолуол вә винилизопропилтолуол олан маддә айырмаг мүмкүндүр. Изопропил группунун етил группа на көрә асанлыгы деңидрокенләшмәсинин етилтолуол вә изопропилтолуол гарышығында, еләчә дә этилизопропилтолуолда өз гүввәсүндә галмасы мүәјжән едилмишdir.

## ОРГАНИЧЕСКАЯ ХИМИЯ

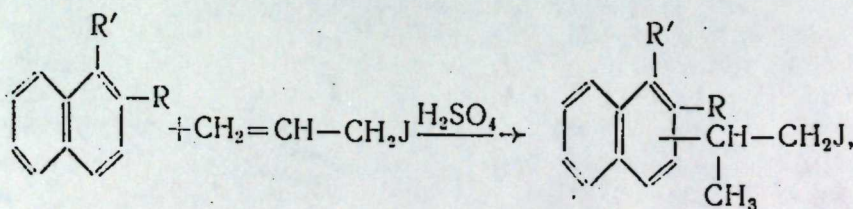
М. Н. МАГЕРРАМОВ, Ч. А. ЮСИФОВ, Ш. Т. АХМЕДОВ

ВВЕДЕНИЕ ЙОДИЗОПРОПИЛЬНОЙ ГРУППЫ В ЯДРО  
НАФТАЛИНА И ЕГО АЛКИЛПРОИЗВОДНЫХ

(Представлено Академиком АН Азербайджанской ССР Ф. Н. Гагиевым)

Галоидалкилароматические соединения с атомом галоида в боковой цепи в строго определенном положении являются доступными исходными продуктами для синтеза различных органических соединений, таких, как ароматические спирты, их сложные эфиры, альдегиды, амины, алкенилароматические углеводороды высокой степени чистоты и др. Они представляют также значительный интерес как соединения, обладающие комплексом ценных свойств.

Описанию различных методов получения галоидалкилпроизводныхmonoядерных ароматических углеводородов посвящен ряд работ и патентов [1—3]. Однако, судя по литературным данным, удобный способ для синтеза галоидалкилпроизводных многоядерных углеводородов не описан и до настоящего времени известны только единичные представители этого интересного класса соединений. Только недавно нами установлено, что  $\beta$ -хлортретичнобутилпроизводные нафталина,  $\alpha$ - и  $\beta$ -метилнафталинов легко получаются взаимодействием последних с хлористым металлилом в присутствии серной кислоты [4]. В продолжении наших прежних работ в области синтеза галоидалкилароматических соединений, в настоящем сообщении даются результаты исследования реакции нафталина,  $\alpha$ - и  $\beta$ -метилнафталинов с йодистым аллилом в присутствии серной кислоты. Результаты опытов показали, что йодистый аллил в присутствии серной кислоты хорошо реагирует с нафталином и его алкилпроизводными с образованием 1-йод-2-нафтилпропанов, с выходами 54—72%:

где 1)  $R'=R=H$ ; 2)  $R'=CH_3$ ,  $R=H$ ; 3)  $R'=H_1R=CH_3$ .

## ЭКСПЕРИМЕНТАЛЬНАЯ ЧАСТЬ

Исходные продукты реакции  $\alpha$ -,  $\beta$ -метилнафталин и йодистый аллил использовались в свежеперегнанном виде и имели физико-химические константы, близко совпадающие с литературными. Нафталин был взят марки „х.ч.“. Катализатором реакции служила серная кислота различной концентрации. Йодистый аллил был получен по известной методике [5]. Опыты проводились, как и ранее [4].

Подробно исследовалось влияние температуры от 0 до 30°, мольного отношения нафталина к йодистому аллилу от 2:1 до 6:1, концентрации  $H_2S_4$  от 92 до 96% и продолжительности опыта на ход реакции. Серная кислота бралась в количестве от 0,5 до 0,125 на 1 моль взятого ароматического углеводорода. Реакция проводилась в присутствии растворителя (н-гексан) и без него.

Наиболее подходящими условиями для получения максимальных выходов йодизопропилнафталина,  $\alpha$ - и  $\beta$ -метилнафталинов оказались: температура 15—20°, концентрация  $H_2S_4$  94%, количество ее 0,25 моля на 1 моль ароматического углеводорода, мольное отношение реагирующих компонентов 4:1 при общей продолжительности реакции 2,5 ч.

При отклонении указанных параметров реакции от их оптимального значения заметно изменяется выход целевого продукта.

В табл. 1 даются результаты характерных опытов по йодизопропилированию нафталина,  $\alpha$ - и  $\beta$ -метилнафталинов, проведенных при оптимальных условиях.

Таблица 1

Результаты характерных опытов по йодизопропилированию нафталина и его гомологов, проведенных при оптимальных условиях

Ароматические углеводороды	Взято, г			Условия опыта	Получено, г			Выход продукта йодизопропилирования от теории, %			
	Углеводороды	$C_3H_5J$	$(94\%) H_2S_4$		н-гексан	Температ., °C	Соотнош. углеводор. $C_3H_5J : H_2S_4$	Общ. продолж. реакц., ч	Органич. слой	Кислот. слой	Потери
Нафталин	64,0	21,0	12,25	100,0	15	4:1:1	2,5	175,0	17,5	2,75	54,0
$\alpha$ -метилнафталин	71,0	21,0	15,3	—	20	4:1:1,5	1,5	85,3	20,2	1,8	72,2
$\beta$ -метилнафталин	71,0	21,0	15,3	25	20	4:1:1,5	1,5	110,0	20,0	2,3	54,6

Как видно из табл. 1, при найденных условиях реакция йодистого аллила с нафталином и его алкилпроизводными идет хорошо и выхода целевых продуктов достигает 72% от теоретического.

Выявлено, что с йодистым аллилом наиболее легко реагирует  $\alpha$ -метилнафталин [72%]; нафталин и  $\beta$ -метилнафталин реагируют несколько менее энергично и выходы целевых продуктов приблизительно равны, т. е. составляют 54%.

Структура синтезированных соединений—1-йод-2-нафтилпропановами доказана снятием их ИК-спектров и химическим превращением.

Выявлено, что в спектре поглощения 1-йод-2-нафтилпропана имеется ярковыраженная полоса  $1378 \text{ cm}^{-1}$ , которая соответствует деформационным колебаниям C—H группы  $C—CH_3$ , в то время как деформационным колебаниям C—H группы  $-CH_2-$  соответствовала бы полоса около  $1465 \text{ cm}^{-1}$ . Характерная полоса  $1452 \text{ cm}^{-1}$  соответствует

антисимметричному деформационному колебанию С-Н группы  $\text{CH}_2\text{J}$ . Полоса  $523 \text{ cm}^{-1}$  в спектре поглощения снятого с помощью призмы KB<sub>r</sub> соответствует валентным колебаниям С-J.

Таблица 2

Физико-химические константы синтезированных йодизопропилароматических соединений

Формулы и название	Т. кип., °C при 1,5 мм рт. столба	$d_4^{20}$	$n_D^{20}$	$MR_D^*$		J, %	
				Найдено	Вычисл.	Найдено	Вычисл.
	146—148	1,5305	1,6581	70,96	68,30	42,71	42,90
	157—160	1,4882	1,6505	76,14	72,92	40,81	40,96
	155—157	1,4884	1,6515	76,14	72,92	40,77	40,96

\*  $E \sim 2,5$  для нафталина,  $\sim 3,2$  для метилинафталинов.

Таким образом, установлено, что йодистый аллил в присутствии серной кислоты взаимодействует с нафталином и его алкилпроизводными по двойной связи, строго соблюдая правило Марковникова (на спектре замещения типа С—С—С—J).

На базе йодизопропил производных нами были синтезированы спирты, их сложные эфиры и изопропенил производные нафталины,  $\alpha$ - и  $\beta$ -метилинафталинов.

Установлено также, что йодизопропильная группа вступает в основном в  $\alpha$ -положении нафталинового ядра (ярковыраженные полосы 814, 796 и  $774 \text{ cm}^{-1}$ ), полоса в области  $748 \text{ cm}^{-1}$  соответствует  $\beta$ -изомеру.

При изучении спектров было установлено, что в ИК-спектре поглощения йодизопропил- $\beta$ -метилинафталина имеются характерные полосы  $744$ ,  $810$  и  $826 \text{ cm}^{-1}$ , которые характеризуют наличие 1,2-диалкил замещенного нафталина; в спектре поглощения йодизопропил- $\alpha$ -метилинафталина были обнаружены ярковыраженные полосы  $748$ ,  $760$ ,  $784$ ,  $814$  и  $826 \text{ cm}^{-1}$ , которые соответствуют 1,5 и 1,4 диалкил производным нафталина.

### Выводы

1. Впервые проведена реакция йодистого аллила с нафталином,  $\alpha$ - и  $\beta$ -метилинафталиновыми в присутствии концентрированной серной кислоты.

2. Исследовано влияние температуры, мольного отношения реагирующих компонентов, количества, концентрации кислоты и продолжительности опыта на выход продуктов реакции.

3. Выявлено, что при найденных оптимальных условиях выходы продуктов йодизопропилирования нафталина,  $\alpha$ - и  $\beta$ -метилинафталинов составляют 54,0, 72,2 и 54,6% соответственно.

4. Исследовалась структура полученных продуктов при помощи ИК-спектроскопии и химическим превращением. Выявлено, что реакция йодистого аллила с нафталином  $\alpha$ - и  $\beta$ -метилинафталиновами идет по правилу Марковникова образованием 1-йод-2-нафтилпропанов.

### ЛИТЕРАТУРА

1. Магеррамов М. Н. Дисс. АГУ им. С. М. Кирова, 1963. 2. Мамедалиев Ю. Г., Бабаханов Р. А., Магеррамов М. Н. ДАН СССР, т. 152, № 3, 1963; Автогное свид. № 159817. 3. Патент США, 2 654 791; С. А. 48, 100 68а, 1954.
4. Гусейнов Д. А., Ахмедов Ш. Т., Магеррамов М. Н., Юсифов А. ДАН Азерб. ССР, № 10, 1966. 5. Letsinger R. L., Traunham J. G. J. Am. Chem. Soc. 70, № 8, 2818, 1948.

АГУ им. С. М. Кирова

Поступило 20. X 1967

М. Н. Мәһәррәмов, Ч. А. Юсифов, Ш. Т. Эһмәдов

Нафталин вә онун алкил төрәмәсинин нүвәсинә йодизопропил группун дахил едилмәси

### ХУЛАСЭ

Мәгаләдә нафталин,  $\alpha$ -вә  $\beta$ -метилинафталинин сульфат туршусунун иштиракы илә аллилјодидлә алкилләшмәси реаксијасындан бәһс едилмишdir. Тәдгигатда нафталин,  $\alpha$ -вә  $\beta$ -метилинафталинин алкилләшмәси реаксијасына температурун (0-дан  $30^\circ$ -ә гәдәр), компонентләрин нисбәт дәјишиклијинин (2:1-дән 6:1-ә гәдәр), туршунун мигдарынын вә үмуми реаксија мүддәтинин тә'сирі өјрәниләрәк оптималь реаксија шәраити тапылышдыр.

Мүәյҗәнләшdirилмишdir ки, оптималь реаксија шәраитинде нафталин,  $\alpha$ -метилинафталин вә  $\beta$ -метилинафталинин  $\beta$ -йодизопропил төрәмәсинин чыхымы мұвағиг олар 54,0; 72,2 вә 54,6%-и тәшкил едир.

Синтез олунмуш бирләшмәләrin гурулушу инфрагырмызы спектроскопија илә тәдгиг едилмишdir.

ОРГАНИЧЕСКАЯ ХИМИЯ

С. И. САДЫХ-ЗАДЕ, Э. М. ХАЛИЛОВА, Д. А. АШУРОВ

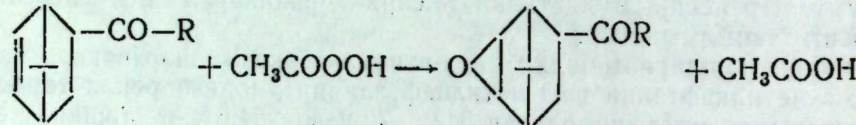
ОКИСЛЕНИЕ НПРЕДЕЛЬНЫХ БИЦИКЛИЧЕСКИХ КЕТОНОВ НАДУКСУСНОЙ КИСЛОТОЙ

(Представлено академиком АН Азербайджанской ССР М. Ф. Нагиевым)

Альдегиды и кетоны легко окисляются надкислотами до кислот и сложных эфиров, соответственно [1]. Мейноулд и другие показали, что при окислении надуксусной кислотой насыщенных бициклических соединений, содержащих карбонильную группу, в бицикле образуются лактоны [2–5].

С целью изучения относительной реакционной способности кратной связи и карбонильной группы в непредельных бициклических кетонах мы исследовали окисление бицикло-(2, 2, 1)-гептена-5-алкилкетонов-2 надуксусной кислотой.

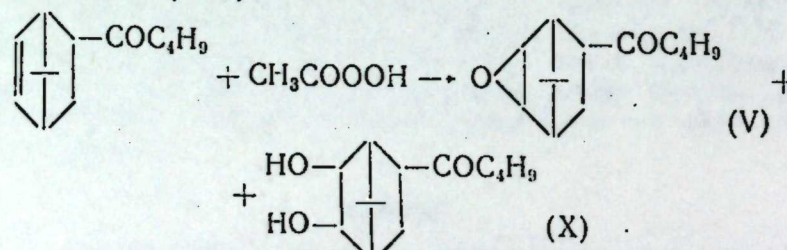
Исследование показало, что в этом случае окислению подвергается только кратная связь с образованием эпоксидных соединений по реакции:



R—CH<sub>3</sub> (I), —C<sub>2</sub>H<sub>5</sub> (II), —C<sub>3</sub>H<sub>7</sub> (IV), —iC<sub>3</sub>H<sub>7</sub> (IV), —C<sub>4</sub>H<sub>9</sub> (V), —iC<sub>4</sub>H<sub>9</sub> (VI).

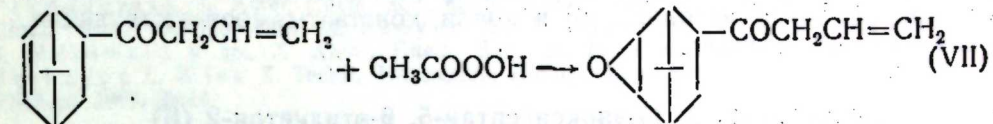
Наличие эпоксидного кольца в синтезированных соединениях доказывалось превращением в окси-ацетат, а наличие карбонильной группы реакцией с 2, 4-динитрофенилгидразином.

Найдено, что при удлинении времени реакции от двух до пяти часов, наряду с соответствующими окисями (60%) образуются бициклические диолы (30%).



Была изучена также относительная реакционная способность кратных связей в бицикло-(2, 2, 1)-гептена-5-аллилкетона-2 в реакциях

окисления надуксусной кислотой. Установлено, что при эквимолярном соотношении реагирующих компонентов в первую очередь эпоксидируется кратная связь, находящаяся в бицикле:



В ИК-спектрах (VII) были найдены частоты (1614, 993 см<sup>-1</sup>), характерные для концевой кратной связи, (846 см<sup>-1</sup>) для эпоксидного (1720 см<sup>-1</sup>) для карбонильной группы. При повторном окислении (VII) кольца и образуется диэпоксид.

С помощью газожидкостной хроматографии установлено, что полученные соединения состоят из смеси двух изомеров; так, при хроматографировании (II) получены пики в соотношениях 61,90 : 38,10, а при хроматографировании (III) — 62,54 : 37,46 соответствующие эндо- и экзоизомерам.

Аналогичное соотношение изомеров было найдено в исходных олефинах и соответствующих им окисях [6].

№	R	Вы- ход, %	Т. кип. Р. мм	$n_D^{20}$	$d_4^{20}$	$MR_D$		Найдено, % С   Н		Брутто формула	Вычис- лено, % С   Н
						найд.	выч.	C	H		
	CH <sub>3</sub>	78	101—102 6	1,4915	1,1338	38,91	39,40	70,90 71,42	7,84 8,30	C <sub>9</sub> H <sub>12</sub> O <sub>2</sub>	71,02 7,94
II	C <sub>2</sub> H <sub>5</sub>	79	91—91,5 3	1,4898	1,1012	43,62	43,81	71,80 72,12	8,80 8,32	C <sub>10</sub> H <sub>14</sub> O <sub>2</sub>	72,15 8,48
III	C <sub>3</sub> H <sub>7</sub>	79,2	108—109 4	1,4840	1,0769	47,90	48,44	73,21 73,19	9,02 8,92	C <sub>11</sub> H <sub>16</sub> O <sub>2</sub>	73,33 8,94
IV	iC <sub>3</sub> H <sub>7</sub>	87,2	90—91 2	—	—	—	—	73,52 73,36	8,58 8,76	C <sub>11</sub> H <sub>16</sub> O <sub>2</sub>	73,33 8,94
V	C <sub>4</sub> H <sub>9</sub>	80,4	115—116 1,5	1,4815	1,0592	52,25	52,53	74,20 74,46	9,16 9,03	C <sub>12</sub> H <sub>18</sub> O <sub>2</sub>	74,14 9,34
VI	iC <sub>4</sub> H <sub>9</sub>	84,7	114—115 4	1,4858	1,0493	53,13	52,53	74,50 74,25	9,77 9,31	C <sub>12</sub> H <sub>18</sub> O <sub>2</sub>	74,14 9,34
VII	CH <sub>2</sub> CH=CH <sub>2</sub>	82	120—121** 2,5	—	—	—	—	74,52 74,25	7,65 7,78	C <sub>11</sub> H <sub>14</sub> O <sub>2</sub>	74,12 7,92
VIII	CH <sub>2</sub> CH—CH <sub>2</sub>	30	135—137*** 1	—	—	—	—	68,61 68,54	7,12 7,16	C <sub>11</sub> H <sub>14</sub> O <sub>3</sub>	68,02 7,26

\* Т. пл. 79—80°C (из н.гептана).

\*\* Т. пл. 83—85°C (из н. гептана).

\*\*\* Т. пл. 75—76°C (из н. гептана).

## ЭКСПЕРИМЕНТАЛЬНАЯ ЧАСТЬ

Исходные продукты: бицикло-(2,2,1)-гептен-5-алкилкетоны-2 были синтезированы по методике [6] и имели константы, соответствующие указанным в методике.

### Бицикло-(2, 2, 1)-эпоксигептан-5, 6-этоксикетон-2 (II)

К 14 г (0,0954 м) бицикло-(2, 2, 1)-гептен-5-этилкетон-2 в 30 мл хлороформа приливают 10 мл (50%) надуксусной кислоты, поддерживая температуру реакционной смеси 15—20°C, после чего перемешивание продолжают при этой же температуре еще один час. Затем нейтрализуют 10%-ной содой, отделяют органический слой и перегонкой под вакуумом выделяют 12 г (II). Взаимодействием (II) с 2, 4-динитрофенилгидразином был получен соответствующий гидразон, т. пл. 133—134°C (из эт. спирта). Найдено, %: C—55, 72 —55, 43, H—5, 12 —5, 15. Вычислено для  $C_{16}H_{18}N_4O$ , %: C—55, 49, H—5, 25.

Аналогично получают бицикло-(2, 2, 1)-эпоксигептан-5, 6-метилкетон-2(1), бицикло-(2, 2, 1)-эпоксигептан-5, 6-пропилкетон-2(III), бицикло-(2, 2, 1)-эпоксигептан-5, 6-изопропилкетон-2(IV), бицикло-(2, 2, 1)-эпоксигептан-5, 6-бутилкетон-2 (V), бицикло-(2, 2, 1)-эпоксигептан-5, 6-изобутилкетон-2 (VI), бицикло-2(2, 2, 1)-эпоксигептан-5, 6-аллилкетон-2 (VII) и бицикло-(2, 2, 1)-эпоксигептан-5, 6-эпоксиаллилкетон-2 (VIII), элементарный анализ и физико-химические свойства, которые приведены в таблице.

#### Бицикло-(2, 2, 1)-гептаноксиацетат-5, 6-пропильтон-2 (IX)

Смесь 10 г (III) и 20 мл ледяной уксусной кислоты перемешивалась 8 ч при температуре 30—40°. Разгонкой выделено (IX), т. кип. 135—137°/1 мм,  $n_{D}^{20}$  — 1,4945,  $d_{4}^{20}$  — 1,1435,  $MR_D$  найд. 61,21, выч. 61,39. Выход 54%. Найд., %; C—65, 12—65, 23, H—8, 32—8, 22. Выч. для  $C_{13}H_{20}O_4$  %: C—64, 97, H—8,39.

### Бицикло-(2, 2, 1)-гептандиол-5, 6-бутилкетон-2 (X)

К 15 г (0,0854 м) бицикло-(2, 2, 1)-гептен-5-бутилкетона-2 в растворе хлороформа при комнатной температуре прикарпывают 20 г 40%-ной надкусусной кислоты, перемешивают 5 ч, после чего нейтрализуют содой и разгонкой выделяют 10 г (60%) (V) и 5 г (28%) (X) с т. кип. 145–146°/2 мм,  $n_{D}^{20}$  – 1,5015,  $d_{D}^{20}$  – 1,1315.  $MR_d$  найд. 55,27 выч. 55,99. Найд., %: С–68, 31–68, 12, Н–9, 14–9, 18. Выч. для  $C_{12}H_{20}O_3$ %: и С–67, 89, Н–9,14.

## Выводы

1. Изучено окисление непредельных бициклических кетонов. Установлено, что окислению подвергается только кратная связь.
  2. Найдено, что кратная связь, находящаяся в бицикле в бицикло-(2, 2, 1)-аллилкетоне-2, более реакционноспособна, чем кратная связь в боковой цепи.
  3. Полученные продукты состоят из смеси двух изомеров: эндо- и экзо- (62 : 38).

## ЛИТЕРАТУРА

1. Реакции и методы исследования орг. соед., 10, стр. 5, 1961. 2. Meinwald, Frauenglass, J. Amer. Chem. Soc., 82, 9, 5235, 1960. 3. Saucks R. R. J. Am. Chem. Soc., 81, 925, 1959. 4. Baeyer A., Villiger V. Ber., 32, 3625, 1-99. 5. Meinwald и др. J. Amer. Chem. Soc., 80, 23, 6303, 1959. 6. Kasper F., Zschegely J. Wiss Z. Techn. Hochschule chem. Leuna-Merseburg, 7, 4, 338, 1965. РЖХим, 1967, 3ж14.

СФ ИНХП АН Азерб. ССР  
им. Ю. Г. Мамеда-шева

Поступило 17. VI 1968

С. И. Садыгзадэ, Е. М. Хэлилова, Д. Э. Ашурев

## Дојмамыш битсиклик кетонларын наадиркэ туршусу илэ оксидләшдирилмәси

ХУЛАСЭ

Мәгаләдә битсиклоһептенилалкил (алкенил) кетонларын оксидләшмәсиндән бәһс едилir. Мүәjjән олунмушдур ки, бу оксидләшмә нәтиҗәсисинде мувағиғ епоксид бирләшмәләри алыныр.

Хромотографија үсүлөвінде ендө-ва екоизомерләрдин гарышының тәркибін анықтауда көмек көрсеткіштіктердің табиғатынан ишаралып, олардың молекулалық формаларынан да жариялана.

## ОРГАНИЧЕСКАЯ ХИМИЯ

Б. К. ЗЕЙНАЛОВ, Р. М. АЛИЕВ, Р. С. АЛИЕВ

СИНТЕЗ АЛКИЛ-ЦИКЛОГЕКСИЛОВЫХ ЭФИРОВ  
ДИЭТИЛЕНГЛИКОЛЯ

(Представлено академиком АН Азербайджанской ССР М. А. Даиним)

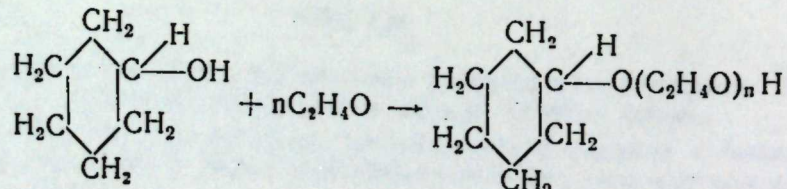
Продукты оксиэтилирования применяются в качестве поверхностно-активных веществ в производстве химических волокон, в текстильной и пищевой промышленности, а также и в лакокрасочной, как наполнители к фармацевтическим препаратам и в других целях.

Соединения, содержащие в своем составе активный атом водорода, легко соединяется с окисью этилена.

К таким веществам относятся жирные спирты, кислоты, алкилфенолы, алкилнафтолы, амиды, амины и другие соединения. Во всех случаях первичными продуктами реакции являются производные гликоля с реакционноспособной гидроксильной группой [1].

Оксигенирование кислородсодержащих алициклических углеводородов является почти неизученным. Исследования в области синтеза сложных эфиров на основе циклогексановых спиртов и синтетических высокомолекулярных кислот показали, что они являются высокоэффективными пластификаторами для полимерных материалов [3, 4, 5]. Продолжая работу в этом направлении нами проведено настоящее исследование по синтезу сложных эфиров на основе моноциклогексилового эфира диэтиленгликоля, получаемого путем прямого оксиэтилирования циклогексанола.

Результаты проведенных работ показали, что при оксиэтилировании циклогексанола наряду с моногликолевым эфиром циклогексанола образуется ди-, три-, тетра- и другие высшие полимеромологи согласно реакции:



Исходный моноциклогексиловый эфир диэтиленгликоля, применяемый нами при синтезе сложных эфиров, выделен из смеси полимер-

гомологов путем четкой расфракционировки, некоторые физико-химические показатели которого приводятся в табл. 1.

Г а б л и ц а 1

Т-ра кип., °С при ост. давл. (5 мм рт. ст.)	$d_4^{20}$	$n_D^{20}$	$MR_D$		Элементарный состав, %						Гидроксильное число		
			вы- чис. найд.	найд.	вычис. найд.			вычис. найд.			Вы- чис. найд.		
					С	Н	О	С	Н	О			
122—125	1,016	1,4660	51,39	51,19	63,79	10,70	25,51	65,0	10,80	24,2	9,03	8,37	

Для доказательства наличия  $\text{C}=\text{O}=\text{C}$ -связи в составе моноциклогексилового эфира диэтиленгликоля последний был подвергнут исследованию с помощью измерения ИК-спектров поглощения на приборе ИКС-14 в области призмы из хлорида натрия (рис. 1). Как видно из рисунка, в спектрах анализируемого вещества присутствуют характерные полосы валентных колебаний  $\text{C}=\text{O}=\text{C}$ -связи ( $1105 \text{ cm}^{-1}$ ).

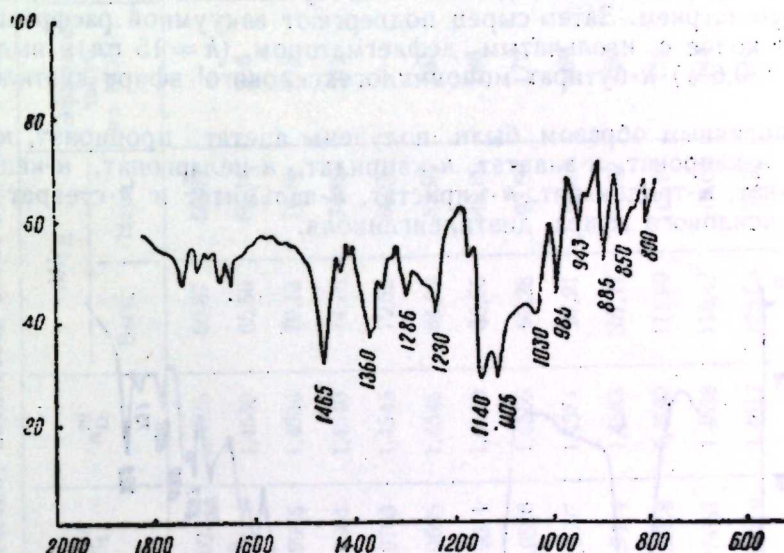
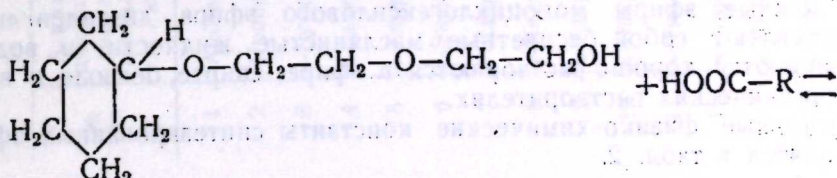
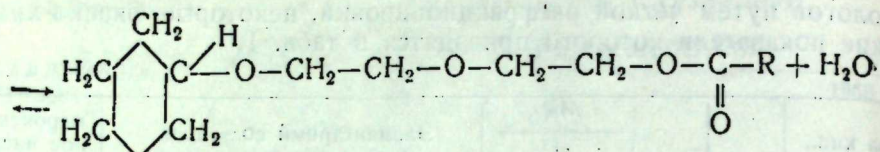


Рис. 1. ИК-спектры моноциклогексилового эфира диэтиленгликоля

Поскольку монометилового эфира диэтиленгликоля применяется в качестве мягчителя для производства целлюлозы, представляет особый интерес изучение пластифицирующих свойств алкилциклогексиловых эфиров диэтиленгликоля [2]. С этой целью нами осуществлялся синтез последних взаимодействием моноциклогексилового эфира диэтиленгликоля с индивидуальными монокарбоновыми кислотами, т. е. прямой этерификацией. Реакцию можно представить следующей схемой:





где R от  $\text{CH}_3$  до  $\text{C}_{17}\text{H}_{35}$

### Получение $\alpha$ -бутиратомоноциклогексилового эфира диэтиленгликоля

Смесь 9,14 г (0,05 г/моль) эфира диэтиленгликоля, 7,04 г (0,08 г/моль)  $\alpha$ -масляной кислоты, 0,18 г (2% по отношению к весу спирта) 96%-ной  $\text{H}_2\text{SO}_4$  и 35 мл толуола при перемешивании нагревают при 125—130°C в течение 3—4 ч до прекращения выделения воды, количество которой почти во всех случаях соответствовало теоретическому. После окончания реакции смесь охлаждают до 35—40°C, переносят в делительную воронку, промывают 2—3 раза теплой водой и нейтрализуют 5%-ным раствором едкого калия. Избыток щелочи промывают до отрицательной реакции. Эфирный слой отделяют и просушивают под безводным сернокислым натрием. Затем сырец подвергают вакуумной расфракционировке в колбе с игольчатым дефлегматором ( $h = 15$  см), выделяют 10,41 г (80,6%)  $\alpha$ -бутиратомоноциклогексилового эфира диэтиленгликоля.

Аналогичным образом были получены ацетат, пропионат,  $\alpha$ -валерианат,  $\alpha$ -капронат,  $\alpha$ -энантат,  $\alpha$ -каприлат,  $\alpha$ -пеларгонат,  $\alpha$ -капринат,  $\alpha$ -лауринат,  $\alpha$ -тридеканат,  $\alpha$ -миристат,  $\alpha$ -пальмитат и  $\alpha$ -стеарат моноциклогексилового эфира диэтиленгликоля.

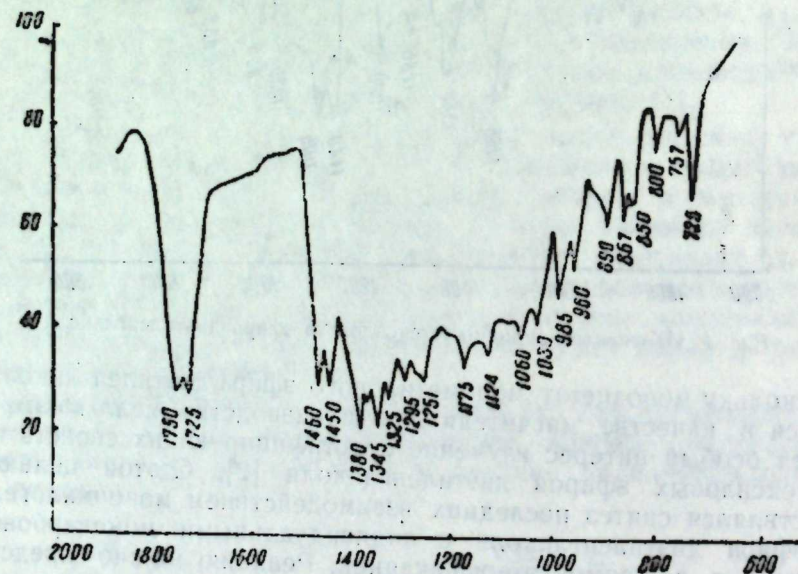


Рис. 2. ИК-спектры  $\alpha$ -каприната моноциклогексилового эфира диэтиленгликоля:

Сложные эфиры моноциклогексилового эфира диэтиленгликоля представляют собой бесцветные маслянистые жидкости, в воде не растворяются, хорошо растворяются в эфире, спирте, бензоле и в других органических растворителях.

Основные физико-химические константы синтезированных эфиров приводятся в табл. 2.

Таблица 2

Некоторые физико-химические показатели алкил-моноциклогексиловых эфиров диэтиленгликоля

№ пп	Алкил-моно- циклогекси- ловые эфиры диэтиленгли- коля	Т-ра кип. при ост. давл. 1,0 мм рт. ст.	$d_4^{20}$	$n_D^{20}$	$M_{R_d}$	Элементарный состав, %				Выход, %	
						Выч.	Найд.	С	Н		
1	Ацетат	114—115	1,023	1,4525	60,87	60,82	—	62,58	27,80	—	—
2	Пропионат	123—125	1,010	1,4530	65,50	65,38	256	63,64	9,90	26,46	63,20
3	$\alpha$ -Бутират	129—131	0,9965	1,4536	70,13	70,08	218	65,08	10,14	24,78	64,31
4	$\alpha$ -Валерианат	133—140	0,9864	1,4540	74,76	74,90	212	66,14	10,36	23,50	66,98
5	$\alpha$ -Капронат	149—151	0,9765	1,4545	79,39	80,06	—	67,09	10,55	22,36	67,45
6	$\alpha$ -Энантат	163—165	0,9695	1,4548	84,02	83,91	194	67,97	10,73	21,30	67,54
7	$\alpha$ -Каприлат	173—175	0,9611	1,4560	88,65	88,80	186	68,75	10,89	20,36	69,21
8	$\alpha$ -Пеларгонат	179—181	0,9526	1,4566	93,28	93,68	172	69,46	11,05	19,49	69,81
9	$\alpha$ -Капринат	185—187	0,9507	1,4571	97,91	98,05	169	70,13	11,18	18,69	70,6
10	$\alpha$ -Лауринат	203—205	0,9414	1,4583	107,17	107,02	160	71,30	11,42	17,28	—
11	$\alpha$ -Тридеканат	211—213	0,9368	1,4590	111,90	112,27	156	71,85	11,53	16,62	—
12	$\alpha$ -Миристат	222—225	0,9341	1,4598	116,43	116,64	144	72,28	11,63	16,09	—
13	$\alpha$ -Пальмитат	239—241	0,9279	1,4612	125,69	125,99	142	73,16	11,81	15,03	—
14	$\alpha$ -Стеарат	249—250	0,9231	1,4620	134,95	135,18	—	73,95	11,97	14,08	75,0

Из числа синтезированных эфиров—пропионат и  $\alpha$ -капринат моноциклогексилового эфира диэтиленгликоля был подвергнут спектральному исследованию с целью доказательства наличия  $C=O$ -связи и  $C=O$ -группы (рис. 2).

Анализ спектрограмм показывает, что в эфирах этого ряда присутствуют характерные полосы валентных колебаний  $C=O$ -группы в пределах  $1745-1725\text{ cm}^{-1}$ ;  $C-O$ -связи при  $1250-1195\text{ cm}^{-1}$ , и характеристические частоты  $C-O-C$ -связей, колеблющихся в пределах  $1124-1115\text{ cm}^{-1}$ .

## Выводы

1. Впервые осуществлена реакция этерификации между моноциклогексиловым эфиром диэтиленгликоля и монокарбоновыми кислотами, содержащими углеродные атомы от  $C_2$  до  $C_{18}$ .

Показатели этих эфиров ранее в литературе не приводились.

2. В синтезированных нами представителях измерением ИК-спектров поглощения доказано наличие валентных колебаний  $C-O-C$  и  $C=O$ -связей, а также  $C=O$ -группы.

## ЛИТЕРАТУРА

1. Шенфельд Н. Неноногенные моющие средства, 1965.
2. Thos H. Durrans Solvenis, 1931.
3. Зейналов Б. К., Алиев Р. М. „Азерб. хим. ж.“, № 1, 89, 1964.
4. Зейналов Б. К., Алиев Р. С., Алиев Р. М. „Азерб. хим. ж.“, № 1, 1967.
5. Алиев Р. М. Канд. дисс. ИНХП АН Азерб. ССР, 1966.

ИНХП

Поступило 22. VII 1967

Б. Г. Зеиналов, Р. М. Элиев, Р. С. Элиев

## Диетиленглюколун алкилсиклохексил ефирләrinин синтези

## ХУЛАСӘ

Тиклохексанолун этилен оксиди илә гарышлыглы тә'сириндән диетиленглюколун монотиклохексил ефири синтез олунмушdur.

Тәркибиндә 2-дән 18-ә гәдәр карбон атому олан јағлы сыра туршуларының диетиленглюколун монотиклохексил ефиринә тә'сириндән, башга сөзлә, бирбаша ефирләшdirмә реаксијасы нәтичесиндә мүрәккәб ефирләр синтез олунмуш вә онларын физики-кимjәви көстәричиләри тә'жин едилмишdir. Синтез олунмуш маддәләрин тәркибиндә  $C-O-C$ ,  $C-O$ -рабитәләринин вә  $C=O$  группунун варлығы онларын инфрагырымызы спектрләrinин удулмасының өлчүлмәси илә мүәjjәnlәshidiрилмишdir.

Апарылан тәдгигатлар нәтичесиндә әдәбијатда мә'лум олмајан 14 жени маддә синтез едилмишdir.

АЗЭРБАЙЧАН ССР ЕЛМЛӘР АКАДЕМИЈАСЫНЫН МӘРУЗӘЛӘРИ

ДОКЛАДЫ АКАДЕМИИ НАУК АЗЕРБАЙДЖАНСКОЙ ССР

ТОМ XXIV

№ 11

1968

## ГЕОФИЗИКА

В. З. СИМХАЕВ, А. Б. СУТУЕВ, С. С. САМЕДОВ

## МЕТОДЫ ИНТЕРПРЕТАЦИИ МАТЕРИАЛОВ ГЕОФИЗИЧЕСКИХ ИССЛЕДОВАНИЙ С УСЛОВИЯМИ ЗАЛЕГАНИЯ НЕФТИ, ГАЗА И ВОДЫ НА МЕСТОРОЖДЕНИЯХ СЕВЕРНОГО ДАГЕСТАНА

(Представлено академиком АН Азербайджанской ССР А. А. Якубовым)

Широкий размах поисково-разведочных работ на нефть и газ в равнинной части Дагестана увенчался успехом. Было открыто несколько месторождений, содержащих залежи нефти, газа и газоконденсата.

Продуктивный разрез представлен терригенными и карбонатными разностями с прослоями глин, коллекторские свойства которых варьируют в широких пределах.

При интерпретации геофизических характеристик с гидродинамическими исследованиями скважин и пластов, а также с результатами опробования, встречаются некоторые трудности.

Не всегда удается выявить характер продукции насыщающей пласт, так как истинное удельное сопротивление, характерное для продуктивной части разреза, в конечном итоге оказывается присущим водной части пласта (по данным опробования).

С целью более точной и объективной интерпретации геофизических параметров был проведен комплекс исследований по изучению физических свойств коллекторов.

Ранее [1] была установлена связь истинных удельных сопротивлений с фазовым заполнителем коллектора в условиях месторождений Северного Дагестана. Но это была лишь первая стадия наших исследований. Дальнейшее изучение электрической характеристики продуктивных отложений месторождений Бажиганской зоны столкнуло нас с новыми факторами, влияющими на электрофизическую характеристику коллекторов.

Так, например, в Бажигане повышенные сопротивления XII и XIII<sub>2</sub> пластов приурочены к „разрушенным“ залежам, а сопротивления XIII<sub>2</sub> пласта площадей Перекрестная и Равнинная — к „недонасыщенным“ залежам. Конечно, такое определение заключает в себе относительную оценку электрофизической характеристики пласта.

Более правильным будет изучение этих явлений с позиций свойств флюида как „смачивающая“ или „несмачивающая“ фаза, а также оценка коллектора с точки зрения гидрофильтности.

Существуют два варианта оценки смачиваемости (с вытекающими различными вариационными сочетаниями по величине насыщения и степени смачиваемости флюида): а) породы гидрофильные; б) породы гидрофобные. В олеофильных системах удельное сопротивление повышается относительно гидрофильных при одних и тех же значениях водонасыщенности. Следовательно, сама смачивающая характеристика вмещающих пород оказывает влияние на их удельное сопротивление. В значительной степени олеофильными можно считать песчаники XII пласта нижнего мела и карбонатный коллектор верхнекорских отложений (XIII, пл.) на Бажиганском поднятии. Эти породы отмечаются на каротажных диаграммах повышенным сопротивлением порядка 50–100 ом. Частично смачиваемыми нефтью коллекторами являются песчаники средней юры и нижнего мела, характеризуемые сопротивлениями порядка 3–15 ом.

В зависимости от степени нефтенасыщенности в смачиваемых нефтью породах относительное положение водяной и нефтяной фаз будет иметь зеркальное отображение по отношению к их расположению в породах, смачиваемых водой.

Независимо от того будут ли породы гидрофильными или гидрофобными величина нефтенасыщенности окажет влияние на удельное сопротивление. Необходимый учет этого параметра обязательно производится при определении водонасыщенности коллектора по формуле Арчи:

$$k_b = \sqrt[n]{\frac{\rho_b}{\rho_n}},$$

где  $k_b$  - водонасыщенность;

$\rho_b$  - сопротивление пласта, насыщенного водой;

$\rho_n$  - истинное удельное сопротивление исследуемой породы;

$n$  - показатель степени, характеризующий насыщение.

Величина  $n$  может быть определена экспериментальным путем.

Степень нефтенасыщенности структурной ловушки оказывается на характере кривой „насыщение—сопротивление“. Кривые, построенные для песчаных и карбонатных коллекторов в переходных нефтенасыщенных зонах имеют различные углы наклона, которые наименьшего значения достигают в зоне водонефтяного контакта. Значения истинных удельных сопротивлений колеблются в нефтегазовой зоне от 30 до 4 ом, а в водонефтяной зоне и на контуре от 2,5–0,5 ом. В зоне контурной зоны происходит снова возрастание угла наклона кривой, которая уже связывается не с нефтенасыщенностью, а со структурой порового пространства и ее водонасыщением. В этой области сопротивления возрастают от 0,5 до 20–30 ом. Уменьшение порового пространства, увеличение сцепленности пород с одной стороны, а также наличие следов остаточной нефтенасыщенности с другой,—приведет к увеличению удельного сопротивления. В зоне остаточного нефтенасыщения, а также в случаях „разрушенных“ залежей, глобулярное состояние воды, очевидно, не принимает участия в проводимости электричества, что, естественно, сопровождается повышенными значениями удельного сопротивления.

Таким образом, устанавливается связь между смачивающей характеристикой породы, степенью нефтенасыщенности и ее удельным сопротивлением.

В пределах продуктивного разреза коллекторы обладают пористостью различного типа, величины которых по данным промысловой геофизики определить трудно. В породах, обладающих пористостью различного происхождения, структура порового пространства неодинакова и весьма разнообразна в своем соотношении.

Возможны следующие варианты сочетания заполнения порового пространства нижнемеловых и юрских отложений продуктивного разреза:

- 1) коллектор полностью насыщен водой;
- 2) межзернистое пространство заполнено водой частично, а трещинное—целиком;
- 3) трещинное и межзернистое пространство частично заполнены водой;
- 4) межзернистое пространство полностью заполнено водой, а трещинное частично.

В каждом конкретном случае в зависимости от смачивающей способности породы и величины ее насыщения флюидом возможны различные варианты, характеризующие гидрофильность и гидрофобность пород.

Все многообразие описанных выше явлений дает возможность в каждом конкретном случае учитывать влияние этих основных параметров на величину удельного сопротивления, а также дать прогнозную оценку нефтегазонасыщенности ловушки.

Именно этот принцип учитывается нами при составлении профилей нефтегазоносности Прикумской области Дагестана. Причем приведенный принцип выделения нефтегазоносных и водоносных зон контролировался результатами опробования разведочных и эксплуатационных скважин.

С помощью рассчитанных истинных удельных сопротивлений определялись размеры залежей, ее нефтегазонасыщенность и эффективные мощности отдельных структур. Это все свидетельствует о том, что имея величины истинных удельных сопротивлений, можно показать условия залегания нефти, газа и воды в многопластовых месторождениях (типа дагестанских), а также вычислить некоторые физические параметры пласта.

Проведенные работы по интерпретации геофизических характеристик с гидродинамическими параметрами пласта дают соответствие этих видов исследований.

Используя результаты исследований на северодагестанских месторождениях можно с достаточной точностью провести интерпретацию геофизических характеристик с гидродинамическими параметрами пластов и их фазовыми заполнителями на нефтегазовых площадях Восточного Предкавказья.

## ЛИТЕРАТУРА

Сутуев А. Б., Олейник В. И., Симхаев В. З. Зависимость истинных сопротивлений продуктивных горизонтов от их фазового заполнения на месторождении Сухокумск. Труды ИГ, вып. 6, Махачкала, 1966.

Институт геологии

Поступило 31. I 1968

В. З. Симхаев, Э. Б. Сутуев, С. С. Сәмәдов

Шимали Дағыстан жатагларында нефт, газ вә сујун јашым шәрәити илә қеофизики материалларын интерпретасија үсуллары

## ХУЛАСЭ

Шимали Дағыстан жатагларында мәдән-кеофизики тәдгигин анализи иәтичесинде сұхурун исламма хассәси, нефтлә дојма дәрәчәси вә онун үсуси мұғавимәти арасында әлагәнин мөвчуд олдуғуну тә'жин етмәк мүмкүндүр.

ЛИТОЛОГИЯ

Ш. Ф. МЕХТИЕВ, М. З. РАЧИНСКИЙ

К ОЦЕНКЕ ВЛИЯНИЯ ЛИТОЛОГИИ ВМЕЩАЮЩИХ ПОРОД  
НА ХИМИЧЕСКИЙ СОСТАВ И МИНЕРАЛИЗАЦИЮ  
ПЛАСТОВЫХ ВОД В ПРОДУКТИВНОЙ ТОЛЩЕ  
АПШЕРОНСКОЙ НЕФТЕГАЗОНОСНОЙ ОБЛАСТИ

В ряде исследований, посвященных гидрохимии продуктивной толщи, констатирована прямая связь между величиной общей минерализации пластовых вод и глинистостью вмещающих пород (суммарная мощность глинистых пропластков в процентах от общей мощности интервала и содержание фракции  $< 0,01 \text{ мм}$ ) как в разрезах месторождений, так и по площади отдельных свит и горизонтов [1, 4, 11, 12, 16]. Этой взаимосвязью объяснялось также довольно частое явление перекрытия вод в разрезах некоторых площадей, приводящее к нарушению строгой закономерности уменьшения минерализации со стратиграфической глубиной. Исходя из этого, были даже предприняты попытки связать инверсионность гидрохимического профиля продуктивной толщи с литологической изменчивостью пород (разным содержанием глины) в верхнем (более глинистом) и нижнем ее отделах [7].

В основу указанного механизма связи минерализации пластовых вод с глинистостью вмещающих пород ставились явления катионного обмена между породой ( $\text{Ca}^{++}$ ) и водой ( $\text{Na}^{+}$ ) и выщелачивания обогащенных глинами и (якобы по этой причине) растворимыми солями пород в процессе фильтрации подземных вод. Постулировалось также, что более застойная гидрогеологическая обстановка в относительно более глинистых участках площади и интервалах разреза способствует более интенсивному обогащению пластовых вод растворимыми компонентами пород.

Согласно нашим исследованиям, увеличение минерализации пластовых вод на более глинистых участках разреза и площади всегда сопровождается и изменением их химического состава, выражаемымся в параллельном росте значений вторичной солености ( $S_2$ ) в среде жестких вод или уменьшении первичной щелочности ( $A$ ) в среде щелочных при обязательном уменьшении в том и другом случае первичной солености ( $S_1$ ).

Установленные факты с качественных позиций как будто вполне укладываются в теоретические рамки и фактические закономерности катионно-обменных процессов (если принять, что концентрация ра-

воренного натрия в водах и поглощенного кальция в породах и их соотношения в условиях продуктивной толщи всегда обуславливают направленность процесса в сторону перехода в раствор кальция), однако они не выдерживают критики в количественном отношении, поскольку катионно-обменные процессы никогда не ведут к росту минерализации—обмен ионами между водой и породой происходит строго в эквивалентных количествах [5, 14].

Если же принять за основу явления выщелачивания обогащенных глинами пород движущимися водами, что предполагает в первую очередь наличие соответствующих условий для их фильтрации, как известно, находящихся в обратной зависимости от глинистости вмещающих пород, то приходится констатировать, что глинистые (заглинизованные) породы обладают в этом отношении наименее благоприятными возможностями. Кроме того, экспериментами установлено [6, 14], что наиболее подвержены выщелачиванию песчано-алевритовые породы, где интенсивность процесса примерно в 1,5–1,7 раза выше, чем в глинистых отложениях. Следует указать также и на то обстоятельство, что в глинистых породах, в отличие от песчаных, значительно увеличена удельная поверхность зерен породы и роль молекулярного притяжения здесь особенно сильна. Вследствие адсорбции значительное количество ионов водных растворов оказывается удержаным на поверхности глинистых (коллоидальных) частиц породы, что со всей неизбежностью должно привести к уменьшению концентрации ионов в контактирующих с этими породами растворах. Это положение подтверждается специальными проведенными исследованиями [16].

Из изложенного ясно, что с позиций приведенных соображений не представляется возможным достаточно убедительно объяснить широко распространенный в отложениях продуктивной толщи факт увеличения минерализации пластовых вод на более глинистых участках разреза и площади. Более того, существующая картина распределения вод в рассматриваемом комплексе отложений в функции их глинистости находится в определенном противоречии с известными теоретическими положениями и экспериментальными данными. Это позволяет в свою очередь полагать, что в основе указанного факта лежат какие-то иные причины.

Причинные связи описываемой зависимости изменения концентрации пластовых вод от литологии вмещающих пород находят свое логичное объяснение в рамках развиваемых нами представлений о причинах и механизме формирования инверсионной гидрохимической зональности в продуктивной толще Апшеронской нефтегазоносной области [8, 9].

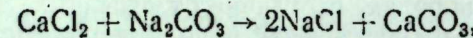
Сущность наших представлений, основанных на новой интерпретации известных фактов уменьшения минерализации и возрастания щелочности (уменьшения вторичной солености) вод сверху вниз по разрезу продуктивной толщи, увеличения минерализации и уменьшения щелочности (увеличения вторичной солености) в пределах одного горизонта (свиты) по погружению вкратце сводится к следующему.

Пластовые воды, залегающие ныне в продуктивной толще, являются смесями жестких хлоркальциевых рассолов, сингенетических вмещающим отложениям, с выедрившимися в них снизу по эруптивам грязевых вулканов, тектоническим нарушениям, трещинам, контактам диапировых внедрений, приуроченных преимущественно к сводовым наиболее напряженным участкам локальных структур, маломинерализованными щелочными водами гидрокарбонатнонатриевого типа, генетически связанными с подстилающими продуктивную толщу отложениями. Инъецируемые щелочные воды оттесняют собственно пластовые воды продуктивной толщи (хлоркальциевые рассолы) в погруженные участки

структур и разделяющие их синклинали, образуя по пути своего проникновения в пласты-коллекторы смеси вод со всеуменьшающимся в направлении падения пластов содержанием пришлого компонента.

Процесс смешения, протекающий при различных объемных соотношениях сингенетических и чужих вод, регулируется в каждом конкретном случае как по вертикали, так и по горизонтали приемистостью (проницаемостью) пластов и интенсивностью потока мигрирующих нижних щелочных вод. Понятно, что на участках с низкой проницаемостью возможности проникновения маломинерализованных щелочных вод будут ограничены по сравнению с участками, характеризующимися лучшими коллекторскими свойствами. Это приводит к тому, что долевое участие щелочных вод в смеси в этих зонах оказывается меньшим и, следовательно, минерализация и химический состав вод здесь будут отличными от таковых на участках, сложенных более проницаемыми коллекторами.

С точки зрения своего химизма процесс смешения хлоркальциевых и гидрокарбонатнонатриевых вод выглядит следующим образом:



т. е. по мере роста в смеси доли щелочных вод процесс идет в направлении уменьшения вторичной солености и возрастания первичной солености и, частично, первичной щелочности. Вполне естественно, что при уменьшении степени участия в смеси щелочных вод  $S_2$  будет возрастать, а  $S_1$  и  $A$  уменьшаться, т. е. будет иметь место описанная выше картина изменения состава и минерализации пластовых вод как по площади отдельных свит и горизонтов в пределах локальных поднятий, так и по разрезу продуктивной толщи в целом.

Из приведенных соображений становится ясно, что в описанном явлении изменения минерализации и состава вод в специфических гидрогеологических условиях продуктивной толщи основным определяющим (при прочих равных условиях) фактором является проницаемость коллекторов, обуславливающая те или иные количественные соотношения смешиваемых ингредиентов в процессе смешения сингенетических жестких вод с поступающими щелочными.

Поскольку между проницаемостью коллекторов продуктивной толщи и их глинистостью имеет место четкая обратная зависимость [2, 3, 15], то в свете всего изложенного становится совершенно очевидным, что влияние глинистости водовмещающих пород на состав и минерализацию пластовых вод оказывается лишь в рамках их проницаемости. Иными словами, увеличение глинистости приводит к уменьшению проницаемости (приемистости) коллекторов со всеми вытекающими из этого факта последствиями для динамики процесса смешения вод и его конечного результата на том или ином участке разреза или площади.

Наряду с влиянием фактора проницаемости коллекторов на описанные закономерности распределения в них пластовых вод по составу и минерализации, весьма велика в этом явлении роль литологической изменчивости (неоднородности) отложений продуктивной толщи по площади, выражаящаяся как в выклинивании отдельных песчаных прослоев и пачек и замещении их глинами, так и в изменении их мощностей. Действие этого фактора в физическом и химическом отношении аналогично влиянию проницаемости и также приводит к образованию туниковых относительно слабопромытых поступающими щелочными водами гидрохимических зон.

В качестве одного из многих фактических подтверждений всего изложенного можно привести данные по калинской свите месторождения Нефтяные Камни [3, 13], представленные на рисунке.

Из рисунка видно, что между глинистостью коллекторов, с одной стороны, и их проницаемостью и минерализацией пластовых вод, с другой, имеет место довольно четкая корреляция — с ростом глинистости уменьшается проницаемость и возрастает концентрация пластовых вод.

Аналогичное явление имеет место в свите VII и VIII гор. площади Карадаг, где в ряде скважин, расположенных в зоне выклинивания коллекторов, получены воды повышенной минерализации и с весьма специфическим химическим составом ( $A = 1 - 5\%$ , в ряде случаев даже присутствует  $S_2$ ), в то время как типично пластовые воды характеризуются пониженной минерализацией и являются щелочными [10].

Уместно отметить также, что в большинстве случаев на участках развития относительно концентрированных вод (на общем фоне менее минерализованных) продуктивность скважин, как правило, значительно ниже, что определяет, таким образом, связь химических показателей пластовых вод с проницаемостью коллекторов.

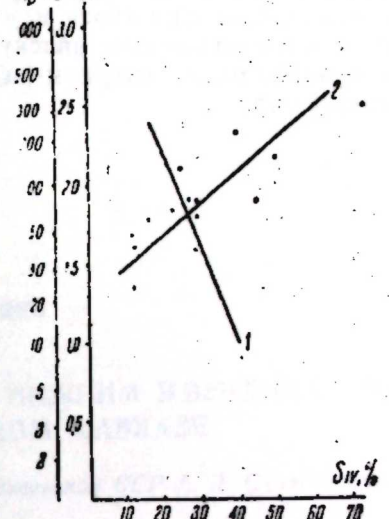


Рис. Зависимости между содержанием в породе фракции  $<0,01 \text{ мм}$  ( $S_{IV}$ ) ее проницаемостью ( $K_{pr}$ ) и минерализацией пластовых вод по КаС месторождения Нефтяные Камни:  
 1 —  $K_{pr} = f(S_{IV})$ ; 2 —  ${}^{\circ}\text{Be} = f(S_{IV})$

## ЛИТЕРАТУРА

- Багир-Заде Ф. М., Гумматов М. М., Бурашников А. Ф. Изв. высш. завед. "Нефть и газ", № 2, 1967.
- Буряковский Л. А., Самедов Ф. И. Геофизические методы изучения коллекторов Апшеронского архипелага. Азернешир, 1961.
- Буряковский Л. А. и др. "Геология нефти и газа", № 3, 1967.
- Гурбанов Р. А., Молдавский Б. С., Рачинский М. З. АНХ, № 2, 1966.
- Карцев А. А. Гидрогеология нефтяных и газовых месторождений. Гостехиздат, 1953.
- Кисин И. Г., Пахомов С. И. "Геохимия", № 3, 1967.
- Мелик-Пашаев В. С. АНХ, № 9, 1954.
- Мехтиев Ш. Ф., Рачинский М. З., Ахундов А. Р. "ДАН Азерб. ССР", т. XXII, № 9, 1965.
- Мехтиев Ш. Ф., Рачинский М. З. "Изв. АН Азерб. ССР, серия наук о Земле", № 1, 1967.
- Рачинский М. З. Вопросы гидрогеологии и гидрохимии газоконденсатных залежей Азербайджана в связи с их разработкой. Автореф. канд. дисс. Баку, 1965.
- Рачинский М. З., Фридман Д. Н., Черномордиков М. З., Шапиро Б. А. НТС "Нефтегазовая геология и геофизика", № 9, 1966.
- Самедов Ф. И., Ахундов А. Р., Рачинский М. З. АНХ, № 5, 1966.
- Самедов Ф. И., Буряковский Л. А. Нефтяная гидрогеология Апшеронского архипелага. Азернешир, 1966.
- Султанов В. А. Воды нефтяных месторождений СССР. ОНТИ, 1935.
- Султанов А. Д. Литология продуктивной толщи Апшеронского полуострова. Изд. АН СССР, 1958.
- Тамразян Г. П. АНХ, № 8, 1954.

Институт геологии

Ш. Ф. Мендиев, М. З. Рачински

Абшерон нефти-газлы вилајтинин Мәңсүллар гатынын лај суларынын кимјэви тәркибинә вә минераллашма дәрәчесинә сулу сүхурларын литологи тәркибинин тә'сирі һағында

## ХУЛАСӘ

Мәгаләдә Абшерон нефти-газлы вилајтинин Мәңсүллар гаты һоризонт вә лај дәстәләри кәсилишинин нисбәтән килли саһәләриндә лај суларынын минераллашма дәрәчесинин артмасы сәбәби шәрһ едилмишdir.

Мэ'лумдур ки, сularын минераллашма дэрэчэснийн бэ'зи јердэ артмасынын эсас сэбэби кэсилиш коллекторларынын кечиричилиji вэ литологи тэркибин мухтэлифлижидир. Бу чэнэтдэн киллилижин тэ'сири кечиричилижин дэйишмэсий илэ нэтичэлэнир вэ бунуна да мэхсулдар гатын минераллашмыш калсиум-хлорлу сularынын ашағыда Ётан аз минераллашмыш натриум-нидрокарбонатлы сular илэ гатышмасы чэтинлэшир.

Р. А. АЛИЕВ

## О ПОЛОЖЕНИИ ГРАНИЦЫ МЕЖДУ НИЖНИМ И ВЕРХНИМ АПТОМ НА ЮГО-ВОСТОЧНОМ КАВКАЗЕ

(Представлено академиком АН Азербайджанской ССР А. Д. Султановим)

На Юго-Восточном Кавказе отложения апского яруса имеют широкое распространение.

Первоначально эти отложения были включены К. И. Богдановичем [2] в состав „теребратулиновых слоев“ и „актинокамаксового горизонта“. При этом первые по возрасту считались сеноманскими, а вторые относились к границе турона и сенона. Затем Е. Штоллей [7], переопределив собранную К. И. Богдановичем фауну белемнитов, установил верхнеаптский возраст „актинокамаксового горизонта“ и апский возраст „теребратулиновых слоев“.

В 1931 г. М. Ф. Мирчинком [4] в „теребратулиновых слоях“ К. И. Богдановича была выделена Халчайская свита баррем-нижнего апта, а „актинокамаксовый горизонт“ был назван ханагинской свитой верхнего апта.

Исследованиями Н. Б. Вассоевича [3] и В. Е. Ханина [5] объем ханагинской свиты, с одной стороны, расширен по сравнению с первоначально установленным М. Ф. Мирчинком, путем включения из состава халчайской свиты септариевого горизонта (нижний апт) и, с другой стороны, сужен путем выделения самостоятельной Алтыагачской свиты (нижний альб) за счет верхних слоев ханагинской свиты.

Последующие исследования А. Г. Халилова [6] позволили ему отнести „септариевый гризонт“<sup>1</sup> к низам нижнего апта, а Ханагинскую свиту считать соответствующей верхней части нижнего апта, верхнему апту и нижней части нижнего альба.

Пестроцветная ханагинская свита по всей площади своего распространения выдерживает свой фациальный облик без существенных изменений. Она обычно выражена в глинистой литологии.

В нижней своей части свита целиком представлена зеленовато-серыми известковистыми глинами. Средняя часть ее выражена зелено-вато-серыми и бурыми глинами. Верхняя часть свиты состоит из зеленовато-серых, красных, оранжевых глин с прослоями белых, розо-

<sup>1</sup> При этом было предложено отказаться от этого термина, т. к. приуроченность септариев не связано с определенным стратиграфическим горизонтом.

вых, зеленовато-серых мергелей, серых алевролитов и песчаников, а также бурых песчанистых известняков.

В ханагинской свите встречается белемнитовая фауна.

В нижней части свиты содержится нижнеаптский комплекс видов: *Mesohibolites abkhasiensis* Krimh., *M. brevis* (Schwetz.), *M. minaret* (Rasp.), *M. moderatus* (Schwetz.), *M. uhligi* (Schwetz.), *Neohibolites clava tudarica* A. k. Aliz., *N. ewaldi* Stromb., *N. inflexus* Stoll., *N. montanus* A. k. Aliz., *N. strombecki* Müll. emend., *N. cairicus* Natz. и др. (данные А. Г. Халилова и Р. А. Алиева).

В средней части ханагинской свиты фауна белемнитов представлена видами, характерными для всего апта (*Neohibolites ewaldi* (Stromb.), *N. montanus* A. k. Aliz., *N. cairicus* Natz., *N. inflexus* Stoll.), а также видами, характерными для нижнего апта (*Neohibolites clava* Stoll.) или же баррема — нижнего апта (*Mesohibolites brevis* (Schwetz.), *M. minaret* (Rasp.), *M. uhligi* (Schwetz.).

Верхняя часть свиты внизу содержит общеярусные и верхнеапт-нижнеальбские формы: *Neohibolites strombecki* Müll. emend. Stoll., *N. wollemanni* Stoll., а в верхах — нижнеальбский комплекс белемнитов: *Neohibolites andrusovi* Natz., *N. minor* Stoll., *N. wollemanni* Stoll. (данные А. Г. Халилова).

Перечисленная фауна белемнитов позволяет в целом расчленить Ханагинскую свиту на отдельные части. При этом нижняя и средняя ее части могут быть отнесены к нижнему апту, а верхняя — к верхнему апту и низам альбского яруса.

Между тем, очень трудно по этим ископаемым установить точную границу между нижним и верхним аптом. Это объясняется тем, что белемниты неравномерно распределены в разрезе и находятся частично в коренном залегании. Большинство руководящих видов их характерно для обеих подъярусов апта. Поэтому в большинстве случаев граница между нижним и верхним аптом либо не проводится, либо устанавливается условно.

Эта задача успешно решается с помощью фауны аммонитов, имеющих большое значение в деле детального расчленения всех ярусов нижнего мела, в том числе и аптского яруса.

В 1962 г. нам удалось впервые обнаружить эти ископаемые [1].

В разрезе ханагинской свиты, снятом нами по р. Атакай, были встречены: *Euphyllloceras velleae* Mich., *Crioceratites elegans* Orb., *Epicheloniceras martini caucasica* Anth., *E. martini orientalis* Jac., *E. subnodosocostatum* Sinz., *E. tschernyschewi* Sinz. и др.

Этот комплекс видов позволил не только выделить здесь нижнюю зону верхнего апта — зону *Epicheloniceras subnodosocostatum*, но и самое главное — наметить на Юго-Восточном Кавказе довольно точную границу между нижним и верхним аптом.

Указанные аммониты были найдены в основании верхней части ханагинской свиты, выраженной чередованием зеленовато-серых, красных плотных глин с прослоями зеленовато-серых алевролитов.

В подстилающих и перекрывающих слоях эти ископаемые не были встречены. Следовательно, граница между нижним и верхним аптом на Юго-Восточном Кавказе проходит в основании верхней части ханагинской свиты. На местности эта граница может быть легко прослежена по появлению красных прослоев глин в разрезе ханагинской свиты.

Установление границ между нижним и верхним аптом на Юго-Восточном Кавказе имеет большое практическое значение. Оно позволит детально расчленить аптские отложения Юго-Восточного Кавказа не только в естественных обнажениях, но и в разрезах скважин отдельных нефтеносных площадей этой области.

## ЛИТЕРАТУРА

1. Алиев Р. А., Алиев Х. Ш., Порошина Л. А. О присутствии зоны *Epicheloniceras subnodosocostatum* на Юго-Восточном Кавказе. ДАН Азерб. ССР, т. XX, № 8, 1964.
2. Богданович К. И. Система Дибрара в Юго-Восточном Кавказе. Труды Геол. ком., вып. 26, 1906.
3. Вассоевич Н. Б. Новые данные о стратиграфии верхней юры и неокома северо-восточного Азербайджана. ДАН ССР, т. XXI, № 8, 1938.
4. Мирчук М. Ф. Стратиграфические соотношения палеогеновых и меловых свит на юго-восточном Кавказе. АНХ, № 2—3, 1931.
5. Халил Е. Разрез и фауна мезозоя юго-восточного Кавказа по данным новейших исследований. Труды Ин-та геологии АН Азерб. ССР, т. XIII, 1947.
6. Халилов А. Г. Стратиграфия нижнемеловых отложений юго-восточного окончания Большого Кавказа, 1965.
7. Stolle E. Zur Kenntnis der Kaukasischen Unterkreide. Centralbl. für Min., Geol. und Pal., 1908.

Институт геологии

Поступило 15. XI. 1966

Р. Э. Элиев

Чәнуб-шәрги Гафгазда алт вә үст  
аптын сәрһәддиннин вәзијәти һаггында

## ХУЛАСӘ

Чәнуб-шәрги Гафгазда алт мәртәбәсинә мәңсүб сүхурлар көниш яйылышыр. Лакин бу сүхурларда раст кәлән белемнитләrin кәсилиш үзрә гејри-бәрабәр яйылмасы вә һәмчинин ejni нөвләрин һәм үст вә һәм дә алт ярыммәртәбләрдә раст кәлмәси нәтичәсindә бу чөкүнтуләри ярыммәртәбләрә аյырмаг хејли чәтиналик төрәдир.

Бу мәсәлә аммонит фаунасы васитәсилә һәлл олунур. Мүәллиф 1962-чи илдә Атакай һөвзәсинин Алт яшлы сүхурларынын кәсилишиндә аммонит фаунасыны тапмышыр ки, бу да Чәнуб-шәрги Гафгазын Алт яшлы сүхурларыны ики ярыммәртәбәjә айырмаг вә онларын арасында сәрһәдди дәғиг кечирмәjә имкан верир. Бу сәрһәдд кәсилишдә гырызы кил лајыгларынын раст кәлмәси илә мүәjән едилir.

ПОЧВОВЕДЕНИЕ

И. Ш. ИСКЕНДЕРОВ

**ТЕПЛОТА ПРЕВРАЩЕНИЯ МИНЕРАЛОВ ИЛИСТОЙ ФРАКЦИИ ПОЧВ**

(Представлено академиком АН Азербайджанской ССР В. Р. Волобуевым)

Из учения А. Е. Ферсмана относительно энергетических процессов выветривания стало известно, что при объяснении ряда законов, связанных с процессами выветривания полезно учитывать энергетические критерии. В связи с этим, в последние годы появился ряд работ, посвященных изучению энергетики минералообразования в геохимических процессах [1, 2, 5, 6, 7, 8, 10, 11].

Изучение энергетических вопросов в почвоведении начато сравнительно недавно. Первые проведенные исследования в области энергетики почвообразования дали возможность В. Р. Волобуеву [3] сделать целый ряд важных выводов в этой новой области почвоведения. Уже сейчас, имеющиеся материалы дают основания полагать, что энергетический подход в понимании некоторых процессов, происходящих в почвах, приобретает особое значение при выяснении энергетического баланса почвообразования.

Энергетический баланс почвообразования, характеризуя различные природные явления, отличается сложностью. Определенная доля этого баланса принадлежит энергии, затрачиваемой на преобразование минералов почв [3].

Для решения этих вопросов в настоящее время отдается предпочтение исследованию энергии образования ряда минералов и выявлению теплоты превращения минералов, встречающихся в почве.

До настоящего времени дифференциальный термический анализ (DTA) используется главным образом как метод качественной и в ряде случаев количественной идентификации отдельных минералов почв [2, 4, 13]. Но с помощью DTA также можно определить количество тепла, поглощенное или выделенное в процессе превращения термоактивного компонента почв. В основу этого метода положено то, что площадь термического эффекта прямо пропорциональна количеству теплоты, поглощенному или выделенному в процессе превращения, происходящего в исследуемом веществе.

Тот факт, что в настоящее время DTA используется как метод для определения тепловых эффектов превращения, в литературе уже накоплено достаточно большое количество данных по определению теплот

превращения различных минералов. Для определения теплот превращения илистой фракции почв Кура-Араксинской низменности использованы многочисленные данные по тепловому эффекту различных минералов, определенных с помощью DTA, и сведенных в работе А. И. Цветкова и Г. О. Пилояна [12]. В отличие от других авторов, взятые нами данные температурные интервалы обобщены, а значение теплоты превращения для некоторых минералов усреднено.

Используя данные теплот превращения минералов по данным дифференциального термического анализа и учитывая минералогический состав илистой фракции почв Кура-Араксинской низменности [9], нами подсчитано количество теплоты превращения для гидрослюды, монтмориллонита, каолинита, хлорита и смешаннослоистых минералов, присутствующих в почве.

Теплота превращения минералов илистой фракции почв Кура-Араксинской низменности при нагревании до температуры 1000°C

№ разре-за	Название почв	Эф-фект	Г	М	К	Х	Си-сл.	Сум-ма	ΔH, кал/г
P-2	Лугово-сероземная солонцеватая Муганской степи	+	13,6 — 0,2	25,5 11,0 3,0	12,5 0,7 0,8	7,4 1,6 1,5	8,8 18,5 69,7	67,8 18,5 17,3	49,3 52,4
M-3	Сероземная почва Мильской степи	÷	17,5 — 2,2	21,4 9,3	14,2 3,6	8,6 0,8	8,0 1,5	8,0 74,6	18,9 56,8
P-5	Сероземно-луговая высокогумусная Ширванской степи	+	14,9 1,8	21,4 9,3	17,7 4,5	18,4 1,8	8,0 1,5	80,4 18,9	61,5
ИС-5	Каштановая почва Муганской степи	+	16,2 2,0	21,4 9,3	14,2 3,6	14,8 1,4	8,0 1,5	74,6 17,8	18,9
C-4	Лугово-сероземная солончаковая Сальянской степи	+	17,5 2,2	24,8 10,7	13,0 3,3	9,8 1,0	8,0 1,5	73,1 18,7	54,4
P-3	Сероземный солонец юго-восточной Ширвани	+	24,1 2,9	8,0 3,5	11,8 3,0	8,6 0,8	8,0 1,5	40,5 11,7	28,8
ИС-2	Лугово-сероземная Ширванской степи	+	26,0 3,2	4,7 2,0	14,2 3,6	12,3 1,2	4,0 0,7	61,2 10,7	50,5
ИС-7	Каштановая почва Муганской степи	+	26,0 3,2	16,7 7,2	7,1 1,8	8,6 0,8	1,6 0,3	60,0 1,3	46,7
K-1	Лугово-сероземная Ширванской степи	+	35,7 4,4	0,7 0,3	13,0 3,3	12,3 1,2	4,0 0,7	65,7 9,9	55,8
ИС-1	Лугово-сероземная Ширванской степи	+	32,5 4,0	— —	11,8 3,0	18,4 1,8	— —	62,7 8,8	53,9
P-4	Каштановая почва Карабахской степи	+	29,2 3,6	3,3 1,4	17,7 4,5	18,4 1,8	— —	68,6 11,3	57,3
T-7	Сероземно-луговая почва Ширванской степи	+	35,7 4,7	3,3 1,4	26,0 6,6	12,3 1,2	— —	77,3 13,6	63,7

Г—гидрослюда, М—монтмориллонит, К—каолинит, Х—хлорит, см.-сл.—смешаннослоистые.

Данные показывают, что в системе илистой фракции при нагревании происходит некоторый обмен энергией с окружающей средой. В таблице обозначено положительным знаком (+) все, что приходит в систему из внешней среды и отрицательным (-) все, что отдается из системы при нагревании.

Как видно, доля энергии, обозначенной положительными знаками, при превращении илистой фракции почв, намного больше, чем обозначенной отрицательными знаками. Так как эти значения зависят только от начального и конечного состояния системы и превращения происходят при постоянном давлении, следовательно, это количество энергии равно значению изменения энталпии системы ( $\Delta H$ ). Это значение

в иллюстрированной почве Кура-Араксинской низменности в пределах 46,7–63,7 ккал/г.

Если сопоставить энергию, приходящуюся на долю эндотермических и экзотермических эффектов, то отчетливо выявляются два ареала расположения точек, связанных с минералогическим составом иллюстрированной фракции (рисунок).

Верхний ареал расположения точек соответствует почвам с иллюстрированной фракцией, в которой преобладают минералы монтмориллонитовой группы, а нижний—преимущественно гидрослюдистые.

В итоге следует отметить, что при характеристике энергетики почвообразования, наряду с определением теплоты превращения, в дальнейшем, особое внимание следует уделять изучению энергетики кристаллических решеток и вычислению свободной энергии образования минералов почв.

Тепловые эффекты соответствуют эндотермическим и экзотермическим реакциям и обозначены знаками (+) и (–).

#### ЛИТЕРАТУРА

1. Белов Н. В. и Лебедев В. И. Источники энергии геохимических процессов. „Природа“, № 5, 1957.
2. Берг Л. Г. Введение в термографию. Изд.-во АН СССР, 1961.
3. Волобуев В. Р. Некоторые вопросы энергетики почвообразования. „Почвоведение“, № 7, 1958.
4. Горбунов Н. И. и др. Рентгенограммы, термограммы и кристаллизации минералов, встречающихся в почвах и глинах. Изд.-во АН СССР, М., 1952.
5. Гинзбург Н. И. К вопросу об энергетике процессов выветривания алюмосиликатов. Материалы III Пленума комиссии по изучению глин. М., Изд. АН СССР, 1961.
6. Гребенщиков Р. Г. Энергетика кристаллической решетки силикатов и теплоты образования кремнекислородных анионных радикалов. Ж. неорг. химии, т. IX, вып. 5.
7. Гаррельс Р. М. Термодинамика геохимических процессов. ИЛ, 1960.
8. Ермолаев М. М. Вычисление значения свободных энергий некоторых гипергенных минералов на основе предположения о стационарности химических потенциалов и концентраций главных элементов в водах мирового океана. В кн. „Кора выветривания“, вып. 7. М., 1966, Изд.-во „Наука“.
9. Искандеров И. Ш., Хеироев М. Б. Рентген-дифрактометрический метод диагностики глинистых минералов почв Кура-Араксинской низменности. Изд.-во АН Азерб. ССР.
10. Кери Р. Вайсброд. Основы термодинамики для минералов, петрографов, геологов. М. Изд.-во „Мир“, 11.
11. Ормонт В. Ф. О неточном использовании в литературе понятия энергии решетки и целесообразности введения энергии атомизации твердого тела. „Ж. физ. химии“, т. 31, 1957.
12. Цветков А. И., Пилюгин Г. О. Современные тенденции развития дифференциального термического анализа. Итоги науки: геохимия, минералогия, петрография, 1963. 1964. М., 1965 г.
13. Schafar G. M., Russel I. DTA as a quantitative measure of clay mineral content. „Soil Sci.“, 1942, 53, № 5.

Институт почвоведения  
и агрономии

Поступило 15. IV 1968

И. Ш. Искандеров

Торпагларының лил фраксијасы минералларында  
истилик чеврилмәләри

#### ХУЛАСӘ

Торпагемәләкәлмә просесләринин енергетикасы торпагшүнаслыгда  
јени саһә олуб, бир чох мәсәләләриң һәлләндә эһәмијәтли рол  
ојнајыр.

Торпагемәләкәлмә просесләринин енержи балансы бир сыра мұхтәлиф тәбии һадисәләрин тәзәһүр формасынан тәшкил олумушшур. Бу балансын мүәјжән һиссәснин торпаг минералларының ашымасына сәрф олумуш енержинин мигдары тәшкил едир.

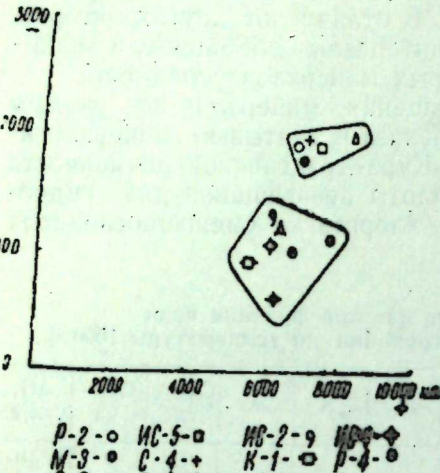
Торпаг минералларының ашымасына сәрф едилән енержинин тәјининде минералларын кристаллик шәбәкәснин енержиси, јени әмәлә кәлмиш торпаг минералларында енержи формалары вә минералларда кедән бә'зи истилик чеврилмәләрин тәдгиг етмәк мүһүм мәсәләләрдәндир.

Мәгәләдә Күр-Араз дүзәнлиги торпагларының лил фраксијаларында баш верән истилик чеврилмәләрин тәдгигинин нәтичәләри, шәрһедилмишdir.

Әдәбијатда олан дифференциал гыздырма әјриләри, васитәсилә тапылмыш мұхтәлиф минералларын истилик чеврилмә рәгемләри илә торпагларын лил фраксијаларында олан минералларын мигдары туруштурулмуш вә онларын әсасында истилик чеврилмәләринин енержиси несабланмышдыры.

Тәдгигаттар көстәрир ки, Күр-Араз дүзәнлиги торпагларының лил фраксијасы минералларында истилик чеврилмәләринин мигдары 46,7–63,7 ккал/г арасында тәрәддүд едир.

Бундан башга, айдынлашдырылышдыры ки, торпагемәләкәлмә просесләринин енержисинин тәдгигинде минералларын кристаллик шәбәкәснин енержиси вә сәрбәст минерал әмәләкәлмә енержисинин кәләчәкдә өјрәнилмәснә хүсуси фикир верилмәлидир.



ФИЗИОЛОГИЯ ЖИВОТНЫХ

Д. И. МУГАНЛИНСКАЯ

ВАЖНЫЕ ВОПРОСЫ ПОВЫШЕНИЯ СОДЕРЖАНИЯ  
ЖИРА, БЕЛКА И ВИТАМИНА А В МОЛОКЕ  
КОРОВ СОВХОЗОВ АПШЕРОНА

(Представлено академиком АН Азербайджанской ССР Д. М. Гусейновым)

Содержание жира, белка и витамина А в молоке коров совхозов Апшерона мы изучили при существующем неполноценном кормлении молочного скота.

В табл. 1 приводим результаты анализов по содержанию жира и белка в молоке коров совхозов Апшерона за 1962—1965 гг.

Как видно из данных таблицы, в 1965 г. по сравнению с 1962 г. увеличилось число совхозов, коровы которых имеют в молоке высокое содержание жира и белка.

Это объясняется увеличением породного состава совхозов за счет бурой латвийской, черно-пестрой эстонской, красной эстонской, бурой кавказской пород, отличающихся в условиях Апшерона высокой жирностью и высоким содержанием белка в молоке.

Наряду с этим, неполноценное кормление и существующий обильно-концентратный тип кормления молочного скота в большинстве совхозов является причиной малого содержания жира и белка в их молоке.

В среднегодовой структуре рационов совхозов Апшерона грубые корма составляют 17,7% (в том числе сена 6%), сочные—16,8% (зеленые лишь 9%), а концентраты—66,6%.

Расход концентратов на 1 кг молока составляет 876 г. Жировая питательность рациона составляет лишь 3%. Углеводистая питательность рациона высокая—78% (из коих клетчатки—24%, — крахмала—52% и только 2% сахара). Сахаропротеиновое отношение равно 0,121; отношение  $\frac{Ca}{P} = 0,7$ ; каротиновая необеспеченность составляет

36%, имеется избыток фосфора при недостатке кальция. Последнее компенсируется дачей мела, солью коровы обеспечены.

По нашим исследованиям, используемые в рационах все образцы сена и хлопковая шелуха бедны микроэлементами: В, Mn, Cu, Mo, Zn, Co, Fe, J. Лишь морковь и ботва столбовой красной моркови при

недостатке указанных микроэлементов вполне достаточно содержит только В, Zn.

Таблица 1

Апшеронское районное производственное управление сельского хозяйства

№ пп	Совхозы	Годы			
		1962	1963	1964	1965
		% жира % белка	% жира % белка	% жира % белка	% жира % белка
1	Саранинский виноградно-молочный совхоз	—	3,7/—	3,4/—	3,5/—
2	Алты-Агачский животноводческий совхоз	—	—	4,0/2,06	3,9/2,02
3	Кильянинский молочный совхоз	—	3,8/1,99	3,9/2,02	3,9/2,02
4	Шурабадский	—	3,6/1,93	3,6/1,93	3,8/1,99
5	Хизинский	—	3,9/2,02	3,8/1,99	4,0/2,06
6	Кобийский овцеводческий совхоз	3,8/1,99	5,5/2,8	3,6/1,93	4,1/2,09
7	Хурдаланский молочно-овощеводческий совхоз	3,9/2,02	3,7/1,96	3,5/1,89	3,5/1,89
8	Апшеронский молочно-животноводческий совхоз	3,4/1,86	3,4/1,86	3,4/1,86	3,4/1,86
9	Апшеронский виноградный совхоз	—	3,5/1,89	3,7/1,96	3,7/1,96
10	Мамедлинский молочно-овощной совхоз	3,3/1,83	3,4/1,86	3,4/1,86	3,5/1,89
11	Кобыстанский овцеводческий совхоз	—	4,0/2,06	4,2/2,12	4,2/2,12
12	Зыринский овоще-молочный совхоз	3,3/1,83	3,5/1,89	3,4/1,86	3,6/1,93
13	Гоусанский молочный совхоз	3,4/1,86	—	3,4/1,86	3,3/1,83
14	Апшеронский свинооткормочный совхоз	3,7/1,96	3,6/1,93	3,6/1,93	3,6/1,93
15	Туркинский виноградный совхоз	—	3,8/1,99	—	—
16	Маштагинский овоще-молочный совхоз	3,4/1,86	3,4/1,86	3,6/1,93	3,5/1,89
17	Бузовининский молочно-овощной совхоз	3,5/1,89	3,4/1,86	3,6/1,93	3,5/1,89
18	Фатманинский совхоз	3,4/1,86	—	—	—
19	Новханининский совхоз	3,5/1,89	—	—	—
20	Маштагинский виноградный совхоз	3,8/1,99	—	—	—
21	Бакмолжинсовхоз	3,4/1,86	—	—	—

Ботва кормовой свеклы в достатке содержит В, Mn, Cu. Комбинированные корма при насыщении указанными микроэлементами тоже содержат их в достаточном количестве.

Как видно из нашего анализа, структуры рационов совхоза Мамедли (табл. 2) значительно хуже Хурдаланского совхоза (табл. 3).

В рационе молочных коров фермы № 1 Мамедлинского совхоза наблюдается полное отсутствие сочных и зеленых кормов. Грубые корма без сена составляют всего лишь 3%, концентрированные—97%. На 1 кг молока приходится 1363 г концентратов и на 1 к. е. 232 г переваримого протеина. В рационе каротина недостает на 94%. Имеется избыток фосфора при недостатке кальция.

Содержание сахара и клетчатки близко к данным Хурдаланского совхоза за 1966 г. Однако сухого вещества больше, чем в кормах коров Хурдаланского совхоза за 1964—1966 гг.

Таблица 2

Структура и питательность рационов коров фермы № 1  
Мамедлинского совхоза Апшерона

Показатели рациона	Март—апрель 1966 г.
<b>Структура рациона (в % от питательности):</b>	
Грубых	3
Сочных	0,0
Зеленых	0,0
Концентрированные	97
Сухое вещество рациона (кг)	8,600
Содержится в сухом веществе (%):	
углеводы	72
В том числе: клетчатка (%)	19
Без. аз. эк. в. (%)	53
В том числе: сахар (%)	3,4
жир (%)	3,1
Недостаток (—) или избыток (+) Са (г)	-19,5
(+) Р (г)	+31,5
Отношение Са к Р	0,3
Отношение сахара к протеину	0,09
На 1 к. е. переваримого протеина (г)	232
На 1 кг молока концентратов (г)	1363
Избыток (+) или недостаток (—) каротина (мг)	-201
(+)                 (—)                 (%)	94
Микроэлементы (B, Mn, Cu, Mo, Zn, Co, Fe, J) в хлопковой шелухе, шроте, зерновых отходах (+—)	—
В комбикорме при добавке микроэлементов (+—)	+

Таблица 3

Среднегодовая структура и питательность рациона коров Хурдаланского овоще-молочного совхоза Апшерона за 1964—1966 гг.

Показатели рациона	1964 г.	1965 г.	1966 г.
<b>Структура рациона (в % по питательности):</b>			
Грубых	35	18	15
В том числе сена	14	6	8
Сочных	10	17	11
Зеленых	8	0,9	13
Концентрированных	46	67	62
Сухое вещество рациона (кг)	6,855	7,745	8,319
Содержится в сухом веществе (%):			
Углеводы	1	1	1
В том числе—клетчатки (%)	84	78	73
Без аз. эк. в. (%)	30	24	20
В том числе сахар (%)	54	54	53
Жир (%)	2,7	2	5
Недостаток (—) или избыток (+) Са, г	—4,4	-0,35	+27,32
(+) Р, г	+1,0	+9,33	+30,36
Отношение Са к Р	1,2	0,7	1,1
Отношение сахара к протеину	0,205	0,121	0,235
На 1 к. е. переваримого протеина (г)	103	174	188
На 1 кг молока концентратов (г)	666	876	1000
Избыток (+) или недостаток (—) каротина в мг	-146	-59	+197
Микроэлементы (B, Mn, Cu, Mo, Zn, Co, Fe, J) в соломе, сене, хлопковой шелухе (—),	—	—	—
в комбикормах при добавке (+)	+	+	+

Микроэлементами частично обеспечены коровы за счет комбикормов при условии их насыщения таковыми.

Таким образом, рационы коров совхоза Мамедли неполноценны в значительной степени, чем Хурдаланского овоще-молочного совхоза.

Но при этом живой вес коров и суточные удои выше данных Хурдаланского овоще-молочного совхоза, что объясняется относительно большим количеством сухого вещества в рационе (8600 г в Мамедлинском против 6855—8319 г в Хурдаланском).

Содержание жира в молоке коров Мамедлинского совхоза (3,4%) значительно ниже данных Хурдаланского совхоза (3,6%). Это следствие неполноценного кормления при имеющем место недостатке племенной работы в улучшении жирно-молочности стада коров совхоза.

Мы изучили влияние сухого рациона (состоящего из комбикорма, шрота, хлопковой шелухи и мельничных отходов) на образование белка, витамина А каротина в молоке коров Мамедлинского молочно-овощного совхоза.

Суточный рацион подопытных коров (апрель 1966 г.) состоял из 4 кг комбикорма, 1 кг шрота, 1 кг хлопковой шелухи и 4 кг (30%) мельничных отходов (табл. 2).

В марте—апреле 1966 г. на ферме № 1 совхоза было 243 дойных коровы, каждая с удоем 1620 кг при средней жирности 3,4% и среднем живом весе 380 кг.

Среднесуточные удои коров составляли 6,6 кг при расходе концентрированных кормов на 1 кг молока—1,5 кг, а грубого корма в суточном рационе всего было 1 кг (хлопковая шелуха, без сена и соломы).

В этом совхозе (ферма № 1) анализ молока был произведен у 20 коров утреннего удоя разных пород данной зоны 11,19,26 апреля 1966 г. Белок определялся по методике Шульца с некоторыми видоизменениями.

Из 2 коров 11 принадлежали бурой латвийской породе, 5—черно-пестрой эстонской, 3—красной эстонской и одна—симментальской породе.

Результаты наших анализов по породам суммированы в табл. 4.

Таблица 4

Содержание белка, витамина А, каротина в молоке коров разных пород Мамедлинского совхоза

Порода	Содержание белка в молоке, %	Витамин А, мг/кг	Каротин, мг/кг
Бурая латвийская	3,21	0,05	Следы
Черно-пестрая эстонская	3,10	0,07	•
Красная эстонская	3,11	0,04	•
Симментальская	2,81	0,05	•

Анализ данных табл. 4 при том же кормлении показывает, что породные различия оказывают влияние как на процентное содержание белка в молоке, так и на накопление витамина А.

При существующих условиях кормления по содержанию белка на фоне остальных пород выигрышно отличается бурая латвийская порода, а по накоплению витамина А—черно-пестрая эстонская.

Таким образом важными вопросами повышения содержания жира, белка и витамина А в молоке коров Апшерона являются: подбор соответствующих пород для этих условий; структура рациона, взаимодействие ингредиентов рациона; активирование жизнедеятельности микрофлоры преджелудков путем лучшего обеспечения их факторами полноценного кормления; наряду с отрицательным влиянием высокополноценного кормления.

концентратного типа кормления и учет физиологического влияния необеспеченности углеводным питанием и наконец уровень кормления, качество и количество кормов (сено, силос, корнеплоды).

Институт физиологии

Поступило 28. IX 1967.

Д. И. Муганлианскаја

Абшерон совхозлары инәкләринин сүдүндә јағын, зұлалын вә А витамины мигдарынын артырылмасынын мүнум мәсәләләри

ХУЛАСӘ

Дөрд ил мүддәтиндә Абшерон совхозлары инәкләринин сүдүндә олан јаф вә зұлалын тәркибини там гијметли олмајан јем пајлары әсасында мүајинә етдик. Соңралар икى совхозун (Мәммәдли сүдчүлүк-тәрәвәзчилик вә Хырдалан тәрәвәзчилик-сүдчүлүк) инәкләринин сүдүнүн тәркибиндә олан јаф фаизини вә зұлалы өjrәндик. Мәммәдли совхозунун (1 №-ли ферма) 20 мұхтәлиф чинсә мәнсуб инәйинин сүдүнүн тәркибиндә гуру јем пајындан асылы оларат (1 кг сүдә 1,5 кг гүввәли јем, аз мигдарда гуру от) зұлалын, А витамины вә каротинин дәјишишмәсіни мүәjжәнләшdirдик.

Тәдгигатлар көстәрир ки, Абшерон совхозларынын инәкләринин сүдүндә јағын, зұлалын, А витамины мигдарынын артырылмасынын мүнум мәсәләләри Јерли шәрантә уjғун олан чинс инәкләр илә әлагәлидир. Бундан башга, инәкләрин сүдүнүн тәркибиндә јағын, зұлалын, А витаминын артырылмасы јем пајынын тәркиби, там гијметли јемләндирмә, јемләмәнин сәвијәси, јемләрин кејфијјәт вә мигдары илә әлагәдарды.

АЗЭРБАЙЧАН ССР ЕЛМЛӘР АКАДЕМИЈАСЫНЫН МӘРУЗӘЛӘРИ

ДОКЛАДЫ АКАДЕМИИ НАУК АЗЕРБАЙДЖАНСКОЙ ССР

ТОМ XXIV

№ 11

1968

АНАТОМИЯ РАСТЕНИЙ

Ш. Г. ДАДАШЕВА

СТРУКТУРА КСИЛЕМЫ ЛИСТА И СТЕБЛЯ НЕКОТОРЫХ  
КСЕРОФИТОВ АЗЕРБАЙДЖАНА

(Представлено академиком АН Азербайджанской ССР И. К. Абдуллаевым)

Сравнение ксилемы стебля и листа в очень широком масштабе проводилось В. Чидлом (Chidle, 1943, 1953, 1955) для однодольных растений. Им было установлено, что между трахеальными элементами корня, стебля и листа у однодольных растений имеются достаточно резкие отличия, причем в листьях всегда отличаются трахеиды и сосуды более примитивного типа, чем в стеблях и корнях. Для двудольных древесных растений аналогичные наблюдения (но на материале одного рода—дуба) были сделаны Шимаджи (Shimagi, 1955). Относительно недавно А. Я. Штромберг (1958, 1960, 1961) подтвердила, что ксилема в листьях двудольных растений отличается от ксилемы стебля, причем эти отличия, в частности, заключаются в отставании структурной специализации элементов ксилемы листа от специализации в стебле. Материал, исследованный этим автором относится к обычным мезофитным древесным и отчасти травянистым растениям. Было интересно проследить, насколько этот разрыв в эволюционной подвижности листа и стебля существует у ксерофитов, для которых, как было отмечено ранее Ш. Г. Дадашевой (1962, 1963), вообще характерна высокая структурная специализация водопроводящей системы.

С этой целью нами была исследована ксилема главной жилки зрелого листа, однолетних побегов и зрелой древесины стебля 23-х видов (см. список растений), кустарниковых растений, произрастающих в пустынях и полупустынях Азербайджана.

Anacardiaceae

1. *Rhus coriaria* L.

Chenopodiaceae

2. *Eurotia ceratoides* (L.) C. A. M.
3. *Halostachys caspica* (Pall.) C. A. M.
4. *Kalidium caspicum* (L.) Ing. Sternb.
5. *Kochia prostrata* (L.) Schrad.

6. *Noaea mucronata* (Forsk) Asch. Schiweil.
7. *Salsola ericoides* M. B.
8. *Salsola glauca* M. B.
9. *Salsola dendroides* (C. A. M.) Mog.
10. *Suaeda microphylla* Pall.
11. *Suaeda dendroides* (C. A. M.) Mog.
12. *Salsola nodulosa* (Mog.) Iljin.

Compositae

13. *Artemisia fragrans* Willd.

Elaeagnaceae

14. *Elaeagnus angustifolia* L.

Leguminosae

15. *Caragana grandifolia* (M. B.) Fedtsch. D. C.

16. *Prosopis farctum* (Banks et Sol.)-*Lagonychium* Bobr.

Moraceae

17. *Ficus carica* L.

Polygonaceae

18. *Atraphaxis spinosa* L.

Rhamnaceae

19. *Rhamnus pallasii* F. et M.

Rosaceae

20. *Amygdalus fenzlina* (Fritsch.) Lipsky.

Solanaceae

21. *Lycium ruthenicum* Murr.

Tamaricaceae

22. *Reaumuria hypericoides*.

23. *Reaumuria persica* Boiss.

Ulmaceae

24. *Celtis glabrata* Stev.

Lygophyllaceae

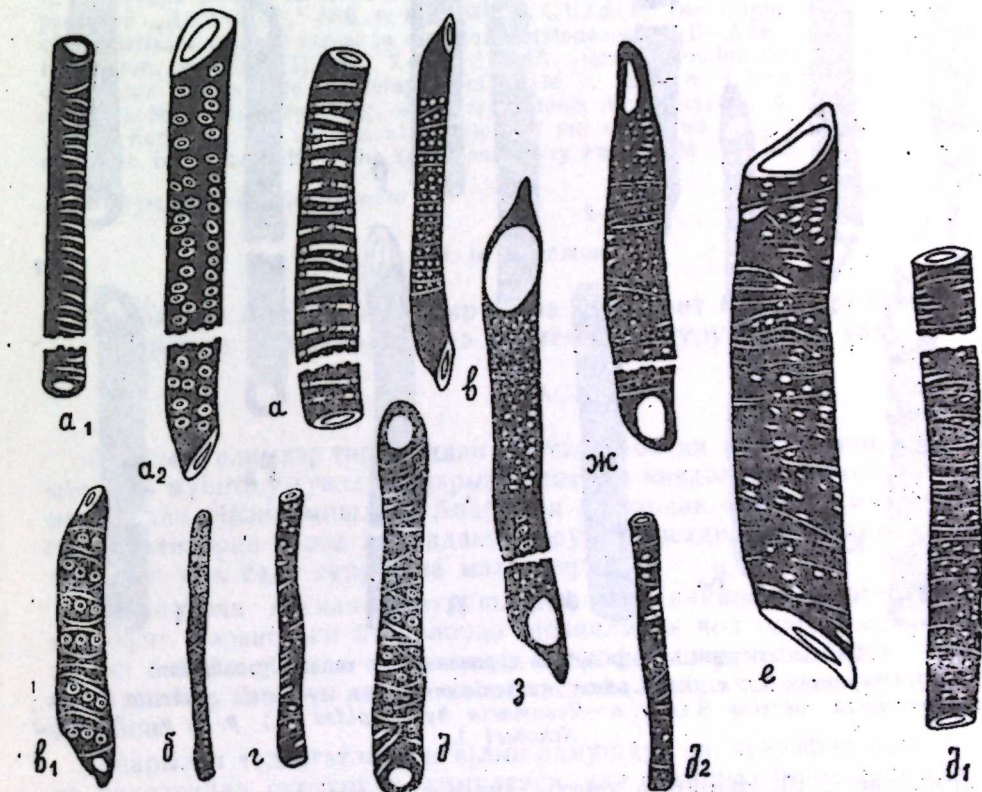
25. *Nitraria schoberi* L.

Структура ксилемных элементов главной жилки листа, а также однолетних побегов и зрелой древесине изучалась на поперечных срезах и на макерированном материале. Проведенный анализ показал, что проводящая система листьев всех исследованных видов лишена камбия, следовательно, представлена только первичной ксилемой. У всех видов основным проводящим элементом в первичной ксилеме является сосуд—совокупность перфорированных клеточных элементов (членников сосудов).

Для всех членников сосудов как в листьях, так и в однолетних побегах и зрелой древесине, характерны простые перфорации. В

листе и однолетнем побеге, однако, перфорации расположены, как правило, на боковых стенках, что рассматривается как признак более примитивный, чем то расположение перфорации на поперечных стенах, которое характерно для сосудов зрелой древесины ствола почти всех видов исследованных нами растений. Характерной и любопытной особенностью ксилемы, листа и побегов является относительно частая встречаемость сосудов с одной перфорацией. Это, по-видимому, означает, что в листьях и однолетних побегах длина целого сосуда меньше, чем в зрелой древесине. Напомним, что в анатомии растений сосудом называется вертикальный ряд отдельных членников сосуда, заканчивающихся с верхней и нижней стороной двумя членниками, в которых перфорирован соответственно только верхний или нижний конец. Длина таких сосудов достигает у разных растений несколько десятков сантиметров или даже нескольких метров. Поэтому, естественно, что односторонне перформированные сосуды встречаются в стволовой древесине весьма редко. Естественно также, что в мелких листьях большинства исследованных растений они встречаются довольно часто. Характерной особенностью членников сосудов листа и однолетнего побега также является отсутствие или слабое развитие у них клювиков.

Стоит напомнить, что у мезофитных растений наличие в первичной ксилеме листа сосудов с лестничными перфорациями является правилом даже в тех случаях, когда вторичная ксилема (особенно зрелая) содержит сосуды исключительно с простой перфорацией.

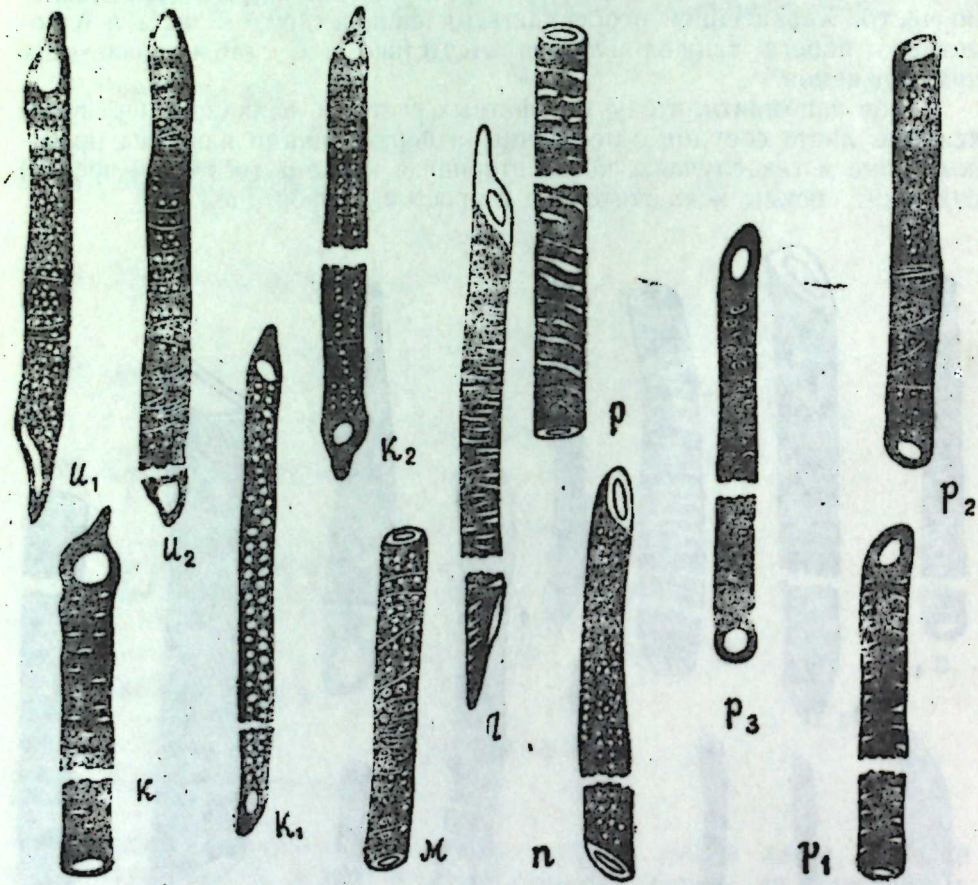


Членники сосудов зрелого листа с различными типами утолщения:

a, a<sub>1</sub>, a<sub>2</sub>-*Rhus coriaria* L.; b-Suaeda ericoides M. B.; c, c<sub>1</sub>-*Suaeda microphylla* Pall.; d, d<sub>1</sub>, d<sub>2</sub>-*Artemisia fragrans* Willd.; e-*Ficus carica* L.; f-*Ramnus Pallasii* F. et M.

Вторичное утолщение оболочек сосудов в проводящей системе листа исследованных видов довольно разнообразно (рис. 1, 2), утолщение варьирует от кольчатах и спиральных (т. е., когда вторичное утолщение представлено узкой лентой, располагающейся колечком или более или менее длинной спиралью по внутренней поверхности клетки) до точечных, т. е. с округлыми окаймленными порами с промежуточными типами в виде спирально-точечных, спирально-лестничных и лестнично-точечных.

Среди изученных представителей сем. маревых наблюдается значительное разнообразие структуры оболочек членников сосудов. Так, например, для Эуротии и Калидiumа характерны преимущественно точечные сосуды, а другие типы обнаруживаются очень редко или вовсе не обнаруживаются. Например, для двух видов Сведы характерны только спиральные сосуды. Для ксилемы однолетних ветвей характерна в целом по исследованному материалу несколько меньшая специализация оболочек сосудов (рис. 3, 4) по сравнению с ксилемой



Членники сосудов одного побега с различными типами утолщения:  
U<sub>1</sub>, U<sub>2</sub>—*Atrophaxis* L.; K, K<sub>1</sub>—*Lycium ruthenicum* Mitt.; L—*Celtis glabrata* Stew.; M—*Reaumuria persica* Stew.; N—*Reaumuria hypericoides* N.; P, P<sub>1</sub>, P<sub>2</sub>, P<sub>3</sub>—*Nitraria Schoberi* L.

листа (рис. 1, 2). Напротив, опять-таки в целом по материалу трахеиды (т. е. неперфорированные прозенхимные элементы), когда они встречаются по типу утолщения оболочек в листьях, несколько менее специализированы, чем в однолетнем побеге.

Проведенные исследования показывают, что наряду с общей высокой специализацией водопроводящего комплекса в целом у ксерофитов наблюдается также относительно более высокая специализация листа, в результате чего в листьях ксерофитов ликвидируется то "отставание в структурной специализации" ксилемы, которое характерно для большинства мезофитных растений. Эта же высокая подвижность характерна и для сосудов первичной ксилемы стебля.

При этом данная структурная специализация связана главным образом с важнейшей структурой—перфорацией, через которую проходит ток воды. Что касается вторичной оболочки сосудов, то в целом листе признак более подвижен, чем в первичной ксилеме стебля, это, вероятно, связано с очень жесткими требованиями, предъявляемыми средой к водопроводящей системе листа. Напротив, трахеиды, играющие у этих растений, вероятно, второстепенную роль в водоснабжении у листьев, менее специализированы, чем в первичной ксилеме листа.

## ЛИТЕРАТУРА

1. Дадашева Ш. Г. О некоторых особенностях осевых органов пустынных и полупустынных кустарников. *ДАН СССР*, т. 47, № 4, 1962.
2. Дадашева Ш. Г. Сравнительно-анатомический анализ приспособления листа и древесины некоторых растений Азербайджана к засушливым условиям. *ДАН СССР*, т. 48, № 5, 1963.
3. Штромберг А. Я. Камбий и вторичный рост в проводящей системе листа бирючины обыкновенной. Сообщ. АН Груз. ССР, т. XXI, № 5, 1959.
4. Штромберг А. Я. Онтогенез и структура ксилемных элементов листа лавровиши аптечной. Мин. здравоохран. Груз. ССР, химико-фармацевт. ин-т, т. IX, Сб. трудов. 1960.
5. Штромберг А. Я. Сравнительное изучение элементов ксилемы в листьях и стеблях двудольных растений. *ДАН СССР*, № 6, т. 136, 1961.
6. Chidie. The origin and certain trends of specialization of the vessel in the Monocotyledoneae (B-Amer. Journ. of botany, Burlington, vol. 30, № 1), 1913.
7. Chidie. A staining combination for phloem and contiguous tissues stain technology, vol. 28, № 2, 1953.
8. Chidie. Significance of cell divisions in differentiating secondary phloem *Acta botanica*, 4, № 3, 1955.
9. Shimizu Ken. 1955. On the vascular system of the wode and the leaf of genus *Quercus*. Repr. from the Bull. of the Tokyo university Forests, № 0.8, 1955.

Поступило 30. V 1967

Институт генетики и селекции

Ш. Н. Дадашова

Азэрбајҹан флорасының бир сыра ксерофит битки нөвләринин ярпаг вә көвдәләриндә ксилеманың гурулышуна даир

## ХУЛАСЭ

Бир сыра алимләр тәрәфиндән мүхтәлиф битки нөвләринин, ҳүсусән мезофил мүһитә уйғулышаларын ярпаг вә көвдәләринин ксилемалары мугајисәли ёjrәnilmishdir. Апарылан ишләрдән ажды олмушdur ки, бирләпәлиләrin ярпагларындакы бору вә трахеидләр көвдә вә көкә нисбәтән чох садә гурулуша малиkdir.

Биткиләrin дахили гурулышларындакы инкишаф просесләринин ксерофит шәрантдәки биткиләrdә ёjrәnilmäsi чох мараглыдыр. Буна әсасән биз Азэрбајҹан флорасында ксерофит шәрантдә битәn 23 кол вә ярымкол нөvүнүн көк вә көвдә системләринин ксилема гурулышуну ёjrәndik.

Апарылан тәдгигатлардан ажды олмушdur ки, ксерофитләrin көвдә вә көкләrinidә суётүрүү комплекси илә Яанаши, ярпагларыnda да мүкәммәлләşmә ҳүсусијәti мүшәнидә олуунur.

Мезофил шәрантдәки битки органларының ксерофит шәрантдәki биткиләrin ёjni органлары илә мугајисәli ёjrәnilmäsi, соңракыларда тәкамүл просеси үзrә әvvәlkilәrdәn үстүnlük газандығыны көstәriр.

ГЕНЕТИКА И СЕЛЕКЦИЯ

Р. М. СОФИЕВА

ТЕРАТОЛОГИЧЕСКИЕ ИЗМЕНЕНИЯ ЦВЕТКА МАКА  
СПУТАННОГО (*Papaver somniferum* F. et M.)

(Представлено академиком АН Азербайджанской ССР И. Д. Мустафаевым)

Аномальные явления растений всегда привлекали внимание ботаников. В последнее время в ботанической литературе все чаще встречаются сведения о различных тератологических изменениях у растений, которые имеют важное теоретическое, а также и практическое значение. Изучение аномальных отклонений разных органов растений весьма важно для решения вопросов морфологии и филогении. Сведения о значении терат в жизни растений имеются в работах Б. М. Козо-Полянского [2], Ал. А. Федорова [11], В. Х. Тутаюк [9], А. Л. Тахтаджана [8] и многих других. Как указывает Козо-Полянский (цит. по Коновалову, 1952), уродливые изменения растений цепны для ботаники тем, что они могут выявить скрытые свойства растений. Среди них могут встречаться атавистические изменения, указывающие на особенности организации предков современных форм. Для решения современных вопросов эволюционной морфологии цветка необходимо привлечение тератологических явлений (Козо-Полянский [2]).

Объясняя тычиночную природу лепестков и их значения для выяснения вопросов филогении А. Л. Тахтаджян [8] пишет, что „многочисленные тератологические случаи превращения тычинок о лепестки, являющиеся основной для возникновения махровых цветков, дают нам возможность представить себе пути возникновения лепестков из тычинок. Лепестки образовались в процессе эволюции из ранних стадий развития тычинок, т. е. из тычинок, отклонившихся от своего нормального развития.“

Из просмотренного литературного материала видно, что тератология имеет огромное значение для решения современных вопросов эволюции цветка.

Тераты цепны также для выяснения вопросов вида и формообразования, которые хорошо освещены в работах В. Л. Комарова [3], Ал. А. Федорова [11] о др. Отмечая роль терат в процессе формообразования, Ал. А. Федоров [11] пишет, что „тератология, как область научного знания, имеющая дело с крайними вариантами изменчивости

организма, может быть использована наравных с прочими разделами биологии основаниях для решения вопросов формо- и видообразования“.

Тераты разнообразны, среди них самой полезной уродливостью является махровость, имеющая большое значение в декоративном садоводстве. Воздействием человека можно создать разнообразные махровые сорта растений для декоративных целей, парков и садов.

В природе аномальные растения, в частности махровые формы, встречаются значительно реже, чем в культуре. Изучение литературы показало, что у представителей сем. *Papaveraceae* Juss., в особенности у маков, указанные явления довольно часты. В своей монографии по тератологии М. Мастерс (1869) описывает разные формы аномалии у маков, в частности у видов *P. rhoeas* L., *P. bracteatum* Lindl., *P. somniferum* L., *P. nudicaule* L. и др., но автор не придает этим явлениям филогенетического значения.

И. Н. Коноваловым [4] и В. Х. Тутаюк [10] были описаны видоизменения форм плода и цветка у *P. orientale* L. Разные тератологические изменения генеративных органов у мака голостебельного (*P. nudicaule* L.) и горного (*P. oreophilum* Kipr.) подробно описаны Л. А. Шавровым [12]. Позднее Л. А. [13] описывает лепестковидный метаморфоз тычинок мака горного. Описанные В. Х. Тутаюк и Л. А. Шавровым видоизмененные формы андроцоя сходны с описываемой нами формой. Как В. Х. Тутаюк, так и Л. А. Шавров объясняют причины махровости изменением почвенно-климатических условий, к мнению которых присоединяется и мы. Т. Батуевой [1] проанализировано варьирование членов цветка у представителей сем. маковых, в том числе и *P. Papaver* L.

Разные аномальные случаи у представителей *P. Papaver* L. описывались и многими другими авторами [5, 6, 7].

На числовое варьирование членов околоцветника при изменении условий внешней среды у маков не раз указывалось исследователями, но в просмотренной нами литературе нам не удалось найти указаний об аномалии мака спутанного. Этот вид, описанный Фишером и Мейером в 1837 г. из Закавказья, — однолетнее б. или м. оттопырано волосистое растение с перисто-раздельными или перисто-надрезанными листьями, широко распространенное на Кавказе (главным образом в Закавказье) от низменности до среднего горного пояса на травянистых склонах, в кустарниках, тугайных лесах, посевах, садах и т. д. Ареал распространения его за пределами Кавказа охватывает Малую Азию и Северо-западный Иран.

Исследуемые растения были обнаружены нами в 1963 г. в Закатальском районе. Среди растений собранных в с. Нижний Чардахлар, обратили на себя внимание экземпляры мака спутанного с красивыми махровыми цветами, произрастающие совместно с нормальными растениями данного вида. Тератологические изменения были выявлены только у цветков, причем аномальные цветки обнаружены как на главных, так и на боковых ветвях и все они почти одного типа. Махровый цветок мака имел следующие элементы: 2 чашелистика, 4 нормальных лепестка по краям, многочисленные узкие и сравнительно мелкие лепестки внутреннего ряда и еще мельче — в центральной части цветка, многочисленные нормальные и видоизмененные тычинки и нормальный гинецей. От нормального цветка махровые отличались по количеству и форме лепестков, тычинок. Изменениям подверглись органы андроцоя. Для большей наглядности на рисунке показан цветок не в целом, а разобранном виде. Гинецей, 4 лепестка и чашелистики не показаны, так как они были нормального строения. По анализу разобранного материала ясно виден постепенный переход тычи-

ик в лепестки. У лепестковидных образований хорошо заметны остатки пыльников. Возможной причиной этих отклонений, по-видимому, являются необычные для них условия существования—дождливая весна с обильными осадками, при которых проявляются признаки атавизма. Таким образом, формирование махрового цветка, т. е. превращение тычинок в лепестки у *Papaver commutatum* F. et M.,

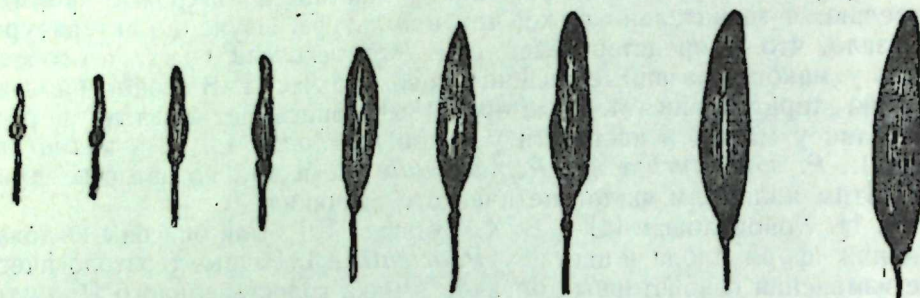


Рис. 1. Метаморфоз тычинок махрового цветка  
*Papaver commutatum* F. et M.

вероятно, не случайность, а регressive явление, обусловленное нарушением важнейших жизненных процессов, возникающих при необычных условиях внешней среды. Маки очень чувствительны к условиям внешней среды. Большое количество осадков, выпавших в 1963 г., оказало заметное влияние на онтогенетическое развитие мака спутанного.

Для большей наглядности приведены данные (табл. 1-2) по температуре воздуха и атмосферным осадкам, полученные нами из Гидрометуправления Азербайджанской ССР.

## Среднемесячные температуры воздуха в Закатальском районе в 1962—1963 гг.

Месяцы Годы	I	II	III	IV	V	VI	VII	VIII	IX	X	XI	XII	Средне- годовая
1962	2,6	4,5	9,7	11,6	18,0	21,3	26,6	24,7	19,7	13,2	8,4	5,6	13,8
1963	4,7	5,2	5,7	12,2	16,0	19,6	23,1	22,1	19,3	14,3	7,3	3,6	12,8

Таблица 2

Сумма осадков в Закатальском районе в 1962—1963 гг.

Месяцы- годы	I	II	III	IV	V	VI	VII	VIII	IX	X	XI	XII	Средне- годовая
1962	25,6	34,7	51,7	66,2	63,5	156,6	40,0	24,6	126,7	143,1	61,8	85,7	880,2 мм
1963	29,2	50,9	41,6	1683	2349	181,0	2260	109	139,5	105,1	73,3	44,2	1403,5 мм

Как видно из табл. 1, среднемесячные температуры воздуха в 1963 г., за исключением зимних месяцев, были значительно ниже таковых предыдущего года.

Из табл. 2 видно, что 1963 г. оказался существенно отличным от предыдущего года суммой атмосферных осадков.

За II декаду 1963 г. выпало 584,1 мм осадков, что 2 раза превышает таковую 1962 г. (286,3 мм).

Указанные погодные условия 1963 г. оказали влияние на развитие растений и явились причиной нарушения жизненного процесса и появления аномалий у мака спутанного.

## ЛИТЕРАТУРА

- Батуева Т. М. К числовой вариации членов цветка в родах *Roemeria* и *Papaver*. Бюлл. Ср.-Аз. Гос. ун-та, вып. 9, 1925.
  - Козо-Полянский Б. М. Тератология цветка и новые вопросы его теории. "Сов. бот.", № 6, 1937.
  - Комаров В. Л. Учение о виде у растений. М.—Л., 1944.
  - Коновалов И. Н. Об отклонениях в строении у некоторых растений. Труды БИН АН СССР, серия 6, вып. 2, 1952.
  - Кузьмина Л. М. Аномальные формы семян мака *Papaver nudicaule* L. "Бот. журн.", № 4, 1966.
  - Лисовский Г. М. Аномалии в строении околоцветника у *Papaver somniferum* L. "Бот. журн.", № 8, 1957.
  - Полухина И. Махровость у *Antirrhinum majus*, *Papaver* и *Delphinium*. М. 1947.
  - Тахтаджян А. П. Основы эволюционной морфологии покрытосемянных. М.—Л., 1964.
  - Тутаюк В. Х. Строение махровых цветков, 1960.
  - Тутаюк В. Х. Махровый восточный мак (*Papaver orientale* L.) в горах Истису. ДАН Азерб. СР, т. 17, № 6, 1961.
  - Федоров Ал. А. Тератология и формообразование у растений. М.—Л., 1958.
  - Шавров Л. А. Отклонение в строении генеративных органов цветка у мака (*Papaver* spp.). "Бот. журн." № 8, 1957.
  - Шавров Л. А. Тератологические изменения у переселенных в Хибинские горы растений. В кн.: "Вопросы ботаники и почвоведения в Мурманской области". М.—Л., 1962.
  - Masters W. I. Vegetable teratology. London, 1869.

Поступило 15. IX 1967

## *Институт ботаники*

Р. М. Софијева

Лалэ чиинсийндээн *Papaver commutatum* F. et M. нэвүү чичээнийндэки тератологи дэјишкэнлик

ХУЛАСА

Мәгәләдә бириллик битки олан вә Гафгазда кениш жајылан *Papaver commutatum* F. et M. лалә нөвүнүн чохләчәкли чичәji тәсвир олунмуш дур. Бу битки 1963-чү илдә Загатала рајонундан ығылмышдыр. Чохләчәкли лалә чичәji ашағыда көстәрилән һиссәләре маликдир: иккиси ярлағы, дәрд харичи ләчәкләр, соң мигдарда нисбәтән еңсиз вә хырдалары орта чәркәдә вә даһа хырдалары мәркәзи чәркәдә јөрләшиш ләчәкләр, буидан башга күлли мигдарда нормал вә аномал еркәкчиликләр вә дишичик. Мүәллиф еркәкчиликләrin тәдричән ләчәjә метаморфозуну көстәрир ки, бу да ләчәjин еркәкчиик мәншәли олмасына сүбүт дур. Бу аномалия наисәсинин төрәмәси сәбәби һәмин ил мөвчуд олан иғлим шәраитидир.

## ФИЗИОЛОГИЯ ЖИВОТНЫХ

Р. А. ГУСЕЙНОВА

**ВЛИЯНИЕ ЧЕТЫРЕХХЛОРИСТОГО УГЛЕРОДА  
НА СОДЕРЖАНИЕ НЕКОТОРЫХ ЛИПИДОВ В КРОВИ  
У СОБАК**

(Представлено академиком АН Азербайджанской ССР А. И. Каравеевым)

Важная физиологическая роль печени в связи с ее защитной антитоксической или обезвреживающей функцией, как известно, сводится в частности к задержке детоксикации и выведению из организма многих токсических веществ. К числу ядов, обладающих гепатотоксическим действием относятся хлорированные углеводороды—четыреххлористый углерод, хлороформ, хлорированные нафталины, дихлорэтан и др. При их действии на организм в зависимости от дозировок и длительности действия могут нередко наблюдаться выраженные острые или хронические поражения печени. Хронические токсикохимические гепатиты проявляются в основном увеличением размеров печени и болевым синдромом. Помимо указанного, эти хлорогенные соединения оказывают угнетающее влияние на ряд ферментативных систем и губительно действуют на нервную систему и многие органы целостного организма.

Токсическому действию четыреххлористого углерода посвящена значительная литература клинического и экспериментального характера. В отношении действия его на человеческий организм литературные данные противоречивы. По одним авторам (Феллс, Страуб, Блаки, Коувенаур, Смитли, Пессоа) однократный прием 1,5 и 2–3 мл четыреххлористого углерода достаточен, чтобы вызвать смертельный исход в течение 40–48 ч, по другим—токсичность четыреххлористого углерода заметно меньше.

Противоречивы также данные экспериментального изучения действия четыреххлористого углерода на животных. Характерной особенностью экспериментального и клинического гепатита является обеднение печени гликогеном, в результате этого происходит мобилизация из депо жира и последующее его накопление в печеночных клетках. Такая жировая инфильтрация в некоторой степени поддерживает функциональную недостаточность печени и тормозит ее гликогенообразовательную функцию.

В настоящем исследовании устанавливалось, как влияет четыреххлористый углерод на содержание некоторых липидов в крови в

## Изменения в содержании веса гемоглобина и некоторых липидов

Собаки	Живой вес		Гемоглобин		Жир	
	до	после	до	после	до	после
отравления						
Орлик . . .	12,0	9,6	88	69(−78,4 %)	391	432(+110,5 %)
Пальма . . .	15,0	12,14	60	41(−69,39 %)	310	457(+147,8 %)
Бурка . . .	14,0	11,7	72	52(−72,2 %)	318,3	463,4(+145,5 %)
Каштанка . .	16,0	13,5	72	55(−76,4 %)	285,7	408,1(+142,8 %)
Белка . . .	16,0	13,9	89	72(−80,9 %)	326,5	441,8(+135,4 %)
Стрелка . . .	9,0	7,6	59	42(−71,2 %)	334,6	408,1(+121,9 %)
Кнопка . . .	16,5	14,0	78	65(−83,3 %)	318,3	399,9(+125,6 %)
Бобик . . .	11,7	10,2	76	61(−80,3 %)	310,194	350,2(+112,6 %)
Джульбарс . .	18,0	15,1	95	72(−75,7 %)	318,3	440,6(+138,4 %)
Бойнак . . .	15,0	13,2	80	63(−78,7 %)	302,0	342,8(+113,5 %)

условиях хронического токсического гепатита, вызванного этим соединением. Проведение этой работы диктовалось тем, что четыреххлористый углерод как жирорастворимое вещество в тканях организма скорее всего окажет сильное влияние на обмен липидов. В качестве объекта исследования было взято 10 собак, которым после установления нормального фона (контрольные исследования крови) вводили через день в икроножную мышцу четыреххлористый углерод в смеси с оливковым маслом (2 мл четыреххлористого углерода + 1 мл оливкового масла на 1 кг живого веса). Указанное производилось в связи с тем, что, по данным Робинса, прибавление растительного масла увеличивает всасывание и четыреххлористого углерода. Погибшие в результате дачи четыреххлористого углерода собаки вскрывались, части печени фиксировались и приготавливались для микроскопического исследования. Как до, так и после отравления их (после образования гепатита) в соответствующих пробах крови количественно определялись следующие показатели: холестерин по Аутенриту и Функу, лецитин—Е. Б. Предтеченскому, жир—А. И. Одинову, фосфолипиды—в сумме по С. Д. Балаховскому.

В таблице приводятся результаты соответствующих опытов по определению у собак содержания указанных выше показателей с учетом изменения в весе и содержании гемоглобина.

По данным таблицы можно видеть, что под влиянием четыреххлористого углерода все собаки заметно теряли в весе и у них уменьшалось содержание гемоглобина (больше всего у собаки Пальмы—68,3% от исходного), а содержание жира в крови у собак возрастает от 10,5 до 47,4%; холестерина—от 31,8 до 66,6% фосфолипидов в сумме от 24 до 100%; лецитина от 11,8 до 40,3%. Такие изменения, суммирующиеся и с другими сдвигами в обмене веществ, наряду с заметными изменениями морфологии тканей, говорят о сильном токсическом воздействии на печень и на организм в целом четыреххлористого углерода.

## Выходы

- Под влиянием четыреххлористого углерода все подопытные собаки теряли в весе, у них также уменьшалось содержание гемоглобина в пределах от 17 до 22%.

Холестерин		Фосфолипиды		Лецитин	
до	после	до	после	до	после
113,0	166,6(+14,9%)	253,0	342,0(+135,2%)	235,0	263,8(+11,8%)
125,0	192,3(+153,8%)	235,0	399,0(+169,7%)	286,7	337(+117,5%)
145,0	200,0(+137,8%)	305,5	486,4(+159,2%)	235,0	293,7(+124,9%)
150,0	218,7(+145,8%)	244,0	488,0(+200%)	291,0	312(+107,2%)
138,0	218,8(+158,5%)	477,6	696,0(+145,7%)	211,5	293,7(+138,8%)
141,6	191,8(+135,5%)	379,0	470,0(+124,0%)	235,0	297,3(+123,5%)
100,0	166,6(+166,6%)	253,1	423,0(+166,6%)	211,5	258,5(+122,2%)
145,9	192,3(+131,8%)	251,4	305,5(+121,4%)	282,0	390,1(+138,1%)
143,0	192,3(+134,2%)	249,1	470,0(+188,6%)	267,9	376,0(+140,3%)
119,0	178,5(+150,0%)	376,0	488,0(+129,7%)	235,0	312,5(+132,9%)

2. Следствием отравления животных указанным хлороганическим веществом является также значительное увеличение содержания в крови отдельных липидов: жира в пределах от 10,5 до 47,4%; холестерина от 31,8 до 66,6%; фосфолипидов от 21 до 100%; в том числе лецитина от 11,8 до 40,3%.

#### ЛИТЕРАТУРА

1. Джабиев А. А., Исмагилов А. Я. К характеристике некоторых гемодинамических показателей при хронических заболеваниях печени и желчного пузыря. Мат-лы I Кавказск. конф. по пробл. патофизиологии. Баку, 1958. 2. Дударова С. И. К патохимической характеристике острой токсической дистрофии печени. Бюлл. эксп. биол. и мед., № 12, 1950. 3. Кончаловская Н. М. Клинические проявления жировой дистрофии. "Клин. мед.", № 8, т. 28, 1950. 4. Коникова Г. С. Холестерин и фосфолипиды крови при длительном воздействии некоторых пром. ядов. Терап. архив, т. XXXIV, № 9, 1962. 5. Лейтес С. М., Зитлер Т. К. Содержание гликогена и липидов в печени при экспериментальном токсическом гепатите в зависимости от диеты. Вопр. мед. химии, т. IV, 1952. 6. Мухин А. С., Потекаева М. А. Значение пункционной биопсии печени в диагностике хронических токсических поражений печени. Гигиена труда и проф. заболеваний, № 1, 1964. 7. Митник П. Я. О роли первичного компонента в механизме хронического отравления промышленными ядами. "Физиол. журн. СССР", т. 26, № 2—3, 1939.

Институт физиологии

Поступило 20. V 1967

Р. Э. һүсәјнова

#### Дөрдхлорлу карбонун итләрдә ганыны липид мүбадиләсінә тә'сири

#### ХУЛАСӘ

Мәгаләдә хлорлу үзви бирләшмә олан дөрдхлорлу карбонун ганда липид мүбадиләсінә тә'сириндән бәйс едилир.

Тәчрүбеләр хроники шәрайтдә 10 ит үзәриндә апарылмышдыр. Һејванларда дөрдхлорлу карбону дәри алтына вурмагла токсик һепатит յарадылмышдыр. Тәчрүбәнин башланғычында вә сонунда дири чәки тә'жин едилиш, ганда һемоглобинин, холестеринин, леситинин, яғ вә фосфолипидин мигдары өjrәнилмишdir.

Тәдгигатлар көстәрмишdir ки, токсик һепатит тәчрүбә һејванларында дири чәки вә һемоглобинин мигдарының азалмасына сәбәб олур. Еңи заманда ганда холестерин, леситин, фосфолипид вә яғын мигдары артым истигамәтindә дәжишир. Көстәрилән үзви бирләшмә нәнки гарачијәрә, һәтта бүтүн организме өз зәһәрли тә'сирини көстәрир.

Ш. А. ГУЛИЈЕВ

#### ГАРАБАГДАН ТАПЫЛАН ДАШ ВЭЛЛЭР

(Азәрбајчан ССР ЕА академики Ә. Ә. Әлизадә тәғдим етмишидир)

Азәрбајчан әразисиндән тәсадүф тапылмыш ики даش вәлин тәддиги халгымызын әкінчилик мәдәнијәтини вә онун инкишаф тарихини өjrәнмәк үчүн елми әhәмиjät кәсб едир.

Һәр ики даш вәл Дағлыг Гарабаг әразисиндән тапылмышдыр. Бұнлардан бири, даһа дөгрүсү, һәчмчә нисбәтән кициjи (1-чи шәкил) 1963-чү илин сентябр айында Степанакерт шәhәринин Леснаja күчәсіндә йашајыш бинасының өзүлү үчүн торпаг ишләрі көрүлән заман ашқар едилиш, дикәри исә (2-чи шәкил) 1965-чи илдә һадрут разынун Даланлар кәndи әразисинде "Кәнд јери" адланан саhәдә тракторла яз шуму апарыларкән котанын кәsечәjине илишиш вә торпагдан чыхарылмышдыр<sup>1</sup>.

Геjд етмәк лазымдыр ки, Степанакерт шәhәри әразисиндән тапылмыш даш аләтин илк бахышда тахыл дөjумү үчүн вәл кими истифадә олундуғу шүбhе дөгуурудуса, һадрут району Даланлар кәndиндән тапылан даш вәлин мәhз вәл олдуғу вә онун тахыл дөjумүндә истифадә едилиди тامамилә сүбүт едилишидир.

Андезит—базалт дашиңдан<sup>2</sup> назырланмыш һәр ики вәл өз формасына көрә демәк олар ки, еңилук тәشكىл едир, лакин чәки вә һәчмчә фәрглидир. Әkәр әввәл тапылмыш вәл кичик вә нисбәтән յүнкүлдүрсә, икинчи вәл ири вә ағырдыр.

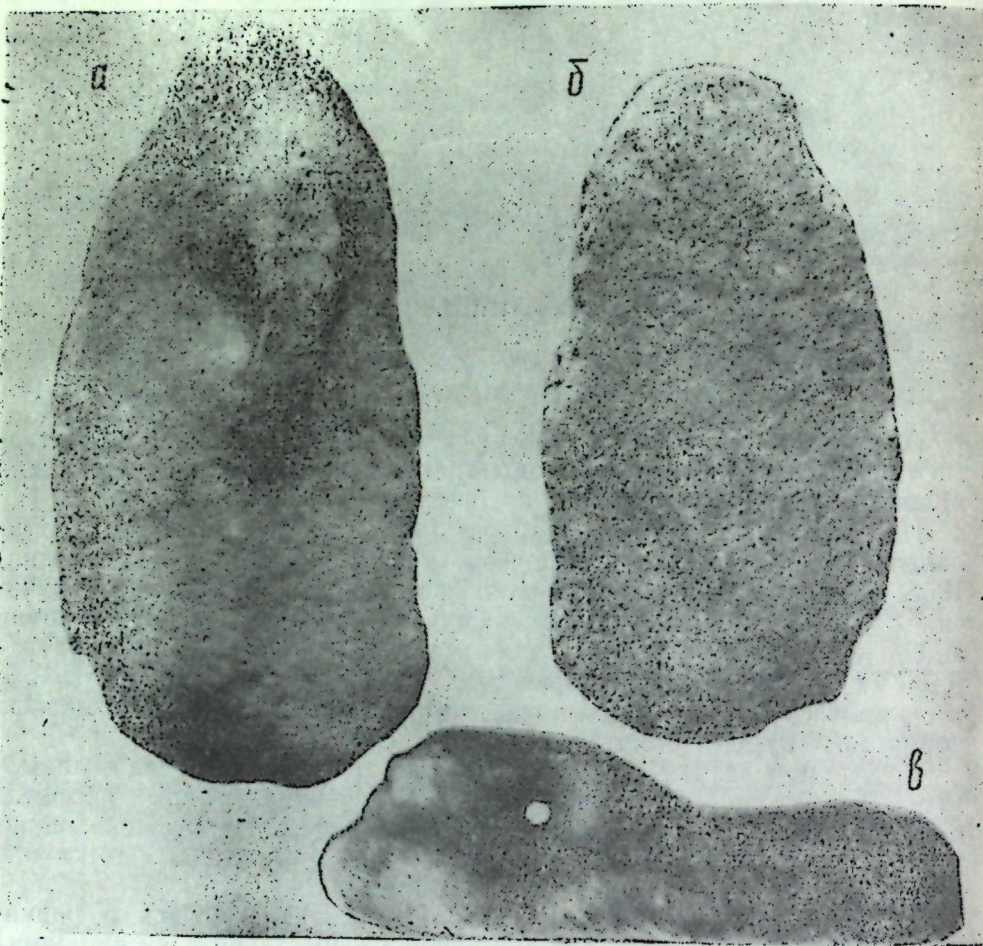
Степанакерт шәhәриндән тапылмыш даш вәлин узунлуғу 60, ени 40, галынылығы 14 см-дир, ағырлығы 40 кг-дан соhдур. Даланлар кәndи әразисиндә тапылан даш вәлин узунлуғу 84, орта һиссәдән ени 64, галынылығы 18 см, ағырлығы исә 80 кг-а گәдәрдир.

Һәр ики вәлин алт—ишләк һиссәси нисбәтән дүз (hamar), үст һиссәси исә мәркәзә дөгү балыг бели формасында. Өз ағырлығына көрә анчаг һеjван гүввәси илә ишләдилмәсі мүмкүн олан даш вәлләрин баш һиссәсіндә гајыш, ағач вә ja ип кечирмәк үчүн хүсуси кез ачылмышдыр ки, бу да һәmin әmәк аләтилә тахыл дөjerkәn өкүз вә ja кәлдән истифадә едилидине бир даһа дәлаләт едир.

<sup>1</sup> Һазырда һәmin даш вәлләр Степанакерт шәhәр өлкәшүнасын музейинин экспозициясында нұмағаш етдирилмәккәдир.

<sup>2</sup> Андезит—базалт сүхурлары Азәрбајчаны Лачын, Кәлбәчәр вә Дағлыг Гарабаг әразисинде кенини инишиш тапылышы.

Даш вэллэри ишлэдилмэс илээлагэдар олараг белэ бир фикир дэ ирэли сүрмэк олар. Һэчмчэ при вэ тахыл дөйүү үчүн даха мүннаасиб олан даш вэллэр, шубхэсиз, кичик һэчмли вэллэри тээмиллэшиг формасыдыр. Чох ехтимал ки, бу вэллэри ишлэдилмэс тарихи дэ нисбэтэн сонракы дөврлэрэ аид олуб, Азэрбајчанын даф вэ дағтэжин зонасында экинчилийн инкишафы илээлагэдар олмушудур.

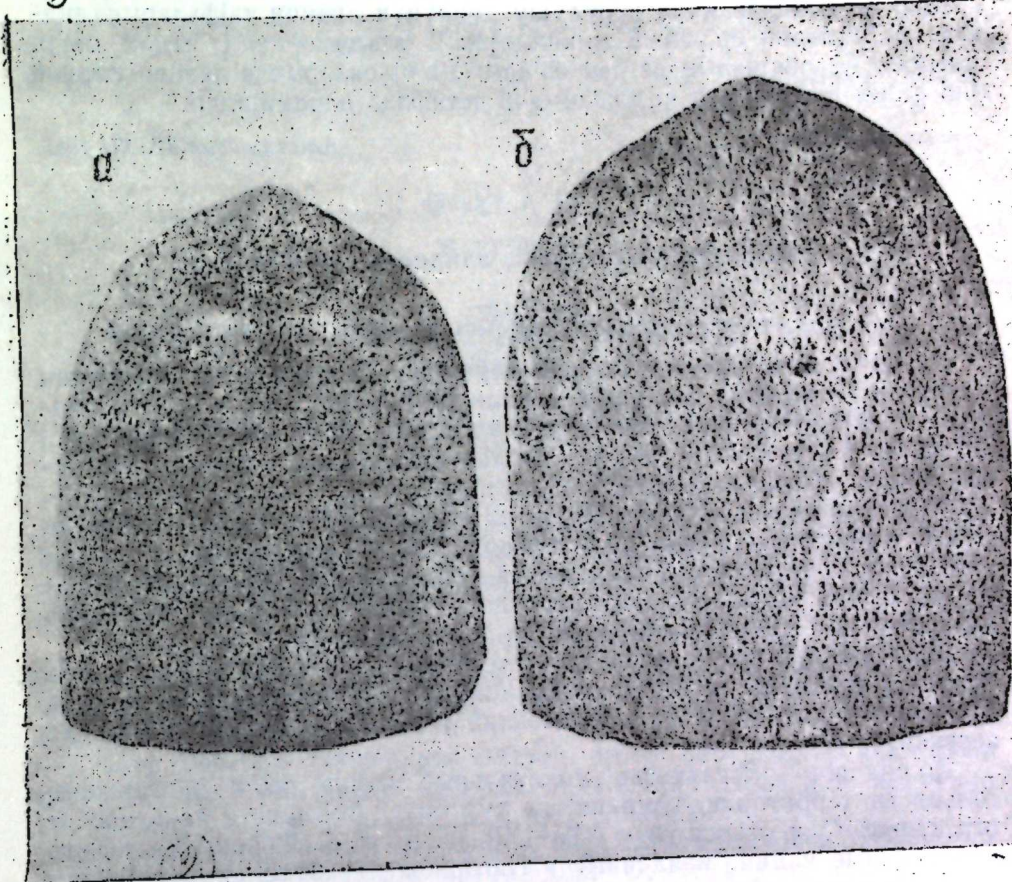


1-чи шэкил. а—даш вэлни үст һиссэс; б—алт—ишлэк һиссэс; в—јандан көрүнүшү.

Өз чэкилэринэ көрэ агаач вэллэрдэн хејли ағыр олан даш вэллэри нэ үчүн Азэрбајчанын мэһэз дағлыг вэ дағтэжин эразисиндэ истифадэ едилмэсийн өјрөннүүлмэс чох мараглыдыр. Этнографик материалдардан аյдын олур ки, бу рајонларда бечэрилэн тахыл нөвлэрийнин дэни аран рајонларында јетишэн тахыл нөвлэрийнэ нисбэтэн гылчыгдан даха чэтин ажрылыр. Бунуун үчүн ағыр вэллэр даха сэрфэли вэ мүнисибирдир. Она көрэ дэ тахыл дөйүүндэ бу эразидэ экинчилэрийн белэ ағыр вэллэрдэн истифадэ етмэсийн онларын чохэсрлик тэсэррүүт тэчрүүбэсийн иэтничеси кими бахылмагла, ганунаујгүн бир һал һесаб единмэлийдир.

Тапылмыш даш вэллэри истифадаедилмэ дөврүүн тэ'жини дэ өлми нөгтэжи-нэзэрдэн өхөмийжтэлдидир. Тээссүүф ки, һэмийн алэтлэрийн тапылдыгы јердэн һеч бир башга мадли-мэдэнийжтэг абицэси элдэ едилмэдийнндэн, бу эмэк алэтлэрийн дөврүү дэгиг мүэjjэнлэшиг формасыдир.

Даш вэллэр Загафгзијада идијэ гэдэржанчаг Ерменистан эразисиндэн элдэ едилмийдир. Севан җахынында археологларын тэдгиг етдији Лчашен курганларынын торпағындан тапылмыш үчбучаг формалы даш вэллэр ер. эв. XIV—XII өсрөлрэ аид едилр<sup>3</sup>. Еин тип ики эдэд даш вэл Зэнкэзур эразисинде Корус шэһэри җахынындан да ашкар едилмийдир<sup>4</sup>.



2-чи шэкил. а—даш вэлни үст һиссэс; б—алт—ишлэк һиссэс.

Дағлыг Гарабағдан тапылмыш даш вэллэр формача Лчашендэн вэ Корус җахынындан тапылан даш вэллэрлэ охшарлыг тэшкил едир. Лчашен вэллэриндэ олдугу кими бу вэллэри дэ габаг һиссэс азча дик олуб, вэли бојундуругла бирлэшиг формасыдир. Дағлыг Гарабағ вэллэри кобуд назырланмыш вэ Корус даш вэллэриндэ олдугу кими алты һамардыр.

Шубхэсиз, һэм Азэрбајчандан вэ һэм дэ Ерменистандан элдэ едилэн даш вэллэрийн мејдана кэлмэсийн вэ истифадэси Кичик Гафгаз эразисиндэ еин тэбии-чографи шэрэйтэ малик олан рајонларын игтисади тэлэбатындан ирэли кэлмийдир.

Археоложи тэдгигатлар иэтничесиндэ мүэjjэн едилмийдир ки, даш вэллэр Загафгзијада агаач вэллэрдэн өввэл мејдана кэлмийдир.

<sup>3</sup> С. А. Есэян, А. Н. Шагинян. Археологические находки в Зангезуре. С. А. № 3, 1962, сэх. 200.

<sup>4</sup> Јенэ орада, сэх. 199—200. 1-чи шэкил.

Белә ки, Загафгзија археологи газынтыларындан тапылан ағаң вәлләрин эн гәдим нүмунәләри соң тунч вә илк дәверләринә анддир<sup>5</sup>.

Жухарыда дејилдији кими, әлбәттә, Дағлыг Гарабағ әразисиндән тапылан даш вәлләрин дөврү һаггында гәти фикир сөјләмәк чәтиндер. Лакин Загафгзија әразисиндән мә'лум олан аналожи даш вәлләр әсасында еһтимал едилә биләр ки, Дағлыг Гарабағдан тапылан бу даш вәлләр дә ибтидан-ичма گурулушу дөврүнүн әкинчи тајфаларына анддир. Бу вәлләри ер. әв. II миниллијин II йарысына анд етмәк олар. Демәли, Азәрбајҹаның дағлыг вә дағатәji рајонларында даш вәлләрдән бир дөјүм аләти кими чох гәдимдән истифадә едилмишdir.

Тарих институту

Алынмышыр 12, XII 1967

Ш. А. Гулиев

## Молотильные камни, найденные в Карабахе

### РЕЗЮМЕ

Из двух молотильных камней, случайно найденных на территории Нагорного Карабаха, меньший нашли в сентябре 1963 г. в г. Степанакерте, а другой был обнаружен во время вспашки на территории Даланлар Гадрудского района, на так называемом участке „Кәнд ёри“ (букв. „сельская местность“).

Обе молотилки, изготовленные из андезит-базальтового камня по форме одинаковы. Длина молотильного камня, найденного в г. Степанакерте составляет 60 см, ширина—40, толщина—14 см, вес более 40 кг. Длина молотильного камня из с. Даланлар—84 см, ширина в средней части—64, толщина—18 см, а вес около 80 кг.

Вследствие тяжести молотильных камней их можно использовать только с помощью тягловой силы, поэтому в передной части имеется специальное отверстие для продевания ремня, деревянной палки или веревки.

До сих пор в Закавказье молотильные камни были обнаружены только на территории Армении, на курганах Лчашена и недалеко от гор. Герус. Они относятся к XIV—XII вв. до н. э. Любопытно то, что молотильные камни, найденные в Нагорном Карабахе, схожи по форме с таковыми, обнаруженными в Лчашене и в Герусе.

Таким образом, период использования молотильных камней, найденных в Нагорном Карабахе, можно отнести ко 2-ой половине II тыс. до н. э., на основании обнаруженных на территории Закавказья аналогичных молотильных камней.

АЗӘРБАЙЧАН ССР ЕЛМЛӘР АКАДЕМИЈАСЫНЫН МӘРҮЗӘЛӘРИ

ДОКЛАДЫ АКАДЕМИИ НАУК АЗЕРБАЙДЖАНСКОЙ ССР

ЧИЛД XXIV

№ 11

1968

### ӘДӘБИЙЛАТ ТАРИХИ

Б. ГУЛИЈЕВ

## ЧӘМАЛӘДДИН ИСФА҆ННИН ТӘВӘЛЛҮД ТАРИХИНӘ ДАИР

(Азәрбајҹан ССР ЕА академики Ә. Ә. Элизадә тәгдим етмишdir)

XII әсрин мәшһүр фарс шаири Чәмаләддин Исфаҗанинин вәфат тарихи бә'зи әсәрләрдә 1192-чи ил<sup>1</sup> көстәрилсә дә онун тәвәллүд тарихи һеч бир мәнбәдә гејд олунмамышдыр. Чәмаләддин Исфаҗанинин тәвәллүд тарихини аждынлашдырмаг мәгсәди илә, илк нөvbәдә, шаириң диләвәнинда топланан шे'рләри диггәтлә нәзәрдән кечирмәк лазымдыр.

Чәмаләддин Исфаҗанинин йарадычылығындан аждын олур ки, о, дөврүнүн бир сыра шаирләри илә дост олмуш, онлара ше'р итһаф етмишdir. Онун достлуг етдиши шаирләрдән бири дә Зәһир Фаријаби (1160—1202) олмушдур.

Зәһир Фаријаби Нишапурда олдуғу, артыг бир шаир вә алым кими жени танынмаға башладығы илләрдә Чәмаләддин Исфаҗани дөврүнүн ән көркәмли шаирләрindән бири һесаб едилирди.

Бә'зи мүәллифләrin көстәрдијинә көрә, Зәһир Фаријаби 582/1186-чы илдә Нишапурдан Исфаҗана кәлмишdir.<sup>2</sup> О, Исфаҗанда илк нөvbәдә әдәби мүһит илә таныш олмуш вә бә'зи шаирләрлә достлуг етмишdir. Зәһир Фаријаби Чәмаләддин Исфаҗани илә илк дәфә елә һәмин ил таныш олмуш вә сонралар һәр ики шаир арасында мәһкәм достлуг јаранмашдыр. Буну қәнч Зәһирлә гочаман Чәмаләддинин бир-бириң итһаф етдикләри ше'рләр аждын шәкилдә сүбүт едир. Зәһир Чәмаләддинә итһаф етдиши бир гит'әдә ону зәманәсинин гүдрәтли алымы вә шаири һесаб едир, онун јарадычылығына йүксәк гијмет верир.

Чәмаләддин Исфаҗанинин диванында да Зәһир Фаријабијә һәср олунмуш көзәл бир тәркибәндә тәсадүф олунур. 80 бейтдән ибарат олан 10 бәндлик бу тәркибәндин илк үч бәнддиндә шаир зәманәсindән, өзүнүн әзијәтли вә гүссәли һәјатындан, гочалыгдан шикајетләнир, сонракы бәндләри исә билаваситә Зәһирә һәср едәрәк, онун поэзија

<sup>1</sup> Ian Rypka. Iranische Literaturgeschichte. Leipzig, 1959, s. 206; M. N. Занд. Шесть веков славы. М., 1964, сәh. 103.

ذبیح الله صفا، تاریخ ادبیات در ایران، چاپ اول، تهران، ۱۳۳۶، ص ۷۵۳؛ ظهیر فاریابی، دیوان... بکوشش تقی بینش (مقدمه)، مشهد، ۱۳۳۷، ص ۸۲۰.

<sup>5</sup> Бах: И. Гуммель. Курган № 2, близ Ханлара. КСИИМК, вып. 24, 1949, сөн. 55; Б. Б. Пиотровский. Урарту—древнейшее государство Закавказья. Л., 1939, сәh. 51; Т. Н. Чубинишвили. Погребение с молотильной доской на Самтаврском могильнике. Сообщ. АН Груз. ССР, т. 12, 1951, № 1, сәh. 61.

вэ елм саһесиндэки наилүүтлэрини тэ'рифлэйир. Чәмаләддин Исфаһанин төвлөрүд тарихини мүэjjәнләшдирилмәкдэ онун Зәһирә һәсретди һәмин тәркибәндийн чох бөյүк әһәмијүттөйн вардыр. Шаир, тәркибәндийн илк бејтләрини белә башлајыр:

نالم همى و سود نېيىم ز نالهام  
فریاد من نمیرسک این اشک ڙالهام  
با آنکه نیست هیچ بفردا امید من  
باشد ذخیره محنت پنجاه سالهام<sup>3</sup>

(Налә едирэм вэ наләмдән фајда көрмүрэм, фәрҗадым бу көз јашыма ҹарә етмир.

Сабаһа һеч бир үмидимин галмамасына баҳмајараг, әлли иллик мөһәнэтим еһтијат галсын).

Бу тәркибәндийн елм аләминә мә'лум олмасына баҳмајараг индијәдәк Чәмаләддин Исфаһанинин һәјат вэ јарадычылығы илә мәшүүл олан тәдгигатчылар онун нә заман јазылмасыны мүэjjән едә билмәмишләр. Гејд етмәк лазымдыр ки, һәмин тәркибәндийн јазылма тарихини мүэjjәнләшдирилмәс илә онун мүәллифинин төвлөрүд тарихини өјрәнмәк мүмкүндүр. Белә ки, Зәһирин 582/1186-чы илдә Исфаһана кәлдији вэ ики ил орада галдыры мә'лумдур. Тәркибәндән айдын олур ки, шаир ону 582/1186-чы илдә јаэмыш олар. Шаир көстәрирки, һәмин вахтда онун 50 јашы вармыш, бу да 532 (1137—1138)-чи илә тәсадүф едир.

Беләликтә дә, Чәмаләддин Исфаһанинин Зәһир Фаријабијә һәсретди һәркибәндә әсасән, онун тәхминән һичри 532 (1137—1138)-чи илдә дөгүлдуғуну сөјләмәк олар.

*Әдәбијат институту*

Алынмышдыр 2. X 1968:

Б. Кулниев

### К вопросу о году рождения Джамаледдина Исфахани

#### РЕЗЮМЕ

Дата рождения известного персидского поэта XII в. Джамаледдина Исфахани до настоящего времени нигде не указана.

Нам известно, что его современник—замечательный поэт Захир Фаръяби (1160—1202) в 582 г. х./1186 г. приехал в город Исфахан. Приблизительно в это же время они познакомились и посвятили друг другу стихи.

Джамаледдин Исфахани в одном из таркибендов, посвятившего Захиру Фаръяби, указывает на свой пятидесятилетний возраст, по которому можно определить, что он родился 50 лет тому назад, т. е. хиджры 532/1137—1138 года.

جمال الدين عبد الرزاق اصفهانی، دیوان کامل، با تصحیح و حواشی،<sup>3</sup> حسن وحید دسته گردی، ۱۳۲۰ ش، ص ۳۴۷

#### МҮНДӘРИЧАТ

##### Ријазијат

Р. А. Бајрамов. Мүэjjән чәбри системләриң ендоморфизмләри һагында . . . . . 3

##### Техника

И. П. Гулијев, В. К. Сәркисов. Суајырычы боруун һесабланмасы мәсәләси һагында . . . . . 8

##### Физика

В. Б. Аитонов, Н. М. Кәримов, Р. Х. Наири. Йүкsek мугавимәтли ярымкечирчилиләрдә фотокечирчилијин спектрал пајланмасыны автоматик гејд едән түргү . . . . . 14

##### Механика

Н. А. Мәммәдов. Бучаг негтәләри сәрбәст вэ бәркитилмиш дүзбучаглы олмајан лөвәләрин һесабатына даир . . . . . 18

##### Физика

Н. Б. Абдуллаев, Э. З. Гулијев, К. Ш. Каҳраманов, Е. М. Тухтасиев. Дәниз нефт гургуларынын катод мұнағизәси үчүн сұалты термоелектрик кенератор . . . . . 26

##### Ұзви кимја

Р. Н. Исајиев, С. М. Элијев, Н. И. Қүсейнов, Р. И. Қүсейнов. Изопропилиттолуолун денидрокенләшдирилмәсі . . . . . 29

М. Н. Мәхәрәмов, Ч. А. Жусифов, Ш. Т. Әһмәдов. Нафталин вэ онун алкил төрәмәснин нүвәсиси јодизопропил группунун дахил едилмәсі . . . . . 34

С. И. Садыгзада, Е. М. Хәлилова, Д. Э. Ашурев. Дојмамыш битсиклик кетонларынын надиркә түршесү илә оксидләшдирилмәсі . . . . . 38

Б. Г. Зејналов, Р. М. Элијев, Р. С. Элијев. Дициленглуколун алкилтисклонексил ефириләринин синтези . . . . . 42

##### Кеофизика

В. З. Симхажев, Э. Б. Сутујев, С. С. Сәмәдов. Шимали Дағыстан жатагларында нефт, газ вэ суујиң јашым шәрәти илә қеофизики материалларын интерпретасија үсуллары . . . . . 47

##### Литолокија

Ш. Ф. Мендијев, М. З. Рачински. Абшерон нефтли-газлы вилајетинин Мәңсүлдар гатынын лај суларынын кимәви тәркибинә вэ минераллашма дәрәҗәсінен сулу сүхурларын литоложи тәркибинин тә'сирин һагында . . . . . 50

## Стратиграфия

Р. Э. Элиев. Чөнуб-шэрги Гафгазда алт вэ үст артын сэрхэддинин вээсийжэтийн наагында . . . . . 55

## Торпагшүаслыг

И. Ш. Искэндеров. Торпагларын лил фраксијасы минералларында истилик чөврилмэлэри . . . . . 58

## Невианларын физиолохијасы

Д. И. Муғалинская. Абшерон совхозлары инеклэринин сүдүндэ јарын, зүлалын вэ А витамиин мигдарынын артырылмасынын мүхүм мэсэлэлэри . . . . . 62

## Битки анатомијасы

Ш. Й. Даадашова. Азэрбајҹан флорасынын бир сыра ксерофйт битки нэвэлэринин јарлаг вэ көвдэлэриндэ ксилемашын гурулушуна даир . . . . . 67

## Кенетика вэ селексија

Р. М. Софијева. Лалэ чинсийдэн Papaver commutatum F. et M. нэвү чичэ-жиндэки ератологи дэјшикёнлик . . . . . 72

## Невианларын физиолохијасы

Р. Э. Нусејнова. Дөрдхlorлу карбонун итлэрдэ ганын липид мүбадилэсина тэ'сир . . . . . 76

## Тарих

Ш. А. Гулијев. Гарабағдан тапылан даш вэллэр . . . . . 79

## Эдэбијјат тарихи

Б. Гулијев. Чемалэддин Исфаһанинин тэвэллүд тарихинэ даир . . . . . 83

## СОДЕРЖАНИЕ

### Математика

Р. А. Байрамов. Об эндоморфизмах некоторых алгебраических систем . . . . . 3

### Техника

И. П. Кулиев, В. Г. Саркисов. К вопросу расчета водоотделяющей колонны . . . . . 8

### Физика

В. Б. Антонов, Н. М. Керимов, Р. Х. Наани. Установка для автоматической регистрации спектрального распределения фотопроводимости высокомных проводников . . . . . 14

### Механика

Н. А. Мамедов. К расчету непрямоугольных пластин со свободными и подпертыми угловыми точками . . . . . 18

### Физика

Г. Б. Абдуллаев, А. З. Кулиев, К. Ш. Каҳраманов, З. М. Тухтаринов. Подводный термоэлектрический генератор на газовом топливе для катодной защиты морских нефтяных индивидуальных оснований . . . . . 26

### Органическая химия

Р. Г. Исмайлов, С. М. Алиев, Н. И. Гусейнов, Р. И. Гусейнов. Дегидрирование изопропилэтилтолуола . . . . . 29

М. Н. Магеррамов, Ч. А. Юсифов, Ш. Т. Ахмедов. Введение иодизопропильной группы в ядро нафталина и его алкилпроизводных . . . . . 34

С. И. Садыхзаде, Э. М. Халилова, Д. А. Ашурев. Окисление непредельных бициклических кетонов надуксусной кислотой . . . . . 38

Б. К. Зейналов, Р. М. Алиев, Р. С. Алиев. Синтез алкил-циклогексиловых эфиров диэтиленгликоля . . . . . 42

### Геофизика

В. З. Симхажев, А. Б. Сутуев, С. С. Самедов. Методы интерпретации материалов геофизических исследований с условиями залегания нефти, газа и воды на месторождениях Северного Дагестана . . . . . 47

### Литология

Ш. Ф. Мехтиев, М. З. Рачинский. К оценке влияния литологии вмещающих пород на химический состав и минерализацию пластовых вод в продуктивной толще аштеронской нефтегазоносной области . . . . . 50

### Стратиграфия

Р. А. Алиев. О положении границы между нижним и верхним Аптом на Юго-Восточном Кавказе . . . . . 55

**Почвоведение**

И. Ш. Искендеров. Теплота превращения минералов илистой фракции почв	58
<b>Физиология животных</b>	
Д. И. Муганлинская. Важные вопросы повышения содержания жира, белка и витамина А в молоке коров совхозов Апшерона.	62
<b>Анатомия растений</b>	
Ш. Г. Дадашева. Структура ксилемы листа и стебля некоторых ксерофитов Азербайджана.	67
<b>Генетика и селекция</b>	
Р. М. Софиева. Тератологические изменения цветка мака спутанного. ( <i>Papaver commutatum F. et M.</i> )	72
<b>Физиология животных</b>	
Р. А. Гусейнова. Влияние четыреххлористого углерода на содержание некоторых липидов в крови у собак.	76
<b>История</b>	
Ш. А. Гулиев. Молотильные камни, найденные в Карабахе.	79
<b>История литературы</b>	
Б. Гулиев. К вопросу о году рождения Джамаледдина Исфагани.	83



Сдано в набор 30/Х 1968 г. Подписано к печати 26/II 1969 г. Формат бумаги 70×108<sup>1/4</sup>. Бум. лист. 2,75. Печ. лист. 7,54. Уч.-изд. 6,43. ФГ 15325.  
Заказ 984. Тираж 915. Цена 40 коп.

Типография «Наука» Государственного Комитета по печати Совета Министров Азербайджанской ССР. Баку, Рабочий проспект, 96.